



RELATÓRIO DA
QUALIDADE DO AR
GRANDE VITÓRIA

2014



GOVERNO DO ESTADO
DO ESPÍRITO SANTO





GOVERNO DO ESTADO
DO ESPÍRITO SANTO

RELATÓRIO DA
QUALIDADE DO AR
GRANDE VITÓRIA

2014



Cariacica
2017



**GOVERNO DO ESTADO
DO ESPÍRITO SANTO**

Paulo Cesar Hartung Gomes
Governador

SECRETARIA ESTADUAL DE MEIO AMBIENTE - SEAMA

Aladim Fernando Cerqueira
Secretário



**INSTITUTO ESTADUAL DE MEIO AMBIENTE
E RECURSOS HÍDRICOS**

Andreia Pereira Carvalho
Diretora Presidente

Décio Nora Ribeiro
Diretor Técnico

Ficha técnica

Elaboração

Coordenação de Qualidade do Ar, Áreas Contaminadas e Informações Ambientais - CQAI

Takahiko Hashimoto Junior

Engenheiro Ambiental
Coordenador

Técnicos

Douglas Rios Lougon

Engenheiro Eletricista

Iris Teixeira Bortolotti Cola

Estatística

Pedro Ronchi

Geógrafo

Vanessa Cezario Felix

Engenheira Ambiental

Raiane Gomes Santana

Estagiária em Engenharia Ambiental

Fotografia da capa

Yuri Barichivich

Apresentação

A Constituição do Estado do Espírito Santo estabelece no art. 186 que todos têm direito ao meio ambiente ecologicamente saudável e equilibrado, e que compete ao poder público garantir o monitoramento ambiental com a finalidade de acompanhar a situação real e as tendências de alteração dos recursos naturais e da qualidade ambiental. Esse tem sido o papel da Secretaria de Estado do Meio Ambiente e Recursos Hídricos (SEAMA), em conjunto com o Instituto Estadual de Meio Ambiente (IEMA) e outros entes, visando orientar as ações da sociedade para o uso sustentável dos recursos naturais e a melhoria da qualidade de vida.

A Região Metropolitana da Grande Vitória (RMGV) é uma região urbana altamente industrializada em processo de expansão, sendo a qualidade do ar afetada pela emissão de poluentes provenientes de veículos automotores e de grandes empreendimentos industriais, além do setor de logística devido à existência de um grande complexo portuário e de aeroporto na região. A qualidade do ar é diretamente influenciada pela distribuição e intensidade das emissões de poluentes atmosféricos de origem veicular e industrial, mas as condições meteorológicas e de topografia são determinantes para a dispersão desses poluentes na atmosfera.

O monitoramento dos poluentes atmosféricos, de forma sistemática, a fim de diagnosticar a qualidade do ar se faz necessária para a elaboração de estratégias em qualquer tipo de planejamento de alterações ambientais onde existe a possibilidade de ocorrência de impacto ao meio ambiente e, com o intuito de garantir a qualidade de vida das populações.

Em 2000, a SEAMA exigiu, por meio do licenciamento da VALE (antiga CVRD) e da ArcelorMittal Tubarão (antiga CST), a implantação de uma Rede de Monitoramento da Qualidade do Ar totalmente automatizada, capaz de informar continuamente 24 horas por dia, os níveis de Poluição Atmosférica da Região Metropolitana da Grande Vitória. Atualmente, a Rede Automática de Monitoramento Automático da Qualidade do Ar (RAMQAr) é de propriedade de IEMA e tem como objetivo medir a exposição da população aos principais poluentes atmosféricos. Em 2009, o IEMA adotou como método de medição para a Rede Manual de monitoramento de Partículas Sedimentadas (RMPS) a norma Americana ASTM D1739-98, tornando-se o método utilizado desde então.

Apesar do número e a distribuição das estações de monitoramento em operação não cobrir todo o território da Região Metropolitana da Grande Vitória (RMGV), as estações instaladas foram posicionadas em localizações consideradas estratégicas para o direcionamento de políticas de gestão e de controle considerando fatores como densidade populacional, frota veicular e atividades industriais.

O IEMA divulga diariamente os índices de qualidade do ar na RMGV na sua página eletrônica, porém a divulgação do relatório anual é uma oportunidade para caracterizar o estado da qualidade do ar na RMGV, além de analisar a sua evolução e causas, identificar e discutir necessidades estratégicas de controle de responsabilidade do governo, do setor industrial e da sociedade espírito-santense.

Em 2013 o Decreto Estadual 3463-R estabeleceu metas e novos padrões de qualidade do ar que permitem, de forma estratégica, avançar no controle da qualidade do ar por meio do cumprimento das metas que resultarão no alcance dos padrões finais que foram baseados, para a maioria dos poluentes, nas diretrizes da Organização Mundial de Saúde (OMS). Além disso, foram incluídos valores referenciais para partículas sedimentadas (Poeira Sedimentada - PS) e Partículas Finas (PM_{2,5}). Esse mesmo decreto estabeleceu, que a SEAMA em conjunto com o IEMA, elaboraria o Plano Estratégico de Qualidade do Ar - PEQAR com o objetivo de definir instrumentos, diretrizes e ações visando o atendimento dos padrões de qualidade do ar. O PEQAR elaborado foi aprovado pelo CONSEMA em 22 de Março de 2016.

O Decreto representa um avanço em relação à legislação nacional vigente e um passo significativo na melhoria da qualidade de vida da população capixaba.

Desse modo, o presente relatório apresenta o diagnóstico da qualidade do ar na RMGV para o ano de **2014**, garantindo a divulgação das informações sobre a qualidade ambiental relativa à exposição da população à poluição atmosférica na Região Metropolitana.

Aladim Fernando Cerqueira

Secretário Estadual de Meio Ambiente

SEAMA

Andreia Pereira Carvalho

Diretora Presidente

IEMA

LISTA DE TABELAS

Tabela 2.1 - Densidade demográfica – RMGV.....	14
Tabela 3.1 - Fontes, características e efeitos dos principais poluentes atmosféricos	20
Tabela 3.2 - Padrões nacionais e estaduais de qualidade do ar e diretrizes da OMS	24
Tabela 3.3 - Concentração dos poluentes ($\mu\text{g}/\text{m}^3$) para determinação dos níveis de atenção, alerta e emergência	26
Tabela 3.4 - Descrição das classes, índices e valores limites de concentração (em $\mu\text{g}/\text{m}^3$) para determinação do IQA.....	28
Tabela 4.1 - Dados de localização das estações da RAMQAr	29
Tabela 4.2 - Parâmetros monitorados pelas estações da RAMQAr	31
Tabela 4.3 - Descrição da área de influência das estações da RAMQAr	34
Tabela 4.4 - Dados das estações de monitoramento de partículas sedimentadas	36
Tabela 4.5 - Descrição dos critérios de representatividade dos parâmetros monitorados utilizados neste relatório.....	39
Tabela 6.1 - Valores das máximas médias de 24h e da média anual de concentração de $\text{PM}_{2,5}$ em $\mu\text{g}/\text{m}^3$	66
Tabela 6.2 - Número de médias móveis de 24 horas que ultrapassaram dos valores limites de concentração de $\text{PM}_{2,5}$	68
Tabela 6.3 - Valores das máximas médias de 24h e da média anual de concentração de PM_{10} ($\mu\text{g}/\text{m}^3$).....	70
Tabela 6.4 - Número de médias móveis de 24 horas que ultrapassaram os valores limites de concentração de PM_{10}	72
Tabela 6.5 - Valores das máximas médias de 24h e da média anual de concentração de PTS em $\mu\text{g}/\text{m}^3$	76
Tabela 6.6 - Número de médias móveis de 24 horas que ultrapassaram os valores limites de concentração de PTS.....	78
Tabela 6.7 - Valores das máximas diárias e da média anual de concentração de SO_2 em $\mu\text{g}/\text{m}^3$	92
Tabela 6.8 - Número de médias móveis de 24 horas que ultrapassaram os valores limites de concentração de SO_2	93
Tabela 6.9 - Valores das máximas horárias e da média anual de concentração de NO e NO_2 em $\mu\text{g}/\text{m}^3$	96
Tabela 6.10 - Valores das máximas horárias e média de 8h de concentração de O_3 em $\mu\text{g}/\text{m}^3$	101
Tabela 6.11 - Valores das máximas horárias e de 8h de concentração de CO em $\mu\text{g}/\text{m}^3$	105
Tabela 6.12 - Valores das máximas diárias e da média anual de concentração de HCNM (ppm)	109

LISTA DE GRÁFICOS

Gráfico 2.1 - Normais climatológicas da estação Vitória (INMET, 2014)	17
Gráfico 5.1 - Precipitação acumulada mensal na estação RAMQAr 2 – Carapina	42
Gráfico 5.2 - Temperatura média mensal, máxima e mínima nas estações da RAMQAr	44

Gráfico 5.3 - Temperatura média horária por estações do ano nas estações da RAMQAr	45
Gráfico 5.4 - Pressão atmosférica média mensal, máxima e mínima na estação RAMQAr 2 – Carapina.....	46
Gráfico 5.5 - Radiação solar média horária nos período de solstício e equinócio do ano na estação RAMQAr 2 – Carapina.....	47
Gráfico 5.6 - Radiação solar média mensal e máxima na estação RAMQAr 2 – Carapina.....	47
Gráfico 5.7 - Umidade relativa média horária nos períodos de solstício e equinócio nas estações da RAMQAr.....	49
Gráfico 5.8 - Umidade relativa média mensal, máxima e mínima nas estações RAMQAr	50
Gráfico 5.9 - Distribuição de frequência de ocorrência das classes de vento nas estações avaliadas da RMGV	53
Gráfico 5.10 - Rosa dos ventos anual da RMGV	55
Gráfico 5.11 - Rosa dos ventos para o mês de janeiro na RMGV	57
Gráfico 5.12 - Rosa dos ventos para o mês de fevereiro na RMGV	57
Gráfico 5.13 - Rosa dos ventos para o mês de março na RMGV	58
Gráfico 5.14 - Rosa dos ventos para o mês de abril na RMGV	59
Gráfico 5.15 - Rosa dos ventos para o mês de maio na RMGV	59
Gráfico 5.16 - Rosa dos ventos para o mês de junho na RMGV	60
Gráfico 5.17 - Rosa dos ventos para o mês de julho na RMGV.....	61
Gráfico 5.18 - Rosa dos ventos para o mês de agosto na RMGV	61
Gráfico 5.19 - Rosa dos ventos para o mês de setembro na RMGV	62
Gráfico 5.20 - Rosa dos ventos para o mês de outubro na RMGV.....	63
Gráfico 5.21 - Rosa dos ventos para o mês de novembro na RMGV	63
Gráfico 5.22 - Rosa dos ventos para o mês de dezembro na RMGV	64
Gráfico 5.23 - Número de horas desfavoráveis à dispersão de poluentes – estação Aeroporto ...	65
Gráfico 6.1 - Concentração máxima média de 24h de PM _{2,5} nas estações da RAMQAr	67
Gráfico 6.2 - Concentração média anual de PM _{2,5} nas estações da RAMQAr	67
Gráfico 6.3 - Perfil de concentração de PM _{2,5} nas estações da RAMQAr com relação à direção do vento (gráfico rosa de poluentes).....	69
Gráfico 6.4 - Concentração máxima média de 24h de PM ₁₀ nas estações da RAMQAr	70
Gráfico 6.5 - Concentração média anual de PM ₁₀ nas estações da RAMQAr	71
Gráfico 6.6 - Índice de qualidade do ar com referencia ao poluente PM ₁₀ nas estações da RAMQAr	73
Gráfico 6.7 - Perfil de concentração média de PM ₁₀ nas estações da RAMQAr com relação à direção do vento (gráfico da rosa de poluentes)	74
Gráfico 6.8 - Séries temporais das concentrações médias anuais de PM ₁₀ nas estações da RAMQAr	75
Gráfico 6.9 - Concentração máxima média de 24h de PTS nas estações da RAMQAr	76
Gráfico 6.10 - Concentração média anual de PTS nas estações da RAMQAr.....	77
Gráfico 6.11 - Índice de qualidade do ar com base no poluente PTS nas estações da RAMQAr ..	79
Gráfico 6.12 - Perfil de concentração média horária de PTS nas estações da RAMQAr com relação à direção do vento (gráfico de rosa de poluentes).....	80
Gráfico 6.13 - Séries temporais das concentrações médias anuais de PTS nas estações da RAMQAr	81
Gráfico 6.14 - Taxa de deposição de partículas (g/m ² /30 dias) nas estações de monitoramento de OS	85
Gráfico 6.15 - Série temporal da taxa de deposição de partículas para o período abril de 2009 a dezembro 2014 para as estações da RMPS.....	90
Gráfico 6.16 - Concentração diária máxima de SO ₂ nas estações da RAMQAr	92
Gráfico 6.17 - Concentração média anual de SO ₂ nas estações da RAMQAr.....	92

Gráfico 6.18 - Índice de qualidade do ar com referência ao poluente SO ₂ nas estações da RAMQAr	94
Gráfico 6.19 - Perfil de concentração média horária de SO ₂ nas estações da RAMQAr com relação à direção do vento (gráfico da rosa de poluentes).....	95
Gráfico 6.20 - Séries temporais das concentrações médias anuais de SO ₂ nas estações da RAMQAr	96
Gráfico 6.21 - Concentrações horária máximas de NO ₂ nas estações da RAMQAr	97
Gráfico 6.22 - Concentrações médias anuais de NO ₂ nas estações da RAMQAr.....	97
Gráfico 6.23 - Índice de qualidade do ar referente ao poluente NO ₂ nas estações da RAMQAr .	98
Gráfico 6.24 - Perfil de concentração média horária de NO ₂ nas estações da RAMQAr com relação à direção do vento (gráfico de rosa de poluentes).....	99
Gráfico 6.25 - Séries temporais das concentrações médias anuais de NO ₂ nas estações da RAMQAr	100
Gráfico 6.26 - Concentração média 8h máxima de O ₃ nas estações da RAMQAr	101
Gráfico 6.27 - Concentração horária máxima de O ₃ nas estações da RAMQAr	101
Gráfico 6.28 - Índice de qualidade do ar com referência ao poluente O ₃ nas estações da RAMQAr	102
Gráfico 6.29 - Perfil de concentração média horária de O ₃ nas estações da RAMQAr com relação à direção do vento (gráfico de rosa de poluentes).....	103
Gráfico 6.30 - Evolução horária dos poluentes NO, NO ₂ e O ₃ na estação Vila Capixaba	104
Gráfico 6.31 - Séries temporais das concentrações médias anuais do O ₃ nas estações da RAMQAr	104
Gráfico 6.32 - Concentração média de 8h máxima de CO nas estações da RAMQAr	106
Gráfico 6.33 - Concentração horária máxima de CO nas estações da RAMQAr.....	106
Gráfico 6.34 - Índice de qualidade do ar com referência ao poluente CO nas estações da RAMQAr	107
Gráfico 6.35 - Perfil de concentração média horária de CO nas estações da RAMQAr com relação à direção do vento (gráfico da rosa de poluentes).....	108
Gráfico 6.36 - Séries temporais das concentrações médias anuais de CO nas estações da RAMQAr	119
Gráfico 6.37 - Concentração diária máxima de HCNM nas estações da RAMQAr.....	110
Gráfico 6.38 - Séries temporais das concentrações médias anuais de HCNM nas estações da RAMQAr	110

LISTA DE FIGURAS

Figura 4.1 - Coletor de partículas sedimentadas de acordo com a norma ASTM D1739.....	37
----------------------------------------------------------------------------------------------	----

LISTA DE MAPAS

Mapa 2.1 - Localização da Região Metropolitana da Grande Vitória	13
Mapa 4.1 - Distribuição das estações da RAMQAr no Espírito Santo.....	30
Mapa 4.2 - Distribuição das estações da RAMQAr na RMGV	30
Mapa 4.3 - Distribuição espacial dos pontos de coleta de PS no Espírito Santo	35
Mapa 4.4 - Distribuição espacial dos pontos de coleta de PS na RMGV	35

Sumário

Apresentação	4
Listas	6
Sumário	9
1. Introdução	10
2. Caracterização da RMGV	13
2.1 Aspectos sócios demográficos	14
2.2 Aspectos socioeconômicos	15
2.3 Clima Local	16
3. Poluição Atmosférica	19
3.1 Poluentes Atmosféricos	19
3.2 Regulamentação Sobre Qualidade do Ar	21
3.3 Padrões da Qualidade do Ar	23
3.4 Índice de Qualidade do Ar	26
4. Monitoramento na RMGV	29
4.1 Rede Automática de Qualidade do Ar (RAMQAr)	29
4.1.1 Monitor de Particulado	32
4.1.2 Monitor de Dióxido de Enxofre (SO ₂)	32
4.1.3 Monitor de Óxidos de Nitrogênio (NOX, NO, NO ₂)	32
4.1.4 Monitor de Monóxido de Carbono (CO)	33
4.1.5 Monitor de Ozônio (O ₃)	33
4.2 Rede Manual de Monitoramento de Partículas Sedimentadas	34
4.3 Métodos de Tratamento de dados	38
4.3.1 Representatividade dos dados	39
5. Condições Meteorológicas na RMGV	41
5.1 Precipitação	42
5.2 Temperatura	43
5.3 Pressão Atmosférica	46
5.4 Radiação Solar	46
5.5 Umidade	48
5.6 Vento	51
5.6.1 Rosa dos Ventos	54
6. Qualidade do Ar na RMGV	66
6.1 Material Particulado (MP)	66
6.1.1 Partículas Respiráveis (PM _{2,5})	66
6.1.2 Partículas Inaláveis (PM ₁₀)	69
6.1.3 Partículas Totais em Suspensão (PTS)	75
6.1.4 Partículas Sedimentadas (PS)	81
6.2 Dióxido de Enxofre (SO ₂)	91
6.3 Dióxido de Nitrogênio (NO ₂)	96
6.4 Ozônio (O ₃)	100
6.5 Monóxido de carbono (CO)	105
6.6 Hidrocarbonetos não metano (HCNM)	109
7. Considerações Finais	111
8. Referências	114

1. Introdução

A Organização Mundial de Saúde (OMS) divulgou em 27 de setembro de 2016 um novo modelo de qualidade do ar o qual confirma que 92% da população mundial vive em locais onde os níveis de qualidade do ar excedem os limites estabelecidos pela OMS. De acordo com Flavia Bustreo, Diretora-Geral Assistente da OMS, o novo modelo mostra aos países onde estão os locais de perigo em relação à poluição do ar e fornece uma linha de base para monitorar progressos no combate ao problema. O modelo é baseado em dados provenientes de medições por satélite, modelos de transporte aéreo e estações terrestres de monitoramento para mais de 3 mil localidades rurais e urbanas. Ainda de acordo com a OMS, cerca de três milhões de mortes por ano estão relacionadas à exposição à poluição do ar em ambientes externos (*outdoor*) sendo que a poluição do ar continua a cobrar um alto preço sobre a saúde da maioria das populações vulneráveis – mulheres, crianças e adultos mais velhos.

O nível de poluição atmosférica é medido pela quantidade de substâncias poluentes presentes no ar. A variedade das substâncias que podem ser encontradas na atmosfera é muito grande, o que torna difícil a tarefa de estabelecer uma classificação. A medição sistemática da qualidade do ar é restrita a um número de poluentes, definidos em função de sua importância e dos recursos disponíveis para seu acompanhamento.

Segundo definição na Resolução CONAMA nº 03 de 28/06/1990, poluente atmosférico é toda e qualquer forma de matéria ou energia com intensidade e em quantidade, concentração, tempo ou características em desacordo com os níveis estabelecidos em legislação, e que tornem ou possam tornar o ar impróprio, nocivo ou ofensivo à saúde, inconveniente ao bem-estar público, danoso aos materiais, à fauna e à flora ou prejudicial à segurança, ao uso e gozo da propriedade e às atividades normais da comunidade.

Desta forma, o monitoramento dos poluentes atmosféricos, de forma sistemática, a fim de diagnosticar a qualidade do ar se faz necessária para a elaboração de estratégias em qualquer tipo de planejamento de alterações ambientais onde existe a possibilidade de ocorrência de impacto ao meio ambiente e, com o intuito de garantir a qualidade de vida das populações.

A Região Metropolitana da Grande Vitória (RMGV) é uma região urbana altamente industrializada em processo de expansão, sendo a qualidade do ar afetada pela emissão de poluentes provenientes de veículos automotores e de grandes empreendimentos industriais, além do setor de logística devido à existência de um grande complexo portuário e de aeroporto na região. A qualidade do ar é diretamente influenciada pela distribuição e intensidade das emissões de poluentes atmosféricos de origem veicular e industrial, mas as condições meteorológicas e de topografia são determinantes para a distribuição espacial e temporal dos contaminantes na região.

O clima e as condições meteorológicas de uma região são fortemente condicionados pela localização geográfica (latitude) e relevo que, em ação conjunta com os grandes sistemas atmosféricos, controlam a distribuição pluviométrica, evaporação, temperatura, umidade do ar e regime de ventos da região (VIANELLO e ALVES, 1991). A RMGV está localizada entre os paralelos de 10° e 23°26'S, ou seja, na zona tropical, sofrendo influência tanto de sistemas tropicais como de latitudes médias, com estação seca bem definida no inverno e estação chuvosa de verão com chuvas convectivas. Essa região possui uma característica climática diversificada devido a sua topografia, sua posição geográfica e aspectos dinâmicos da atmosfera que incluem os sistemas meteorológicos de micro, meso e macro escalas e que atuam direta ou indiretamente no regime pluvial (MINUZZI *et al.*, 2007).

O monitoramento da qualidade do ar e das condições meteorológicas na RMGV é efetuado pela rede automática de monitoramento da qualidade do ar (RAMQAr) e pela rede manual de monitoramento de partículas sedimentadas. As estações da RAMQAr e da rede manual de monitoramento de partículas sedimentadas estão localizadas em quatro dentre os sete municípios da RMGV.

A RAMQAr é composta por 9 estações de monitoramento da qualidade do ar localizadas nos bairros Jardim Camburi, Enseada do Suá e Centro (Vitória), Vila Capixaba (Cariacica), Ibes e Centro (Vila Velha), Laranjeiras, Carapina e Cidade Continental (Serra). Essa rede monitora os poluentes regulamentados no Decreto Estadual nº 3463-R: partículas totais em suspensão (PTS), partículas com diâmetro menores que 10 µm e 2,5 µm (PM₁₀ e PM_{2,5}) dióxido de enxofre (SO₂), óxidos de nitrogênio (NO_x), monóxido de carbono (CO), ozônio (O₃) incluindo poluentes não regulamentados pelo decreto hidrocarbonetos totais e não-metanos (HCT e HCNM). É importante salientar que o monitoramento de PM_{2,5} iniciou-se em 2014, no mês de junho na estação Enseada do Suá e, em julho na estação Ibes. Além dos dados de qualidade do ar são monitorados parâmetros meteorológicos, como direção e

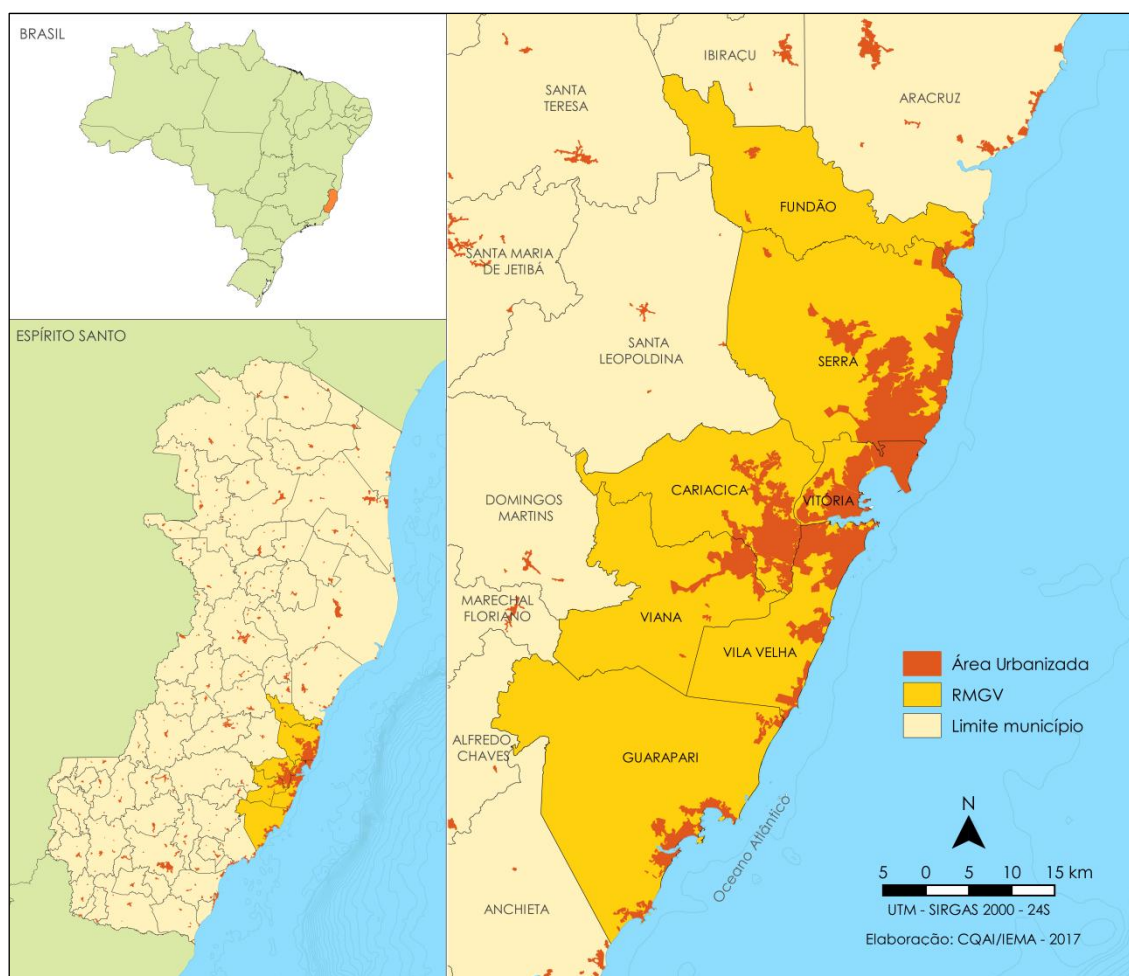
velocidade do vento, temperatura, umidade relativa, radiação solar, pressão atmosférica e precipitação.

Este documento faz parte da série de relatórios sobre a qualidade do ar na RMGV. O objetivo deste relatório é apresentar o diagnóstico da qualidade do ar na RMGV para o ano de 2014, incluindo as principais tendências da poluição do ar e meteorologia na região.

Este relatório foi baseado no relatório de Qualidade do Ar para o ano de 2013 deste Instituto Estadual de Meio Ambiente e Recursos Hídricos – IEMA, elaborado pela Universidade Federal do Espírito Santo (IEMA, 2013), tendo inclusive sido transcritos partes dos capítulos 02, 05, 06 e 08 deste documento.

2. Caracterização da RMGV

A Região Metropolitana da Grande Vitória (RMGV) foi constituída pela Lei Complementar nº 58 de 21/02/1995, sendo composta pelos municípios de Cariacica, Fundão, Guarapari, Serra, Viana, Vila Velha e Vitória. Possui território de 2.316,49 km² e área urbana de 672,57 km² (IJSN, 2011). Localiza-se na parte mais ao sul do Estado, sendo a Leste banhado pelo Oceano Atlântico (Mapa 2.1).



Mapa 2.1 - Localização da Região Metropolitana da Grande Vitória.

O relevo da RMGV é caracterizado por maciços rochosos, localizados nas porções oeste e sudoeste, correspondendo aos municípios de Cariacica, Guarapari e Viana, além de baixadas e planícies que se distribuem irregularmente por toda zona costeira da RMGV. O uso e ocupação do solo são diversificados, sendo grandes extensões constituídas por pastagens, além de fragmentos de mata atlântica, restingas, várzeas, manguezais e áreas urbanizadas que corresponde a 13% da área total da Região Metropolitana, mas que representa 55% da área urbanizada do Estado (IJSN, 2011).

2.1. Aspectos sócios demográficos

A RMGV é composta por uma população de 1.687.704 habitantes que representa 48% da população total do estado do Espírito Santo, sendo que 98,4% dessa população vivem em área urbana. A população de Vila Velha representa 24,57% da população da Região Metropolitana, seguido por Serra 24,25%, Cariacica 20,66% e Vitória 19,42%. Guarapari, Viana e Fundão representam 11,10% da população metropolitana (Tabela 2.1). A RMGV apresenta densidade demográfica de 669,49 hab/km², sendo que o município de Vitória possui a menor área territorial, 96,536 km² e conseqüentemente maior densidade demográfica 3.338,30 hab/km² (IBGE/Censo, 2010).

Tabela 2.1 - Densidade demográfica – RMGV.

Local	População			Área (km ²)	Densidade Demográfica (hab/km ²)
	Total	(%) RMGV	(%) ES		
Vila Velha	414.586	24,57%	11,79%	209,965	1.973,59
Serra	409.267	24,25%	11,64%	741,850	547,64
Cariacica	348.738	20,66%	9,92%	279,718	1.246,12
Vitória	327.801	19,42%	9,33%	96,536	3.338,30
Guarapari	105.286	6,24%	3,00%	591,815	177,10
Viana	65.001	3,85%	1,85%	312,279	207,84
Fundão	17.025	1,01%	0,48%	288,724	58,97
RMGV	1.687.704	100,00%	48,01%	2.520,89	669,49
Espírito Santo	3.514.952	-	-	46.086,907	76,25

Fonte: IBGE (Censo, 2010).

A Região Metropolitana conta com aproximadamente 65,8% de cobertura de esgoto, sendo que Vitória tem o maior índice de cobertura 89% e Cariacica o menor 45% (CESAN, 2016)¹. Cerca de 90% da população reside em áreas onde o lixo urbano é coletado regularmente. A escolaridade média das pessoas de 25 anos ou mais de estudo da população da RMGV é de cerca de 7,4 anos sendo 24,4% dessa população identificada como analfabeta ou analfabeto funcional.

¹Fonte: <[https://www.cesan.com.br/noticias/cesan-debate-sobre-meio-ambiente-em-comissao-na-assembly/](https://www.cesan.com.br/noticias/cesan-debate-sobre-meio-ambiente-em-comissao-na-assembly)>.

2.2. Aspectos socioeconômicos

O Produto Interno Bruto (PIB) do Espírito Santo alcançou R\$ 117,04 bilhões em 2013, que representou uma participação na economia nacional de 2,2% (IJSN, 2015). O PIB *per capita* do Espírito Santo foi de R\$ 30.485,96, ocupando a quinta posição entre os entes federados. O setor terciário ganhou participação na geração de riqueza do Estado em detrimento do setor secundário, passando de 54,0% para 56,2%. As atividades primárias mantiveram-se estáveis em 3,3% no período em comparação a 2012. O aumento da participação do setor secundário pode ser atribuído à Indústria Extrativa que passou a responder por 24,2% do Valor Adicionado Bruto (VAB) estadual. O setor produtivo dominante entre os municípios do Estado é o terciário 56,2%, seguido pelo secundário 40,5% e primário 3,3%. Os cinco maiores PIB municipais (Vitória, Serra, Vila Velha, Presidente Kennedy e Cariacica) concentraram em torno de 53,51% da economia estadual, quatro deles localizados na RMGV. Os municípios da RMGV representam 49,9% de participação no PIB estadual. Apesar de sua representatividade econômica, a RMGV apresenta acentuado quadro de desigualdades sociais, que se manifestam a partir de sua distribuição territorial, com áreas de alto nível de concentração de renda e de infraestrutura adequada enquanto há outras com condições urbanas precárias.

O Índice de Desenvolvimento Humano Municipal (IDHM) da RMGV em 2010 foi de 0,772², próximo ao índice de 0,800 considerado pelo Programa das Nações Unidas para o Desenvolvimento (PNUD) como sendo de alto desenvolvimento humano. O IDH estadual foi 0,740 e do Brasil 0,699. Na RMGV os melhores índices são de Vitória 0,845 e Vila Velha 0,800. Na outra extremidade estão os municípios de Cariacica 0,718, Fundão 0,718 e Viana 0,686.

As disparidades em desenvolvimento humano entre os municípios da RMGV são reflexo existente entre os índices das Unidades de Desenvolvimento Humano (UDH's). A diferença entre as maiores faixas de desenvolvimento humano 0,961 (Mata da Praia, Barro Vermelho e Santa Luíza), todos na capital Vitória, as menores faixas 0,609 (São Gabriel, Santa Rita, Boa Vista, Camurugi) que estão nos municípios de Cariacica, Guarapari, Serra e Vila Velha. Em 2010, o município de Vitória ocupava o 4º lugar entre os municípios brasileiros e o 2º lugar entre as capitais, e Viana estava em 2.282º posição.

² Atlas de desenvolvimento humano nas regiões metropolitanas brasileiras. Fundão João Pinheiro.

2.3. Clima Local

O clima e as condições meteorológicas de uma região são fortemente condicionados pela localização geográfica (latitude) e relevo que, em ação conjunta com os grandes sistemas atmosféricos, controlam a distribuição pluviométrica, evaporação, temperatura, umidade do ar e regime de ventos da região (VIANELLO e ALVES, 1991).

A RMGV está localizada entre os paralelos de 10° e 23°26'S, ou seja, na zona tropical, sofrendo influência tanto de sistemas tropicais como de latitudes médias, com estação seca bem definida no inverno e estação chuvosa de verão com chuvas convectivas. Essa região possui uma característica climática diversificada devido a sua topografia, sua posição geográfica e aspectos dinâmicos da atmosfera que incluem os sistemas meteorológicos de micro, meso e macro escalas e que atuam direta ou indiretamente no regime pluvial (MINUZZI *et al.*, 2007).

De acordo com a classificação climática de Köppen, o Espírito Santo possui duas tipologias climáticas que variam também de acordo com o relevo local. Na baixada litorânea do Espírito Santo predomina o clima tropical quente com estação seca no inverno (Aw) e na região serrana o clima é tropical de altitude (Cwb). A classificação dos tipos climáticos de Köppen considera a sazonalidade e os valores médios anuais e mensais de temperatura do ar e de precipitação.

Por estar situada na região litorânea, a RMGV apresenta clima tropical quente (Aw), possuindo inverno ameno e seco, e verão chuvoso e quente. O período quente se estende aproximadamente de outubro a abril, com maior intensidade em dezembro e janeiro. No inverno, a temperatura média mensal mais baixa ocorre em julho, sendo a sensação de frio verificada esporadicamente quando há ocorrência de frentes frias.

O Gráfico 2.1 apresenta as normais climatológicas (1961 a 1990) das variáveis meteorológicas, precipitação acumulada, temperatura média, temperatura máxima e temperatura mínima, monitoradas pela estação climatológica Vitória (Código 83648 – Lat 20°19'S/ Lon 40°19'W) do Instituto Nacional de Meteorologia (INMET) - (INMET, 2014), portanto os valores apresentados representam a média histórica de cada variável para a região.

Vale ressaltar que a Organização Meteorológica Mundial (OMM) define o termo normal climatológica como valores médios calculados para um período relativamente longo e uniforme, compreendendo no mínimo três décadas consecutivas (WMO, 1984).

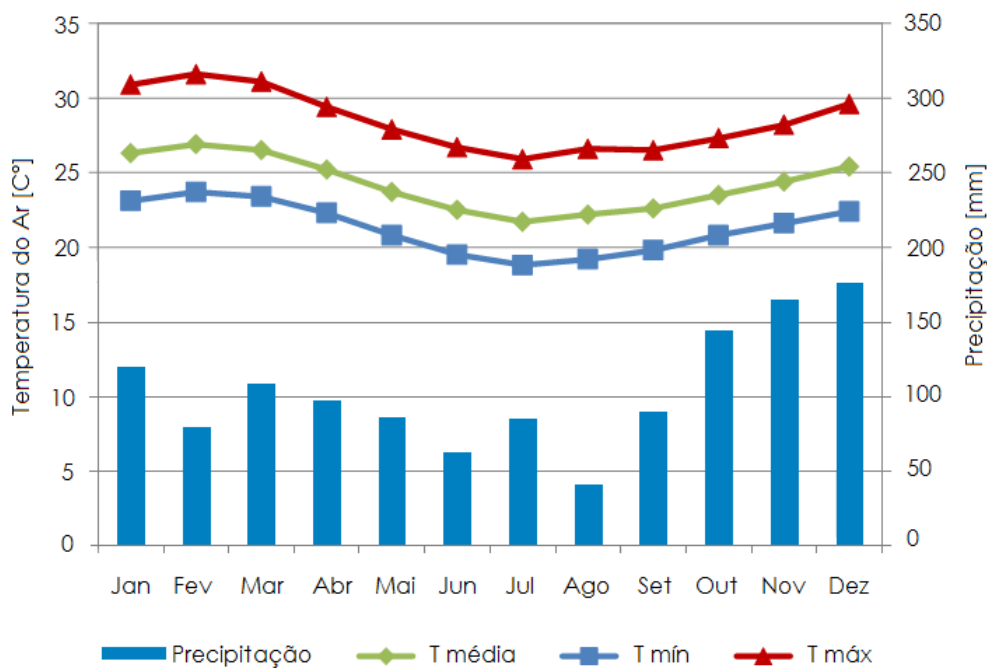


Gráfico 2.1 - Normais climatológicas da estação Vitória (INMET, 2014).

Observa-se que, historicamente, a temperatura média na cidade de Vitória não varia consideravelmente ao longo do ano, sendo a temperatura média anual igual a 24,2°C, com leve queda nos meses do inverno e suave aumento durante o verão. Avaliando os valores extremos da temperatura do ar, observa-se que o mês de julho é, climatologicamente, o mês mais frio (18,8°C) e o mês de fevereiro é o mês, historicamente, mais quente com média das temperaturas máximas igual a 31,6°C.

Em relação à precipitação, nota-se que o inverno é o período mais seco, sendo que no mês de agosto ocorre a menor incidência de precipitação (40,3 mm). Essa característica climatológica da região durante o inverno ocorre devido a influência dos sistemas de alta pressão subtropical, localizados climatologicamente em torno da latitude de 30°C nos principais oceanos do planeta. No Atlântico Sul, a Alta Subtropical do Atlântico Sul (ASAS) é de grande importância para o clima da América do Sul e afeta o clima do Brasil tanto no inverno quanto no verão. Durante o período de inverno, a ASAS inibe à entrada de frentes e favorece a formação de inversão térmica, concentrando os poluentes nas camadas mais próximas à superfície dos principais centros urbanos das regiões sul e sudeste. A dinâmica desse sistema também favorece a formação de nevoeiros e geadas nas regiões sul e sudeste. O total anual climatológico de precipitação é de 1.252,3 mm em Vitória.

A partir do mês de outubro, inicia-se o período chuvoso na região, o qual se estende até meados de abril. Nessa época do ano, a atuação dos sistemas frontais e de zonas de convergência de umidade favorece o aumento de precipitação, ocasionando

enchentes, e causando danos e perdas para a população que vive nessas áreas. O mês de dezembro é o que possui maior ocorrência de eventos de chuva, com média de precipitação acumulada mensal de 175,8 mm. Esse comportamento médio da precipitação durante o final da primavera e verão ocorre porque o sistema de alta pressão encontra-se mais ao sul e deslocado zonalmente mais para leste (sobre a região central do oceano Atlântico). Nessa época do ano, uma banda de nebulosidade orientada no sentido noroeste-sudeste desenvolve-se periodicamente sobre o sudeste do Brasil, coincidindo com a estação chuvosa da região. A permanência dessa banda convectiva por vários dias caracteriza a Zona de Convergência do Atlântico Sul (ZCAS). A ZCAS e os sistemas frontais que se deslocam sobre a região sudeste e em seguida sobre o oceano atingem a porção oeste da alta subtropical e, como resultado, esse sistema de alta pressão é frequentemente dividido, ficando em média, enfraquecido quando comparado à situação do inverno (CAVALCANTI *et al.*, 2009).

Ao longo do litoral dos estados da região sudeste os ventos são predominantemente de NE favorecendo o transporte de umidade do oceano Atlântico Equatorial para o ramo oceânico da ZCAS. As características do regime de vento na RMGV são influenciadas também por circulações de vento locais bastante distintos, como as brisas marinhas e terrestres (devido à proximidade com o oceano) e brisas de vale e montanha (devido à topografia acidentada), configurando variações significativas na meso e microescala, enquanto os principais fenômenos meteorológicos em escala sinótica que influenciam a variabilidade do tempo na RMGV são: Zona de Convergência do Atlântico Sul (ZCAS), Sistemas Frontais (SF) e o Anticiclone Subtropical do Atlântico Sul (ASAS) (SANT'ANNA NETO, 2005; VAREJÃO-SILVA, 2006; MENDONÇA e DANNI-OLIVEIRA, 2007).

3. Poluição Atmosférica

A Resolução Conama nº 03 de 28/06/1990 define como poluente atmosférico qualquer forma de matéria ou energia que tornem o ar impróprio, nocivo ou ofensivo à saúde; inconveniente ao bem-estar público; danoso aos materiais, à fauna e flora e prejudicial à segurança, ao uso e gozo da propriedade e às atividades normais da comunidade. Essa definição é bastante ampla, pois considera não somente os efeitos deletérios sobre a saúde, fauna, flora e bens materiais, mas também o conceito mais subjetivo de bem-estar público. Assim, são importantes para o estudo da qualidade do ar as substâncias que geram dano à saúde, fauna e flora e as substâncias que estão relacionadas ao incômodo da população, tais como compostos odorantes, por exemplo.

Este capítulo tem o objetivo de fornecer as informações básicas sobre os parâmetros de controle ligados à qualidade do ar, descrevendo principais poluentes atmosféricos e a legislação sobre a poluição do ar.

3.1 Poluentes Atmosféricos

Esta seção apresenta descrição dos principais poluentes atmosféricos, suas fontes e efeitos (Tabela 3.1).

Tabela 3.1 - Fontes, características e efeitos dos principais poluentes atmosféricos.

Poluente	Características	Fontes principais	Efeitos gerais sobre a saúde	Efeitos gerais ao meio ambiente
Monóxido de Carbono (CO)	Gás incolor, inodoro e insípido	Combustão incompleta de combustíveis fósseis (veículos automotores principalmente) e outros materiais que contenham carbono na sua composição	Combina-se rapidamente com a hemoglobina ocupando o lugar do oxigênio, podendo levar a morte por asfixia. A exposição crônica pode causar prejuízos ao sistema nervoso central, cardiovascular, pulmonar e outros. Também pode afetar fetos causando peso reduzido no nascimento e desenvolvimento pós-natal retardado	-
Dióxido de Enxofre (SO ₂)	Gás incolor com forte odor (semelhante ao produzido na queima de palitos de fósforo)	Processos que utilizam queima de óleo combustível, refinaria de petróleo, veículos a diesel, polpa e papel	A inalação, mesmo em concentrações muito baixas, provoca espasmos passageiros dos músculos lisos dos brônquios pulmonares. Em concentrações progressivamente maiores, causam o aumento da secreção mucosa nas vias respiratórias superiores, inflamações graves da mucosa e redução do movimento ciliar do trato respiratório. Pode, ainda, aumentar a incidência de rinite, faringite e bronquite	Em certas condições, o SO ₂ pode transformar-se em trióxido de enxofre (SO ₃) e, com a umidade atmosférica, transformar-se em ácido sulfúrico, sendo assim um dos componentes da chuva ácida
Hidrocarbonetos (HC)	Gases e vapores com odor desagradável (similar à gasolina ou diesel)	Combustão incompleta e evaporação de combustíveis e outros produtos voláteis	Causa irritação aos olhos, nariz, pele e trato respiratório superior. Além disso, vários hidrocarbonetos são considerados carcinogênicos e mutagênicos	Participam da formação de oxidantes fotoquímicos na atmosfera, juntamente com os óxidos de nitrogênio (NO _x)
Óxidos de Nitrogênio (NO _x)	Gases	Combustões em veículos automotores, indústrias, usinas térmicas que utilizam óleo ou gás e incineradores	O NO ₂ é altamente tóxico ao homem, pois aumenta sua susceptibilidade aos problemas respiratórios em geral. Além disso, é irritante às mucosas e pode nos pulmões ser transformado em nitrosaminas (algumas das quais são carcinogênicas)	Pode levar a formação da chuva ácida e consequentemente danos à vegetação e agricultura. Além disso, contribui para formação do ozônio na troposfera; para o aquecimento global; formação de compostos quimiotóxicos e alteração da visibilidade
Ozônio (O ₃)	Gás incolor e inodoro nas concentrações ambientais, sendo o principal componente do "smog" fotoquímico	Formação, na troposfera, a partir da reação dos hidrocarbonetos e óxidos de nitrogênio na presença de luz solar	Provoca danos na estrutura pulmonar, reduzindo sua capacidade e diminuindo a resistência às infecções. Causa ainda, o agravamento de doenças respiratórias, aumentando a incidência de tosse, asma, irritações no trato respiratório superior e nos olhos	É agressivo às plantas, agindo como inibidor da fotossíntese e produzindo lesões características nas folhas
Material Particulado (PS, PTS e PM ₁₀)	Pode ser sólido ou líquido, de granulometria, forma e composição química variada de acordo com sua fonte de origem e os processos físicos e químicos de transformação aos quais foi submetido durante seu transporte na atmosfera	Pilhas de estocagem de material granulado, processos de pelotização e siderurgia, cimenteiras e atividades da construção civil, resuspensão de partículas depositadas ou constituintes de vias pavimentadas e não pavimentadas, veículos (escapamentos e frenagem) e fontes naturais como o mar que emite partículas de sais, além das queimadas, por exemplo	Para as partículas mais finas os efeitos estão predominantemente relacionados aos sistemas respiratórios e cardiovasculares e a sensibilidade está associada às condições individuais de saúde e faixa etária, embora toda a população seja afetada. De acordo com a OMS (WHO, 2006), não existem evidências suficientes que indiquem um limite abaixo do qual não ocorram efeitos à saúde humana. Os efeitos à saúde podem ser causados por exposição de longo ou curto prazo ao poluente. No caso das partículas mais grossas as reações mais comuns dizem respeito à impossibilidade de gozo pleno da propriedade e ao desconforto causado pelo incômodo da sujidade gerada pela deposição de material sobre as superfícies de uso cotidiano	Alteração da visibilidade; alteração no balanço de nutrientes de lagos, rios e do solo; danificação da vegetação e alteração na diversidade do ecossistema. Além disso, pode causar danos estéticos (manchas e danificações de rochas e outros materiais)

3.2 Regulamentação Sobre Qualidade do Ar

No âmbito internacional, dentro do sistema da Organização das Nações Unidas (ONU), a Organização Mundial de Saúde (OMS) representa o organismo diretor e coordenador nos assuntos relacionados à saúde entre os países participantes do sistema das Nações Unidas com objetivo de promover a agenda da pesquisa científica na área da saúde, diagnosticar as tendências mundiais e auxiliar o estabelecimento de normas e diretrizes, entre outros. A OMS publicou pela primeira vez em 1987, um relatório contendo diretrizes para qualidade do ar relativas às partículas em suspensão, ozônio, dióxido de enxofre e dióxido de nitrogênio baseadas na compilação de estudos científicos realizados no mundo. As diretrizes de qualidade do ar foram projetadas para oferecer orientações aos líderes políticos visando reduzir os impactos da poluição atmosférica sobre a saúde. Essas diretrizes foram revisadas em 1997 e 2005 com base no conhecimento científico vigente.

No âmbito nacional, a Resolução CONAMA nº 03/1990 estabeleceu os padrões primários de qualidade do ar definidos como as concentrações de poluentes que, ultrapassadas, poderão afetar a saúde da população e os padrões secundários de qualidade do ar como as concentrações de poluentes abaixo das quais se prevê o mínimo efeito adverso sobre o bem-estar da população, assim como o mínimo dano à fauna, à flora, aos materiais e ao meio ambiente em geral, sendo que esses padrões serão o objetivo a ser atingido mediante a estratégia de controle fixada pelos padrões de emissão e deverão orientar a elaboração de planos regionais de controle de poluição do ar. A Resolução CONAMA nº 03/1990 prevê ainda a aplicação diferenciada de padrões primários e secundários de acordo com o uso pretendido do território. Além dos padrões, foram estabelecidos também os níveis de atenção, alerta e emergência. Foram contemplados nessa resolução apenas sete poluentes: material particulado com diâmetro aerodinâmico equivalente de corte igual a 10 µm, partículas totais em suspensão, ozônio, dióxido de nitrogênio, dióxido de enxofre, monóxido de carbono e fumaça³. As condições de medição e os equipamentos referenciais a serem utilizados para o monitoramento também foram definidos com a ressalva de que podem ser adotados métodos equivalentes, desde que aprovados pelo IBAMA, visto que o monitoramento do ar é atribuição dos Estados.

O Governo do Estado do Espírito Santo, por meio do Decreto nº 3463-R, de 16/12/2013, estabeleceu os padrões estaduais de qualidade do ar. Foram incluídos além daqueles

³ Fumaça é definida como o aerossol formado por partículas oriundas de processos de combustão incompleta, consistindo principalmente de carbono e outros materiais combustíveis, sendo presente em quantidade suficiente para ser observável, independentemente da presença de outras partículas sólidas (SEINFELD e PANDIS, 2006).

poluentes já previstos pela Resolução CONAMA nº 03/1990, com exceção da fumaça, o material particulado com diâmetro aerodinâmico equivalente de corte igual a 2,5 µm e as partículas sedimentadas (poeira sedimentada). O Decreto introduz o conceito de Metas Intermediárias (MI), que são estabelecidas como valores temporários a serem cumpridos em etapas, visando à melhoria gradativa da qualidade do ar, e Padrões Finais (PF), que representam os alvos de longo prazo. Foram criadas 3 MI que levam ao gradual atendimento do PF, estabelecido com base nas diretrizes da OMS para os poluentes de interesse investigados por essa Organização. Estratégia semelhante à adotada pelo estado de São Paulo em abril de 2013.

Os padrões e diretrizes citadas são estabelecidos com base nos danos causados à saúde. Entretanto, as partículas sedimentadas (PS) estão associadas ao incômodo causado às populações. As reações mais comuns dizem respeito à impossibilidade de gozo pleno da propriedade e ao desconforto que pode gerar tensões psicológicas devido ao sentimento de incômodo causado pela sujidade gerada pela deposição de material sobre as superfícies de uso cotidiano (VALLACK e SHILLITO, 1998; FARFEL *et al.*, 2005). Essas partículas, conforme observado por Conti *et al.* (2009), incluem majoritariamente frações que variaram de 5 a 100 µm, mas incluem também partículas menores que 5 µm e, portanto, quando ressuspendidas, podem ocasionar efeitos à saúde humana. Além do incômodo, as partículas podem ainda se depositar sobre a vegetação, os materiais, edificações e monumentos podendo ocasionar modificação das propriedades óticas das folhas e a consequente diminuição da atividade fotossintética das plantas, a descoloração e a decomposição de materiais de construção, entre outros efeitos (HU *et al.*, 2006).

Vários países possuem padrões referenciais para o valor limite da taxa de deposição de PS, que quando ultrapassados, poderão causar incômodo à população, entre outros: Argentina, Estados Unidos, Espanha e Finlândia. Os valores limites adotados para a taxa de deposição de PS variam entre os diferentes países, e muitas vezes entre regiões de um mesmo país; por exemplo, nos EUA e Canadá, existem padrões diferentes para os estados. De maneira geral, os valores limites adotados para a taxa de deposição de PS estão entre 3,0 e 15 g/m²/30 dias, variando em áreas residenciais, comerciais ou industriais, sendo a maioria dos padrões empregados entre 5,0 e 10 g/m²/30 dias – Argentina, Estados Unidos, Espanha, Finlândia e Austrália (VALLACK e SHILLITO, 1998; DECNY, 2009; DEQM, 2007). No Brasil, foram encontrados padrão para partículas sedimentadas: (i) no estado de Minas Gerais (médias mensais) cujos valores foram adotados em função do uso do solo: 10 g/m²/30 dias em áreas industriais e 5 g/m²/30 dias nas demais áreas inclusive residenciais e comerciais (Deliberação Normativa COPAM nº 01 de 26 de maio de 1981); (ii) no estado do Amapá cujos

valores são idênticos aos do estado de Minas Gerais (Lei Ambiental do Município de Macapá nº 948/98, Capítulo V, Seção III, Art. 89) e (iii) no estado do Rio de Janeiro (NT 603.R-4 de 15 de março de 1978).

É importante notar que outros poluentes também estão presentes na atmosfera, entretanto, não constam das listas de poluentes com padrões legislados devido a: (i) não existirem evidências científicas significativas sobre a relação entre a concentração do poluente numa dada exposição com o efeito à saúde que permitam a elaboração de um padrão de qualidade do ar; (ii) haver dentre os poluentes com padrões legislados um poluente que sejam indicador de outro poluente por fazer parte das suas transformações na atmosfera ou por ser emitido pelo mesmo tipo de fonte; ou ainda a (iii) dificuldades técnicas na amostragem ou medição do poluente.

Por exemplo, os hidrocarbonetos totais (HCT) e os hidrocarbonetos não-metano (HCNM) não possuem padrão de qualidade do ar estadual ou federal, mas são monitorados pela maioria dos órgãos de controle ambientais, inclusive pelo IEMA. As fontes de hidrocarbonetos incluem vegetação, veículos automotores, tanques de estocagem de combustíveis e postos de abastecimento de combustíveis, lavagem de tecidos a seco, aviões e fontes difusas em plantas industriais, entre outras. O metano contribui para o efeito estufa, enquanto os HCNM participam da formação do ozônio na atmosfera e causam efeito à saúde dependendo da sua especificação. Assim, devem ser constantemente monitorados, mesmo não havendo um padrão de qualidade do ar associado a esse poluente.

3.3 Padrões da Qualidade do Ar

Os padrões de qualidade do ar CONAMA nº 03/1990 são divididos em primários e secundários. Podem ser entendidos como níveis desejados de concentração de poluentes e devem ser considerados como metas a serem alcançadas em longo prazo. Entretanto, devem ser adotados apenas os padrões primários enquanto cada Estado não deferir o enquadramento das áreas de acordo com seu uso pretendido conforme Resolução CONAMA nº 5 de 15/06/1989.

A Tabela 3.2 apresenta os padrões nacionais e estaduais de qualidade do ar e diretrizes da OMS para os poluentes atmosféricos regulados.

Tabela 3.2 - Padrões nacionais e estaduais de qualidade do ar e diretrizes da OMS.

			PM _{2,5} [µg/m ³]	PM ₁₀ [µg/m ³]	PTS [µg/m ³]	PS [g/m ² .30 dias]	SO ₂ [µg/m ³]	NO ₂ [µg/m ³]	O ₃ [µg/m ³]	CO [µg/m ³]	Fumaça [µg/m ³]	
Padrão Nacional (CONAMA nº 03/1990)	Exposição	Curta	Primário	-	150 ¹ 24h	240 ¹ 24h	-	365 ¹ 24h	320 1h	160 ¹ 1h	10.000 ¹ 8h 40.000 ¹ 1h	150 ¹ 24h
			Secundário	-	150 ¹ 24h	150 ¹ 24h	-	100 ¹ 24h	190 1h	160 ¹ 1h	10.000 ¹ 8h 40.000 ¹ 1h	100 ¹ 24h
	Longa	Primário	-	50 Ano ²	80 Ano ³	-	80 Ano ²	100 Ano ²	-	-	-	60 Ano ²
		Secundário	-	50 Ano ²	60 Ano ³	-	40 Ano ²	100 Ano ²	-	-	-	40 Ano ²
Metas e Padrão Estadual (Decreto nº 3463-R 2013)	Exposição	Curta	M11-ES	-	120 24h	180 24h	14	60 24h	240 1h	140 8h	-	-
			M12-ES	50 24h	80 24h	170 24h	-	40 24h	220 1h	120 8h	-	-
			M13-ES	37 24h	60 24h	160 24h	-	30 24h	210 1h	110 8h	-	-
			PF-ES	25 24h	50 24h	150 24h	-	20 24h	200 1h	100 8h	10.000 8h 30.000 1h	-
	Longa	M11-ES	-	45 Ano ²	65 Ano ³	-	40 Ano ²	50 Ano ²	-	-	-	-
		M12-ES	20 Ano ²	33 Ano ²	63 Ano ³	-	30 Ano ²	45 Ano ²	-	-	-	-
		M13-ES	15 Ano ²	25 Ano ²	62 Ano ³	-	20 Ano ²	42 Ano ²	-	-	-	-
		PF-ES	10 Ano ²	20 Ano ²	60 Ano ³	-	-	40 Ano ²	-	-	-	-
Diretriz OMS	Exposição	Curta	25 24h	50 24h	-	-	20 24h 500 10min	200 1h	100 8h	10.000 8h 30.000 1h	-	
		Longa	10 Ano ²	20 Ano ²	-	-	-	40 Ano ²	-	-	-	

¹Não pode ser excedido mais que uma vez por ano. ²Média Aritmética Anual. ³Média Geometria Anual

É possível observar a grande diferença entre os valores previstos pelos padrões CONAMA e as diretrizes da OMS. Essa discrepância se deve principalmente ao fato que os padrões CONAMA foram estabelecidos em 1990 com base no conhecimento vigente à época. As diretrizes da OMS, revisadas em 2005, já refletem o conhecimento acumulado nos diversos estudos científicos realizados mais recentemente, que indicam que os efeitos deletérios dos poluentes atmosféricos sobre a saúde humana são percebidos em concentrações muito menores que aquelas previstas anteriormente. Por exemplo, o padrão CONAMA apresenta valor limite para PM_{10} três vezes superior a diretriz da OMS.

Conforme citado anteriormente, o Governo do Estado do Espírito Santo estabeleceu novos padrões de qualidade do ar por meio do Decreto nº 3463-R de 16/12/2013. Esses padrões estaduais incluem dois poluentes que não possuíam padrões específicos na Resolução CONAMA nº 03/1990, estes são: material particulado com diâmetro aerodinâmico inferior a $2,5 \mu m$ ($PM_{2,5}$) e partículas sedimentadas (PS). Além disso, foram estabelecidas metas intermediárias (MI1, MI2 e MI3) como valores temporários a serem cumpridos em etapas visando a melhoria gradativa da qualidade do ar e a implementação de um padrão final (PF) para que seja preservada ao máximo a saúde da população em relação ao danos causados pela poluição atmosférica. Esse decreto indica também que o valor referencial que deve ser respeitado a partir da sua publicação é a meta intermediária MI1.

Tanto as diretrizes da OMS, quanto os padrões nacionais e estaduais de qualidade do ar, apresentam valores referenciais associados aos efeitos à saúde causados pela curta e longa exposição a cada poluente a fim de prevenir efeitos agudos e crônicos, respectivamente. Entretanto, para os poluentes O_3 e CO são estabelecidos apenas valores referenciais para curta exposição. Apesar de existirem evidências científicas sobre os efeitos à saúde devido à longa exposição ao O_3 , essas evidências ainda não são suficientes para sustentar a indicação de uma diretriz ou padrão associado à média anual. Quanto ao CO, estudos científicos indicam que durante exposição a concentrações invariáveis de CO, a concentração de carboxihemoglobina no sangue aumenta rapidamente e atinge regime permanente após 6 a 8 horas de exposição sendo que qualquer valor calculado com tempo de média igual a 8 horas seria representativo de exposições mais longas.

Além dos padrões de qualidade do ar, a Resolução CONAMA nº 03/1990 estabeleceu níveis de qualidade do ar para que estados e municípios pudessem elaborar um plano de emergência para episódios críticos de poluição do ar com o objetivo de prevenir grave e iminente risco à saúde da população. Um episódio crítico de poluição do ar está definido como a presença de altas concentrações de poluentes na atmosfera

em curto período de tempo, resultante da ocorrência de condições meteorológicas desfavoráveis à dispersão dos mesmos. São três, estes níveis: atenção, alerta e emergência. O estabelecimento dos desses níveis estão também previstos no Decreto Estadual nº 3463-R de 16/12/2013.

Para a definição desses três níveis são considerados os seguintes parâmetros: concentrações de dióxido de enxofre, partículas totais em suspensão, produto entre a concentração de partículas totais em suspensão e a concentração de dióxido de enxofre, monóxido de carbono, ozônio, partículas inaláveis, fumaça, dióxido de nitrogênio, bem como as condições meteorológicas. Os níveis de atenção, alerta ou emergência são declarados quando, prevendo-se a manutenção das emissões bem como as condições meteorológicas desfavoráveis à dispersão dos poluentes nas vinte e quatro horas subsequentes for atingida, respectivamente, uma ou mais das condições apresentadas na Tabela 3.3.

Tabela 3.3 - Concentração dos poluentes ($\mu\text{g}/\text{m}^3$) para determinação dos níveis de atenção, alerta e emergência.

Níveis	PM ₁₀ 24h	PTS 24h	SO ₂ 24h	SO ₂ x PTS 24h	NO ₂ 1h	O ₃ 1h	CO 8h	Fumaça 24h
ATENÇÃO	250	375	800	65.000	1.130	400	17.000 (15ppm)	250
ALERTA	420	625	1.600	261.000	2.260	800	34.000 (30ppm)	420
EMERGÊNCIA	500	875	2.100	393.000	3.000	1.000	46.000 (40ppm)	500

Fonte: Resolução CONAMA nº 03 de 28/06/1990.

3.4 Índice de Qualidade do Ar

O IEMA divulga diariamente informações sobre a qualidade do ar na RMGV. Essas informações são apresentadas por meio do índice e da classificação de qualidade do ar. O objetivo do índice e da classificação da qualidade do ar é indicar o atendimento aos padrões ou metas vigentes.

A divulgação do índice é efetuada utilizando o índice mais elevado dentre todos os poluentes medidos em cada estação. Portanto, a qualidade do ar em uma dada estação é indicada a partir do pior resultado dentre os poluentes monitorados naquela estação. A classificação da qualidade do ar varia desde boa e regular a inadequada, ruim, péssima e crítica (seis classes) sendo também representada segundo uma escala de cores a fim de facilitar a compreensão.

A Tabela 3.4 apresenta as faixas de concentração e de Índice de Qualidade do ar (IQA) para cada poluente para definição da classificação (boa, regular, inadequada, ruim, péssima ou crítica). As faixas de concentração, associadas às faixas dos índices, apresentam limites inferiores e superiores baseados em valores referenciais de qualidade do ar para longa e curta exposição, seguidos pelos níveis de atenção, alerta e emergência. Neste relatório foram considerados como valores de referência para longa e curta exposição, as metas intermediárias MI1 para longa e curta exposição, de acordo com o Decreto Estadual nº 3463-R de 16/12/2013. Os níveis de atenção, alerta e emergência foram considerados idênticos aqueles da Resolução CONAMA nº 03/1990, pois ainda não foram definidos novos valores na legislação estadual.

O índice de qualidade do ar é representado por um valor numérico que varia de zero a 500, sendo 100 o índice associado a MI1 para curta exposição ao poluente. O índice de valor 50 está associado a MI1 para longa exposição ao poluente (PM_{10} , PTS, SO_2 e NO_2) ou à metade do valor de MI1 para curta exposição ao poluente (CO e O_3). Assim, esse índice pode ser calculado a partir de funções lineares descontínuas em seis faixas de valores sendo os pontos de inflexão associados as MI1 (curta e longa exposição) e níveis de atenção alerta e emergência. Para cada uma destas seis faixas do índice está associada uma classificação da qualidade do ar.

Exemplificando para melhor compreensão da construção da Tabela 3.4, considere o poluente PM_{10} , o limite inferior da faixa de classificação boa corresponde a $45 \mu g/m^3$ que representa a MI1 para longa exposição ao poluente PM_{10} e o limite superior da mesma faixa, corresponde a $120 \mu g/m^3$ que representa a MI1 para curta exposição ao poluente PM_{10} . Isso significa que, caso mantida a média de 24 horas de PM_{10} abaixo de $45 \mu g/m^3$, a MI1 para curta exposição estará sendo obedecida e a MI1 para longa exposição também será garantida. Assim, a qualidade do ar pode ser classificada como boa. Por outro lado, se a média de 24 horas de PM_{10} estiver acima de $45 \mu g/m^3$, mas ainda abaixo de $120 \mu g/m^3$, a MI1 para curta exposição está sendo obedecida, mas a MI1 para longa exposição não será garantida. Assim, a qualidade do ar é classificada como regular, mas ainda adequada. A qualidade do ar somente será classificada como inadequada, se a MI1 para curta exposição for ultrapassada.

Para o poluente O_3 que não possui meta ou padrão para longa exposição, o limite inferior da faixa de classificação boa corresponde a $70 \mu g/m^3$ que representa a metade do valor de MI1 para curta exposição (8 horas) ao poluente O_3 e o limite superior da mesma faixa, corresponde a $140 \mu g/m^3$ que representa a MI1 para curta exposição (8 horas) ao poluente.

Para o poluente CO que também não possui meta ou padrão para longa exposição, mas que possui MI1 para médias de 1 hora e 8 horas, o limite inferior da faixa de classificação boa corresponde a média horária igual a 5.000 $\mu\text{g}/\text{m}^3$ que representa a metade do valor de MI1 para exposição de 8 horas ao poluente CO e o limite superior da mesma faixa, corresponde a 10.000 $\mu\text{g}/\text{m}^3$ que representa a MI1 para exposição de 8 horas ao poluente. Nesses casos, se a média horária for inferior ao valor de MI1 para exposição de 8 horas, então essa MI1 não será ultrapassada e a qualidade do ar pode ser considerada adequada (boa ou regular).

Tabela 3.4 - Descrição das classes, índices e valores limites de concentração (em $\mu\text{g}/\text{m}^3$) para determinação do IQA.

Classificação	Índice	PM ₁₀ 24h	PTS 24h	SO ₂ 24h	NO ₂ 1h	O ₃ 8h	CO 1h
BOM	0-50	0-45	0-65	0-40	0-50	0-70	0-5000
REGULAR	51-100	46-120	66-180	41-60	51-240	71-140	5001-10000
INADEQUADA	101-199	121-250	181-375	61-800	241-1130	141-200	10001-17000
RUIM	200-299	251-420	376-625	801-1600	1131-2260	201-800	17001-34000
PÉSSIMA	300-399	421-500	626-875	1601-2100	2261-3000	801-1000	34001-46000
CRÍTICA	>400	501-600	876-1000	2101-2620	3001-3750	1001-1200	46001-50000

4. Monitoramento na RMGV

O monitoramento da qualidade do ar e das condições meteorológicas na RMGV é efetuado por 2 conjuntos complementares de estações de monitoramento: (i) Rede Automática de Monitoramento da Qualidade do Ar (RAMQAr), (ii) rede manual de monitoramento de partículas sedimentadas. O número e a distribuição das estações de monitoramento de qualidade do ar em operação na RMGV não são suficientes para a caracterização detalhada da poluição do ar em todo o seu território. As estações da RAMQAr e da rede manual de monitoramento de partículas sedimentadas estão localizadas em 4 dos 7 municípios da RMGV em locais estratégicos para o direcionamento de políticas de gestão e de controle.

4.1 Rede Automática de Qualidade do Ar (RAMQAr)

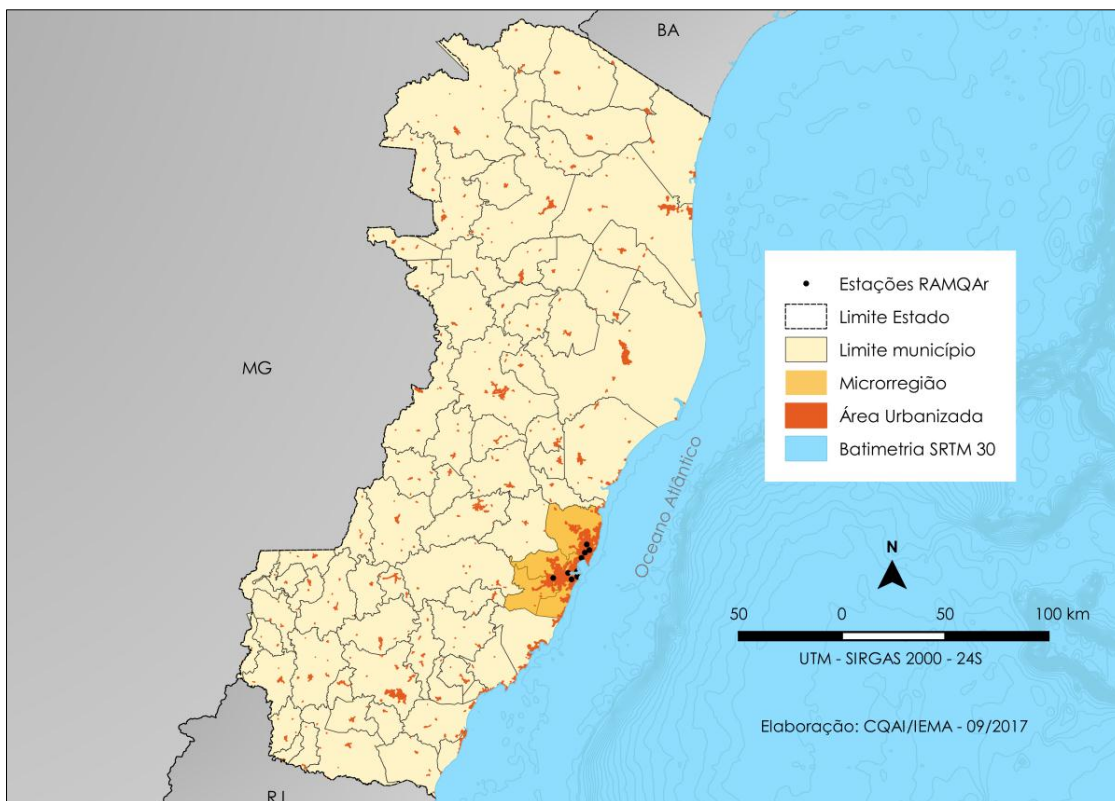
A RAMQAr tornou-se operacional em 2000, e foi viabilizada por meio de condicionantes das Licenças de Instalação da Usina VII da CVRD (LI-198/98) e Alto Forno II da CST (LI-192/98), sendo composta, originalmente, por 8 estações de monitoramento. Atualmente, a RAMQAr possui 9 estações de monitoramento, sendo que a nona estação (Cidade Continental) foi instalada por meio da condicionante da Sol Coqueria (LO-007/07), contudo os dados foram integrados a RAMQAr somente a partir de 2011, Tabela 4.1.

Tabela 4.1 - Dados de localização das estações da RAMQAr.

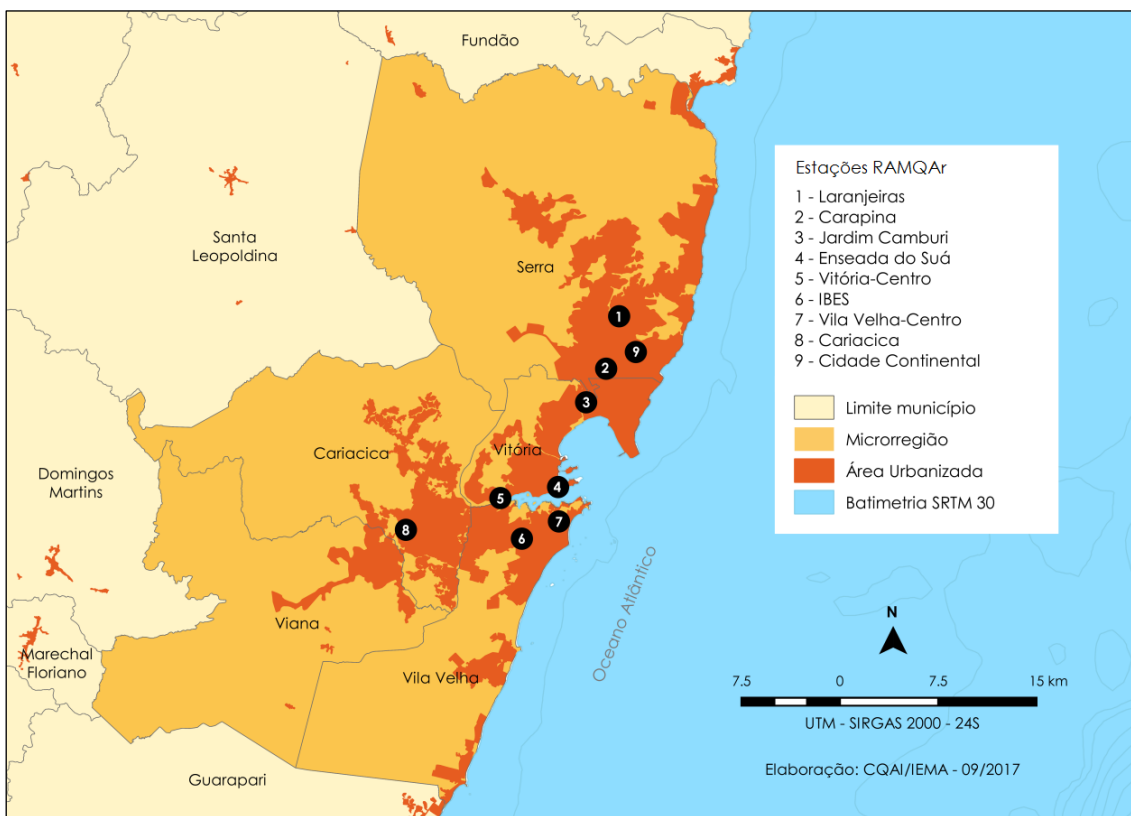
Estação	Localização	Bairro	Município	Início da Operação	Coordenadas	
					X	Y
RAMQAr 1	Hospital Dório Silva	Laranjeiras	Serra	2000	369917	7766305
RAMQAr 2	ArcelorMittal Tubarão	Carapina	Serra	2000	368945	7762315
RAMQAr 3	Unidade de Saúde	Jardim Camburi	Vitória	2000	367429	7760371
RAMQAr 4	Corpo de Bombeiros	Enseada do Suá	Vitória	2000	365266	7753279
RAMQAr 5	Ministério da Fazenda	Centro	Vitória	2005	360857	7752450
RAMQAr 6	4º Batalhão da Polícia Militar	Ibes	Vila Velha	2000	362532	7749346
RAMQAr 7	Ao lado do Colégio Marista	Centro	Vila Velha	2000	365354	7750721
RAMQAr 8	CEASA	Vila Capixaba	Cariacica	2000	353697	7749998
RAMQAr 9	ArcelorMittal Tubarão	Cidade Continental	Serra	2011	371218	7763588

Nota: Sistema de Coordenadas UTM – SIRGAS 2000.

A RAMQAr está localizada nos municípios integrantes da Região Metropolitana da Grande Vitória (RMGV), Mapa 4.1 e 4.2.



Mapa 4.1 - Distribuição das estações da RAMQAr no Espírito Santo.



Mapa 4.2 - Distribuição das estações da RAMQAr na RMGV.

A RAMQAr é de propriedade do IEMA, que gerencia sua operação e manutenção que tem como objetivos:

- Verificar o cumprimento de normas e padrões no controle da qualidade do ar;
- Verificar a efetividade das medidas de controle ambiental;
- Vigilância da qualidade do ar no entorno de fontes específicas;
- Avaliar as tendências urbanas;
- Avaliar inventário de emissões e modelos de dispersão;
- Consolidação das informações para subsidiar estudos de riscos para a saúde;
- Prognósticos de episódios de altas concentrações
- Apoio a pesquisas acadêmicas.

A Tabela 4.2 apresenta os parâmetros meteorológicos e de qualidade do ar monitorados por cada estação da RAMQAr.

Tabela 4.2 - Parâmetros monitorados pelas estações da RAMQAr.

Estação	Localização	PM _{2,5}	PM ₁₀	PTS	SO ₂	NO	NO ₂	NO _x	CO	O ₃	CH ₄	HCn M	HCT	Parâmetros Meteorológicos
RAMQAr 1	Laranjeiras		X	X	X	X	X	X	X	X				
RAMQAr 2	Carapina		X	X										DV,P,PP,RS,SIGT,T,UR,VV
RAMQAr 3	Jardim Camburi		X	X	X	X	X	X						
RAMQAr 4	Enseada do Suá	X	X	X	X	X	X	X	X	X	x	X	X	DV,SIGT,VV
RAMQAr 5	Centro-Vitória		X	X	X	X	X	X	X		x	X	X	
RAMQAr 6	Ibes	X	X	X	X	X	X	X	X	X	x	X	X	DV,SIGT,T,UR,VV
RAMQAr 7	Centro-Vila Velha		X		X									
RAMQAr 8	Vila Capixaba		X	X	X	X	X	X	X	X				DV,SIGT,T,UR,VV
RAMQAr 9	Cidade Continental		X	X	X		X							DV,VV

Nota: Sistema de Coordenadas UTM – SIRGAS 2000.

Legenda

Poluentes		Meteorologia	
CH ₄	Metano	DV	Direção do Vento
CO	Monóxido de Carbono	P	Pressão Atmosférica
HCnM	Hidrocarbonetos não Metano	PP	Precipitação Pluviométrica
HCT	Hidrocarbonetos Totais	RS	Radiação Solar
NO	Monóxido de Nitrogênio	SIGT	Desvio Padrão da Direção do Vento
NO ₂	Dióxido de Nitrogênio	T	Temperatura
NO _x	Óxidos de Nitrogênio	UR	Umidade Relativa
O ₃	Ozônio	VV	Velocidade do Vento
PM ₁₀	Partículas Inaláveis (<10 µm)		
PM _{2,5}	Partículas Respiráveis (<2,5 µm)		
PTS	Partículas Totais em Suspensão		
SO ₂	Dióxido de Enxofre		

As estações automáticas coletam e analisam continuamente amostras do ar e processam essas informações na forma de médias horárias, no próprio local e em tempo real. As médias horárias são transmitidas para a central de telemetria localizada na Coordenação de Qualidade do Ar do IEMA e armazenadas em servidor exclusivo de banco de dados, onde passam por processo de validação técnica periódica. Todos os monitores usados na RAMQAr atendem aos padrões de qualidade e desempenho mais rigorosos do mercado e possuem a certificação da USEPA. A operação da RAMQAr é realizada por empresa contratada através de licitação pública, com a supervisão e gerência de servidores do IEMA.

4.1.1 Monitor de Particulado

Os monitores de Partículas Totais em Suspensão (PTS), Partículas Inaláveis (PM_{10}) e Partículas Respiráveis ($PM_{2,5}$), utilizam a metodologia de medição *Tapered Element Oscillating Microbalance* TEOM para a medição contínua da concentração de massa de material particulado contido no ar ambiente. O TEOM consiste na passagem de ar ambiente com fluxo constante através de um filtro que é continuamente pesado, através da medição de diferencial de frequência de oscilação medida deste filtro, calculando-se então, as concentrações de massa em tempo real.

4.1.2 Monitor de Dióxido de Enxofre (SO_2)

O instrumento utiliza o princípio da fluorescência dos raios ultravioleta para medir as concentrações de Dióxido de Enxofre (SO_2) no ambiente. A amostra de gás é irradiada com uma luz ultravioleta de grande intensidade produzindo uma reação iônica. Esta reação é opticamente filtrada e detectada por um fotodiodo. O fotodiodo produz um sinal elétrico proporcional à concentração de SO_2 na amostra de gás.

4.1.3 Monitor de Óxidos de Nitrogênio (NO_x , NO, NO_2)

O instrumento utiliza uma combinação do tipo de modulação de fluxo cruzado duplo, com o princípio de quimiluminescência com o método de cálculo diferencial. Quando o Monóxido de Nitrogênio (NO) e o Dióxido de Nitrogênio (NO_2) reagem com o Ozônio, uma parte do NO é oxidada formando NO_2 . Parte do NO_2 gerado está em um estado excitado e emite luz neste estado. Este fenômeno é chamado de quimiluminescência. O analisador separa a amostra em duas partes. Em uma delas o NO_2 é reduzido para NO pelo conversor térmico de NO_x e então é utilizado para medir

NO_x (NO + NO₂). Na outra parte, a amostra de gás de NO é medida normalmente. Na câmara de reação a amostra reage com o ozônio (formando o NO₂ excitado) e a emissão de luz produzida é detectada por um fotodiodo. A saída produzida pelo fotodiodo é proporcional às concentrações de NO_x e NO no fluxo da amostra.

4.1.4 Monitor de Monóxido de Carbono (CO)

O instrumento utiliza o efeito de modulação que ocorre com a absorção de infravermelho (IR) de uma amostra de gás, quando esta amostra de gás e um gás zero (neutro) são alternadamente injetados, a fluxo constante, em uma célula analisadora. Um detector de IR é utilizado para converter a absorção do gás em um sinal elétrico proporcional à concentração de CO.

4.1.5 Monitor de Ozônio (O₃)

O instrumento utiliza o tipo de modulação de fluxo cruzado, o método de absorção ultravioleta juntamente com o método de cálculo comparativo. A amostra é exposta a uma fonte luminosa de UV com frequência constante. As moléculas de ozônio são absorvidas pela luz UV produzindo um sinal óptico que é convertido em um sinal elétrico. O sinal elétrico é usado para calcular a concentração de ozônio.

A Tabela 4.3 apresenta uma descrição da abrangência esperada e fontes de influência por cada estação da RAMQAr em sua concepção original. É importante ressaltar o crescimento da RMGV e as alterações relacionadas às principais fontes da região requerem revisões do desenho original. Por exemplo, as estações que atualmente monitoram os níveis de O₃ encontram-se muito próximas de regiões de tráfego intenso, que são caracterizadas pelas significativas emissões de NO_x, que reduzem as concentrações atmosféricas locais de O₃. Um monitoramento mais adequado das concentrações de O₃ deveria considerar a presença de estações mais afastadas de vias de tráfego intenso, visto que a dinâmica de formação desse poluente conduz a níveis mais elevados de concentração em regiões mais afastadas das fontes de emissão de NO_x.

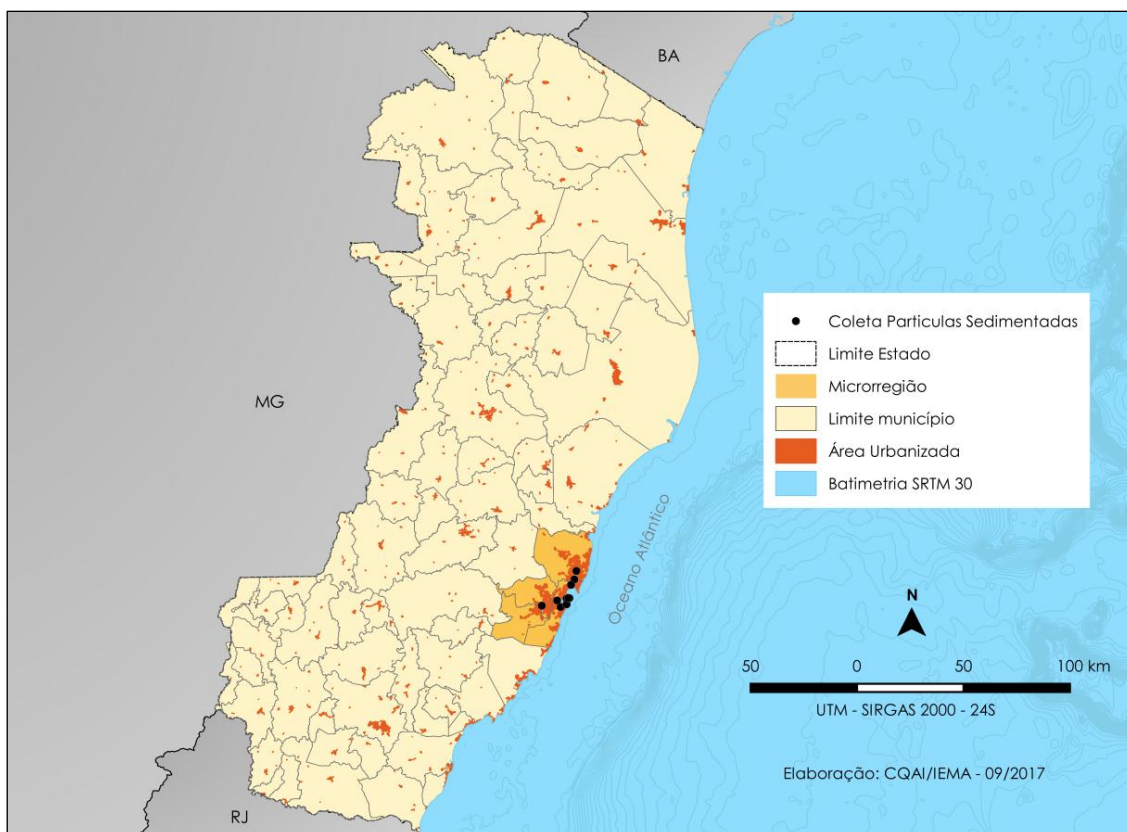
Outro fator relevante que leva a necessidade de revisão é a construção de edificações próximas às estações que prejudicam não apenas o monitoramento da qualidade do ar, mas principalmente, o monitoramento das variáveis meteorológicas.

Tabela 4.3 - Descrição da área de influência das estações da RAMQAr.

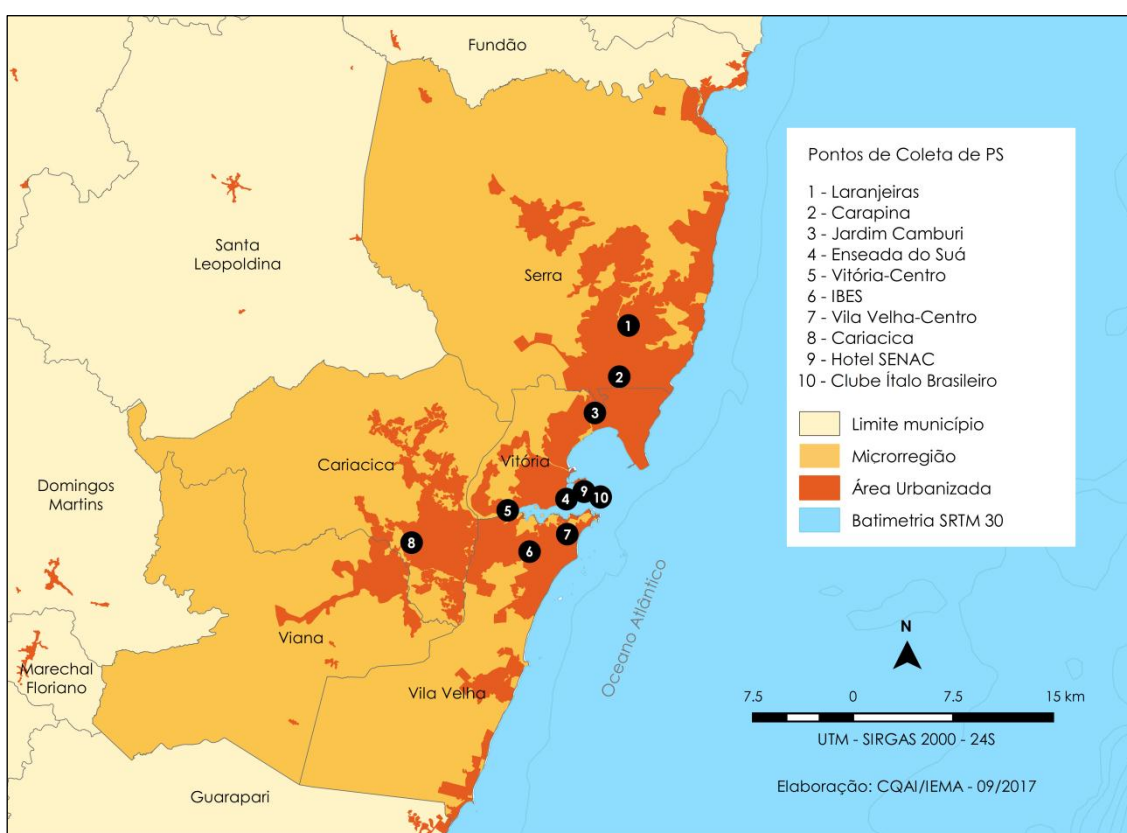
Estação	Localização	Descrição de abrangência e fontes de influência
RAMQAr 1	Laranjeiras	Influências diretas das indústrias da Ponta de Tubarão quando da ocorrência de ventos sul e demais indústrias do CIVIT quando a concorrência de ventos Nordeste.
RAMQAr 2	Carapina	Esta estação capta influências das indústrias da Ponta de Tubarão em determinadas condições de vento, podendo registrar influência. No que diz respeito ao monitoramento meteorológico, essa é a estação mais completa.
RAMQAr 3	Jardim Camburi	Cobre áreas diretamente influenciadas pelas emissões de indústrias da Ponta de Tubarão, Serra e Vitória. A mesma, ainda, sofre influência de fontes móveis circulando em áreas nos seus arredores.
RAMQAr 4	Enseada do Suá	É apresentada como a principal estação na rede de medição instalada, pois se localiza em um ponto estratégico da Região Metropolitana da Grande Vitória e proporciona grande área de cobertura espacial. Além disso, ela é diretamente influenciada pelas emissões de origem industrial da Ponta de Tubarão e pelas fontes móveis que convergem para aquela área de passagem natural da região.
RAMQAr 5	Centro-Vitória	A estação proporciona cobertura espacial de áreas diretamente influenciadas pelas emissões de veículos, recebendo ainda contribuições de atividades portuárias e fontes industriais dos municípios de Vitória e Vila Velha.
RAMQAr 6	Ibes	Cobre áreas diretamente influenciadas pelas emissões veiculares e industriais dos municípios de Vitória, Vila Velha e Cariacica. A estação reúne todas as condições físicas para medição adequada dos parâmetros meteorológicos.
RAMQAr 7	Centro-Vila Velha	Proporciona cobertura espacial de áreas diretamente influenciadas pelas emissões de veículos e industriais dos municípios de Vitória e Vila Velha.
RAMQAr 8	Vila Capixaba	A estação apresenta uma alta cobertura na parte sudoeste da região, com baixa redundância entre outras estações da rede. Ela cobre ainda áreas diretamente influenciadas pelas emissões de veículos e indústrias de Cariacica, além de reunir todas as condições físicas para medição adequada dos parâmetros meteorológicos.
RAMQAr 9	Cidade Continental	É influenciada diretamente pelas indústrias da Ponta de Tubarão, e registra emissões relativas de veículos e outras fontes da Serra.

4.2 Rede Manual de Monitoramento de Partículas Sedimentadas

A Rede Manual de Monitoramento de Partículas Sedimentadas foi implantada em abril de 2009 com 09 pontos de monitoramento. Em dezembro do mesmo ano, a rede foi ampliada para 11 pontos de monitoramento. Atualmente a rede conta com 10 pontos, (Mapa 4.3 e 4.4), sendo 8 localizados nas estações da RAMQAr e 2 no bairro Ilha do Boi em Vitória (Hotel SENAC e Clube Ítalo Brasileiro). O ponto de monitoramento localizado no Centro de Vitória, na Banca Cultura na esquina da Av. Jerônimo Monteiro com a Rua Governador José Sette foi desativado em fevereiro de 2013 por solicitação do proprietário da Banca.



Mapa 4.3 - Distribuição espacial dos pontos de coleta de PS no Espírito Santo.



Mapa 4.4 - Distribuição espacial dos pontos de coleta de PS na RMGV.

O posicionamento dos pontos de monitoramento de poeira foi determinado com base nas recomendações da norma ASTM D1739-98 (*reapproved, 2004*), que sugere espaçamento entre os pontos de 5 a 8 km e proximidade com estruturas e edificações e presença de árvores. A Tabela 4.4 apresenta a localização dos pontos de monitoramento.

Tabela 4.4 - Dados dos pontos de monitoramento de partículas sedimentadas.

Estação	Localização	Bairro	Município	Coordenadas	
				X	Y
RAMQAr 1	Hospital Dório Silva	Laranjeiras	Serra	369917	7766305
RAMQAr 2	ArcelorMittal Tubarão	Carapina	Serra	368945	7762315
RAMQAr 3	Unidade de Saúde	Jardim Camburi	Vitória	367429	7760371
RAMQAr 4	Corpo de Bombeiros	Enseada do Suá	Vitória	365266	7753279
RAMQAr 5	Ministério da Fazenda	Centro	Vitória	360857	7752450
RAMQAr 6	4º Batalhão da Polícia Militar	Ibes	Vila Velha	362532	7749346
RAMQAr 7	Ao lado do Colégio Marista	Centro	Vila Velha	365354	7750721
RAMQAr 8	CEASA	Vila Capixaba	Cariacica	353697	7749998
Ponto	Hotel SENAC	Ilha do Boi	Vitória	366107	7753649
Ponto	Clube Ítalo Brasileiro	Ilha do Boi	Vitória	366640	7753590

Nota: Sistema de Coordenadas UTM – SIRGAS 2000.

Cada ponto de monitoramento possui 4 coletores ASTM D1739-98 (2004) que permite mais segurança no caso de rejeição de amostras em algum dos potes, permitindo assim a análise dos dados de quantificação da massa depositada. A Figura 4. 4.1 apresenta o coletor de partículas sedimentadas, que consiste basicamente de um recipiente de coleta de 25 cm de diâmetro e 50 cm de profundidade protegido por uma barreira para minimizar a influência da velocidade do vento sobre as medições. A existência de quatro coletores em cada estação permite, ainda, que a quantidade de massa coletada seja suficiente para uma posterior caracterização química das partículas, visto que são necessários 1 a 2 gramas para a realização das análises químicas.

Para a quantificação da taxa de deposição de poeira sedimentada em cada ponto de monitoramento também são empregados os procedimentos descritos na norma ASTM D1739-98 (2004), que consistem em deixar o recipiente coletor exposto por 30 dias e caracterizar gravimetricamente seu conteúdo, após a secagem da amostra em

estufa. Conhecendo a massa de partículas depositadas e a área do recipiente, determina-se o fluxo de deposição em $\text{g}/\text{m}^2/30$ dias. Os dados divulgados representam a média dos fluxos de deposição calculados entre os 4 coletores instalados em cada ponto de monitoramento.

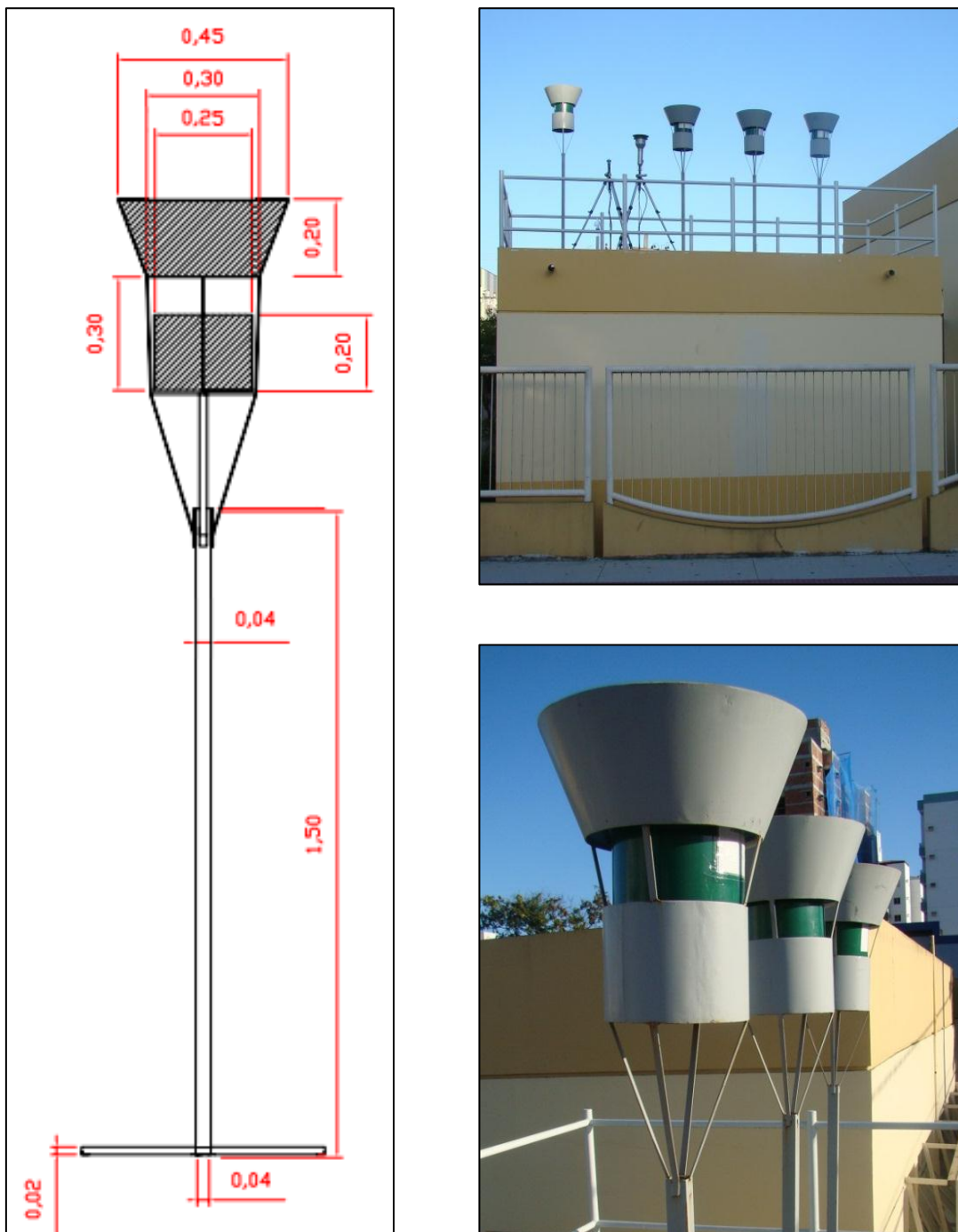


Figura 4.1 - Coletor de partículas sedimentadas de acordo com a norma ASTM D1739.

4.3 Métodos de Tratamento de dados

Os dados brutos utilizados para elaboração deste relatório são as concentrações médias horárias para cada um dos poluentes e variáveis meteorológicas monitoradas. A partir desses dados são calculadas as concentrações médias aritméticas anuais (PM₁₀, NO₂ e SO₂), médias geométricas anuais (PTS), médias móveis de 24 horas (PTS, PM₁₀ e SO₂), médias móveis de 8 horas (CO e O₃) e médias horárias (CO, O₃ e NO₂).

As médias móveis das concentrações para tempos de média de 8 horas e 24 horas são utilizadas para a realização das comparações com os padrões previstos na Resolução CONAMA nº 03/1990, com as diretrizes da OMS e com os limites previstos pelo Decreto nº 3463-R de 16/12/2013, que estabelece novos padrões de qualidade do ar para o estado do Espírito Santo.

As médias móveis representam a melhor estratégia para a verificação da exposição ao poluente monitorado em estações automáticas, pois a exposição ocorre em horas consecutivas e não de acordo com as horas do relógio em um dia. Por exemplo, a exposição de 24 horas, não corresponde necessariamente a exposição ocorrida entre 00:00 horas de um determinado dia e 23:59 horas do dia posterior, mas a exposição de 24 horas consecutivas, seja entre 01:00 hora e 00:59 hora do dia posterior ou entre 02:00 horas e 01:59 horas do dia posterior, e assim, consecutivamente. Desse modo, existem 23 médias móveis de 24 horas em 1 dia, 8.760 em 1 ano e a exposição ao poluente pode ser verificada continuamente. Outro modo interessante de avaliar a importância do uso da média móvel, consiste em perceber que a média de 24 horas entre 00:00 horas e 23:59 horas pode ser menor que a média de 24 horas calculada entre 12:00 horas e 11:59 do dia posterior, entretanto, a exposição de 24 horas ao poluente ocorreu tanto entre 00:00 horas e 23:59 horas como entre 12:00 horas e 11:59 horas.

As comparações com os limites previstos pelo Decreto nº 3463-R de 16/12/2013 são de vital importância para o gerenciamento da qualidade do ar na RMGV, pois o decreto estabelece metas intermediárias que devem ser alcançadas em 3 etapas até o atingir os padrões finais de qualidade esperados, que estão alinhados com as diretrizes de qualidade do ar preconizadas pela OMS.

4.3.1. Representatividade dos dados

A análise da representatividade dos dados de monitoramento é muito importante para garantir a validade das comparações entre os dados de monitoramento e os padrões de qualidade do ar. Por exemplo, se uma estação de monitoramento possui dados válidos de medição somente em metade dos meses de um ano, a média anual da concentração de poluentes calculada com os dados dessa estação pode não ser representativa da qualidade do ar daquela região. Esse problema pode ser mais grave se os dados excluírem períodos críticos ou de condições meteorológicas desfavoráveis, como os meses de inverno, por exemplo. Nesse caso a concentração média anual calculada seria significativamente diferente da concentração média anual real, pois poderia excluir diversos dados com elevados valores de concentração. Nesse contexto, a definição de critérios de representatividade de dados é de extrema importância para assegurar a confiabilidade das análises efetuadas.

A representatividade de um parâmetro de monitoramento calculado (tais como médias anuais, mensais ou de 24 horas) é avaliada com base no percentual de dados brutos válidos que foi utilizado em seu cálculo. Ao processar os dados brutos, são considerados como dados disponíveis/válidos os dados que não são invalidados pelo sistema de captura/armazenamento de dados ou pelo gestor do sistema.

Com o objetivo de uniformizar os critérios de representatividade utilizados por órgãos ambientais estaduais no Brasil, o presente relatório utiliza os mesmos critérios empregados pela Companhia Ambiental do Estado de São Paulo (CETESB, 2013) e Instituto Estadual do Ambiente do Estado do Rio de Janeiro (INEA-RJ, 2013). A representatividade dos dados é testada com base no número de dados brutos disponíveis/ válidos para o cálculo de médias horárias, diárias, mensais e anuais. A Tabela 4.5 apresenta os critérios de representatividade dos parâmetros monitorados utilizados neste relatório.

Tabela 4.5 - Descrição dos critérios de representatividade dos parâmetros monitorados utilizados neste relatório.

Parâmetro a ser calculado	Critério de representatividade
Médias horárias	75% de dados válidos durante a hora
Médias de 24 horas	2/3 das medias horárias válidas durante as 24 horas
Media Mensal	2/3 das medias diárias válidas no mês
Media anual	1/2 das medias de 24 horas válidas para os quadrimestres janeiro-abril, maio-agosto e setembro-dezembro

Somente os resultados considerados representativos serão considerados nas análises neste relatório. Os resultados que não atendem aos critérios de representatividade não foram levados em consideração para as análises efetuadas, mas são apresentados nos gráficos e tabelas com a indicação “não representativos”.

5. Condições Meteorológicas na RMGV

Os poluentes atmosféricos estão sujeitos a processos de transporte e transformação afetados pelas condições meteorológicas que desempenham papel importante na caracterização dos eventos de poluição do ar, podendo influenciar o aumento ou diminuição das concentrações dos poluentes na atmosfera.

Por estar situada na região litorânea, a RMGV apresenta clima tropical quente (Aw), possuindo inverno ameno e seco, e verão chuvoso e quente, além disso, na região sudeste os ventos são predominantemente de NE favorecendo o transporte de umidade do oceano Atlântico Equatorial. Igualmente, as características do regime de vento na RMGV são influenciadas também por circulações de vento locais bastante distintos, como as brisas marinhas e terrestres (devido à proximidade com o oceano) e brisas de vale e montanha (devido à topografia acidentada), configurando variações significativas na meso e microescala.

Para a caracterização meteorológica da RMGV durante o ano de 2014, foram utilizados os dados medidos nas estações meteorológicas da RAMQAr. Apenas a estação Carapina (RAMQAr 2) possui estação meteorológica completa que possibilita a medição das seguintes variáveis: temperatura, umidade relativa, pressão atmosférica, radiação solar, precipitação, direção e velocidade do vento. As estações Vila Capixaba, Ibes e Enseada do Suá monitoram a direção e velocidade do vento e a estação Vila Capixaba monitora também temperatura e umidade relativa do ar.

A análise estatística descritiva dos dados meteorológicos medidos pela RAMQAr durante o ano de 2014 indicou elevado percentual de dados faltantes, principalmente dados de direção e velocidade do vento na estação Carapina. De acordo com os critérios de representatividade dos dados monitorados apresentados na Tabela 4.5 as médias calculadas foram consideradas não representativas nesta estação. Além disso, ressalta-se que não houve medição de vento na estação Cidade continental.

Desta maneira, optou-se por incluir a estação meteorológica de superfície (EMS) do Aeroporto de Vitória (SBVT 83649, Lat 20,25°S; Lon 40,28°W) que além de apresentar 96,1% dos dados de direção do vento e 98,53% dos dados velocidade do vento válidos em 2014, possui sua localização de acordo com os padrões e normas da Organização Meteorológica Mundial (OMM). Isso implica que essa estação pode ser

considerada isenta de qualquer alteração na direção e velocidade do vento devido à presença de barreiras ou edificações nas suas vizinhanças.

5.1. Precipitação

O Gráfico 5.1 apresenta a evolução mensal de chuva acumulada na estação Carapina em 2014, o qual apresenta 88,9% de dados medidos válidos. Observa-se que na maioria dos meses do ano choveu menos que a normal climatológica de Vitória (Gráfico 5.1), sendo que em alguns meses, como os meses do verão, destacaram-se pela ocorrência de chuva bem abaixo do esperado. O mês de outubro destacou-se pela ocorrência de grande precipitação, sendo que neste mês choveu 400,2 mm, mais do que o dobro do esperado.

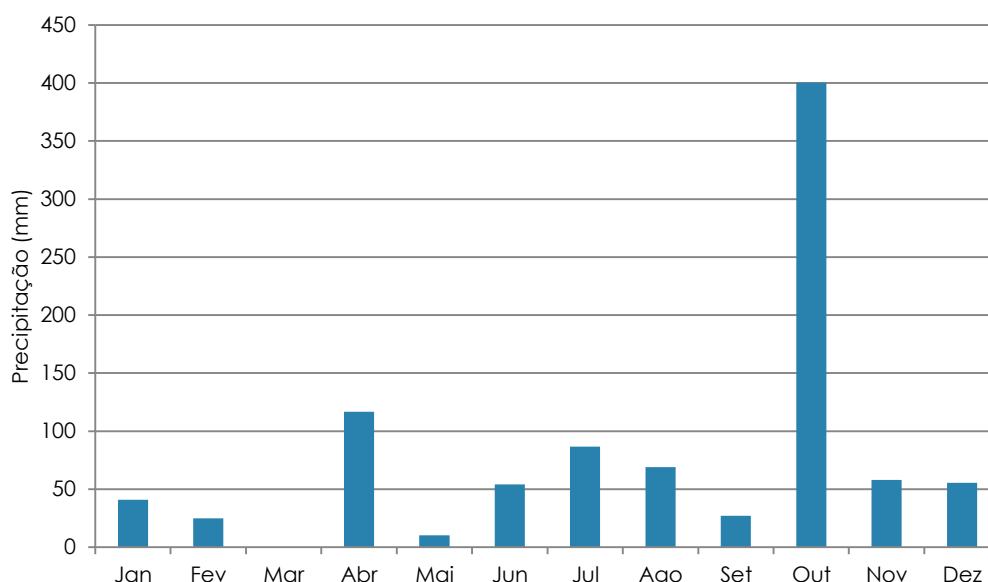


Gráfico 5.1 - Precipitação acumulada mensal na estação RAMQAr 2 - Carapina.

A partir do mês de outubro, inicia-se, normalmente, o período chuvoso na região que se estende até dezembro. Nessa época do ano, a atuação dos sistemas sinóticos favorece o aumento de precipitação, porém no ano de 2014 a ocorrência de chuva foi abaixo do esperado e a precipitação total anual foi de 943,20 mm, aproximadamente 309,1 mm abaixo da normal climatológica da região, do qual, aproximadamente, 43% ocorreram no mês de outubro.

A formação de um sistema de alta pressão subtropical do Atlântico Sul (ASAS) no sudeste do país contribuiu para um baixo índice de precipitação no período que tem como característica ser mais chuvoso (primavera e verão). A geração deste sistema de alta pressão impediu a formação de nuvens e bloqueou a passagem da zona de convergência do Atlântico Sul (ZCAS) no sudeste do país (MORENGO *et al.*, 2015).

Importante salientar que o mês de outubro houve um alto índice de precipitação devido à presença de um vórtice ciclônico de altos níveis (VCAN) (CPTEC – INPE, 2014).

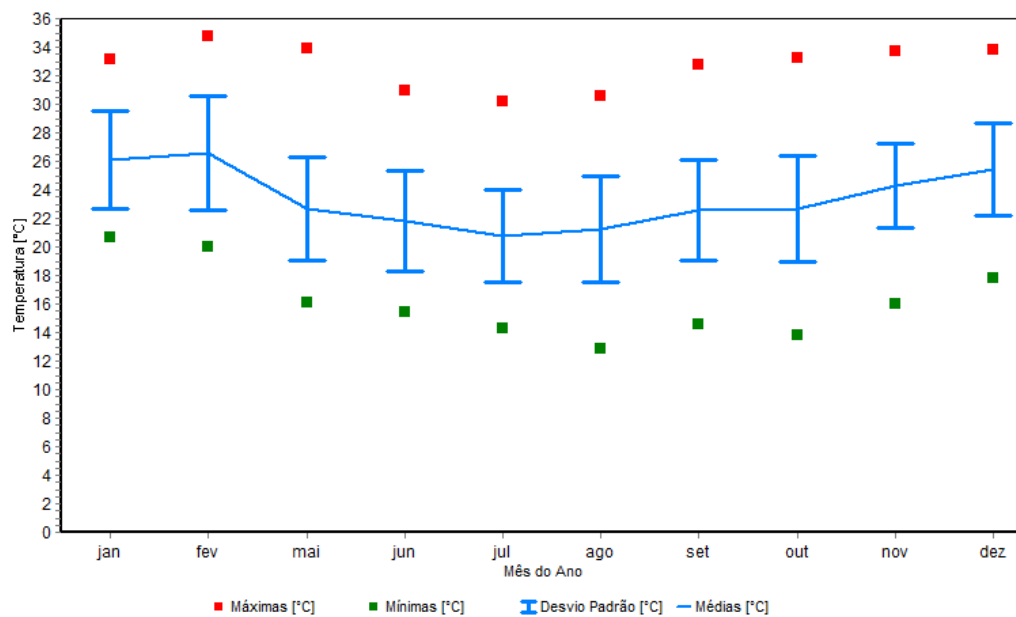
5.2. Temperatura

O Gráfico 5.2 (a) e (b) apresentam os valores médios mensais de temperatura média, máxima e mínima horária em 2014 para as estações Carapina e Vila Capixaba, respectivamente. Ressalta-se que 73,7% dos dados medidos foram considerados válidos para as duas estações, isso quer dizer que o número de dados válidos não alcançou o mínimo necessário de 75% para classificar essas estações como representativas da região.

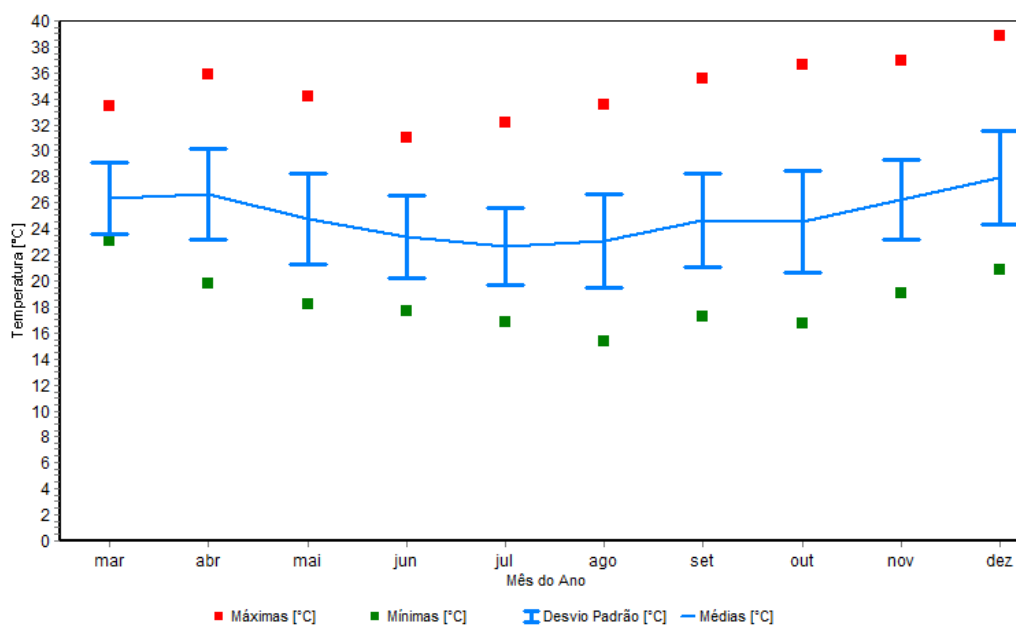
As médias mensais da temperatura do ar ao longo de 2014 não apresentaram grandes variações. A temperatura média anual em Carapina foi 23,1°C, um pouco abaixo da normal climatológica (24,2°C), e em Vila Capixaba foi 24,9°C, ligeiramente superior à normal climatológica. Essa variação de temperaturas observada entre as duas estações pode ser explicada devido à posição geográfica das estações que são afetadas de forma diferente pelas circulações meteorológicas locais. A estação Carapina está localizada na região litorânea da RMGV, ou seja, sofre influência direta da brisa marítima que atua na região costeira e intensifica a velocidade do vento, traz umidade do oceano e, conseqüentemente, diminui a temperatura do ar no continente.

As maiores temperaturas foram registradas no mês de fevereiro na estação de Carapina, 34,7°C, e no mês de dezembro na estação Vila Capixaba, 38,8°C. A temperatura mínima ocorreu no mês de agosto nas duas estações, 12,9 °C em Carapina e 15,4°C em Vila Capixaba. É importante ressaltar que esses dois valores extremos de máxima e mínima temperatura extrapolaram os valores médios das normais climatológicas para temperatura máxima (29,6°C no mês de fevereiro) e temperatura mínima (18,8°C no mês de julho).

Devido à localização da RMGV em região tropical, as maiores diferenças de temperatura são observadas entre as estações de inverno e verão (Gráfico 5.3) (a) e (b). Os valores máximos de temperatura durante todo o ano ocorrem entre 12h e 14h, período que coincide com a maior incidência de radiação solar na superfície. Ressalta-se que a estação Vila Capixaba não possui dados de medição de Temperatura para o verão no ano de 2014.

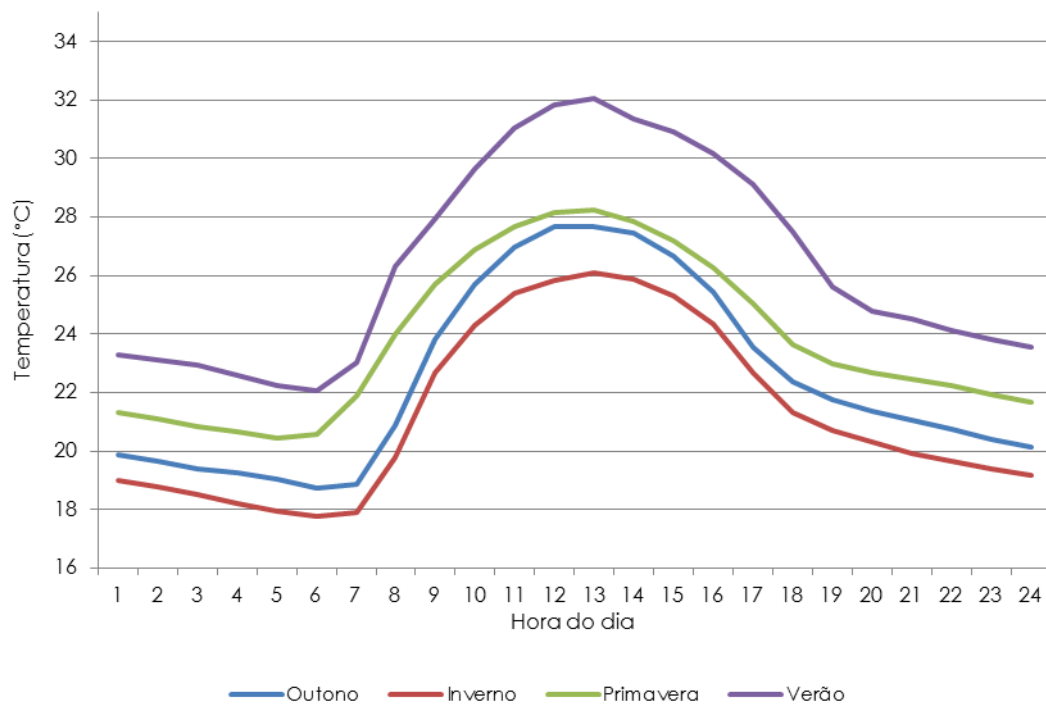


(a) RAMQAr 2 - Carapina

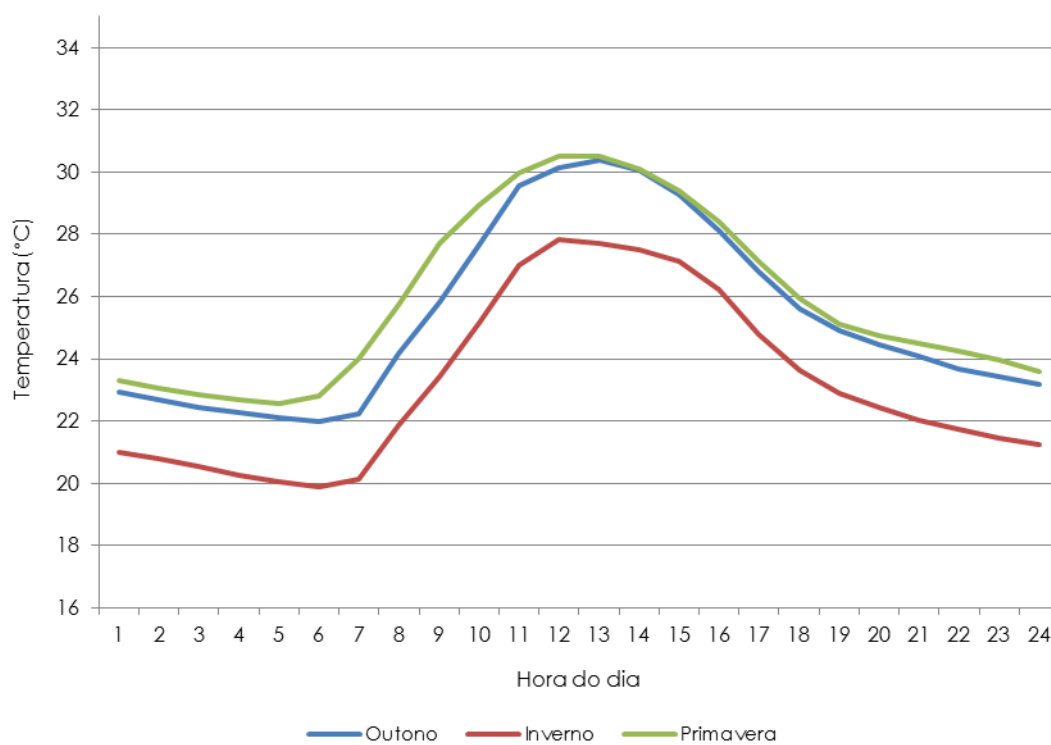


(b) RAMQAr 8 - Vila Capixaba

Gráfico 5.2 - Temperatura média mensal, máxima e mínima nas estações da RAMQAr.



(a) RAMQAr 2 - Carapina



(b) RAMQAr 8 - Vila Capixaba

Gráfico 5.3 - Temperatura média horária por estações do ano nas estações da RAMQAr.

5.3. Pressão Atmosférica

A variação média mensal da pressão atmosférica apresenta comportamento sazonal, sendo que as altas pressões estão presentes sobre a região durante o período de inverno que está relacionado à migração dos centros de alta pressão do oceano para o continente e as pressões mais baixas ocorrem nos meses de verão quando acontece a migração dos centros de alta pressão no sentido inverso (Gráfico 5.4).

As variações de pressão ao longo do ano são inferiores a 10 mbar. A pressão atmosférica média anual foi 1.012,4 mbar, semelhante a normal climatológica da região. A estação Carapina apresentou 87,8% de dados medidos válidos para o ano de 2014.

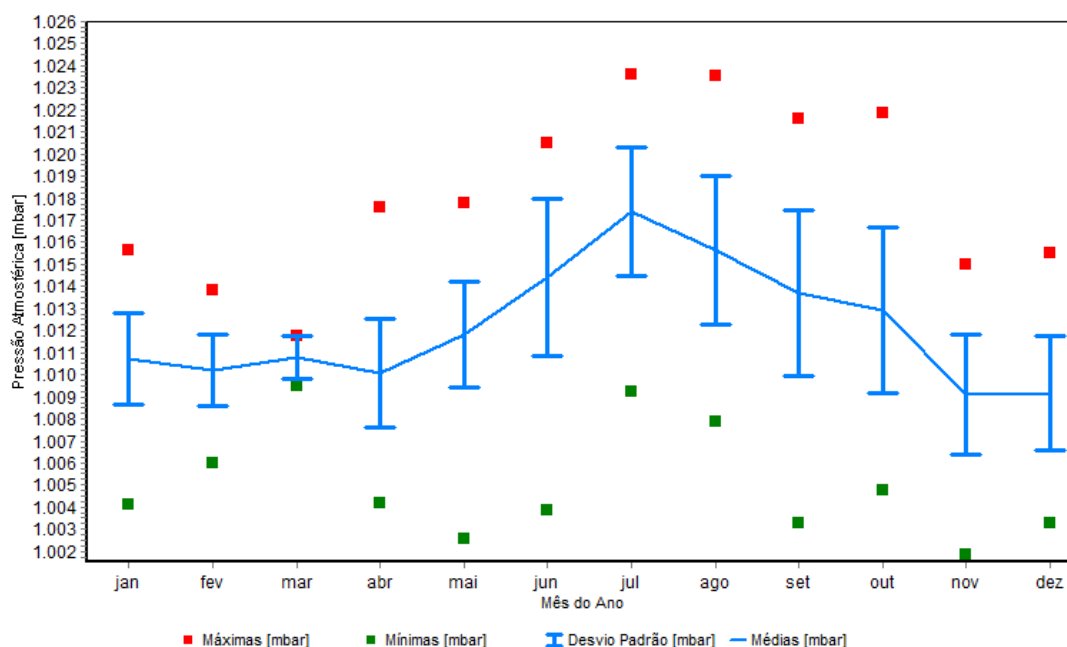


Gráfico 5.4 - Pressão atmosférica média mensal, máxima e mínima na estação RAMQAr 2 - Carapina.

5.4. Radiação Solar

A radiação solar indica o fluxo de energia solar incidente sobre uma determinada área. Os Gráficos 5.5 e 5.6 apresentam, respectivamente, as médias horárias e mensais de radiação solar, monitoradas na estação Carapina, com um comportamento típico, com máximos que ocorrem ao meio dia. O fluxo de radiação médio incidente em Carapina foi 260 W/m², porém somente 49,2% dos dados medidos foram considerados válidos, isso quer dizer que o número de dados válidos está muito abaixo do mínimo

necessário de 75% para classificar essas estações como representativas da região. Ressalta-se que a estação Carapina não possui dados de medição de radiação Solar para o outono no ano de 2014.

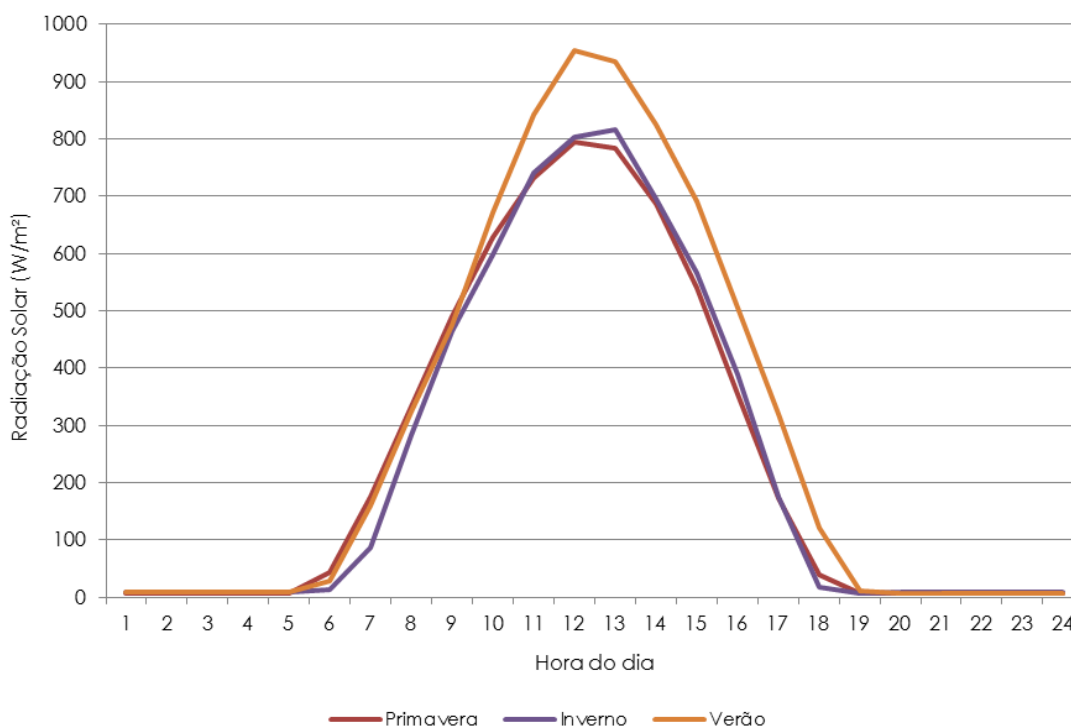


Gráfico 5.5 - Radiação solar média horária nos períodos de solstício e equinócio do ano na estação RAMQAr 2 - Carapina.

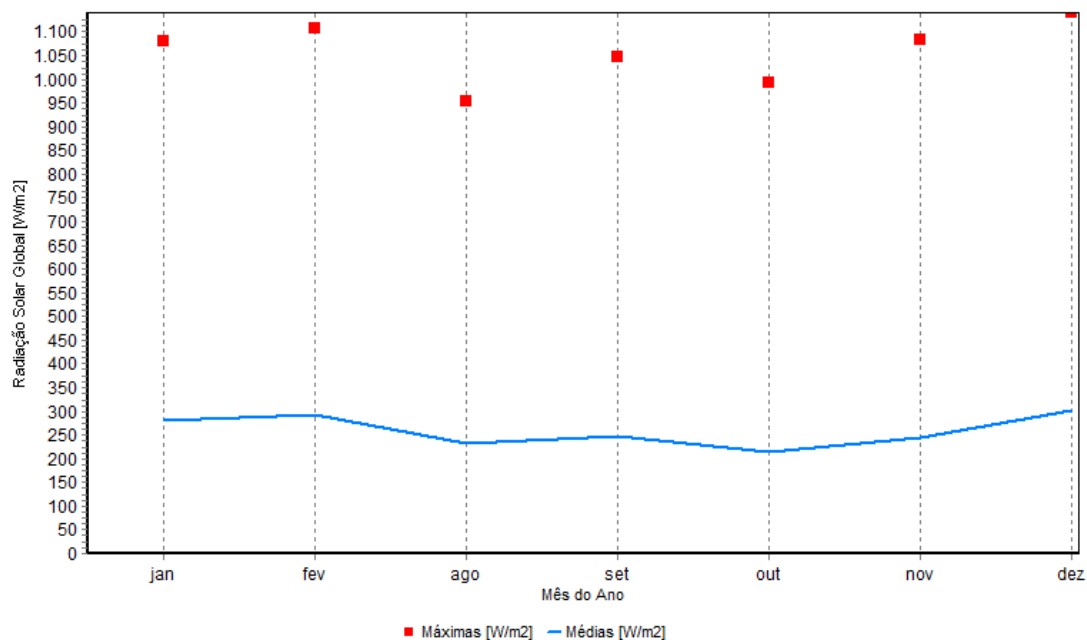


Gráfico 5.6 - Radiação solar média mensal e máxima na estação RAMQAr 2 - Carapina.

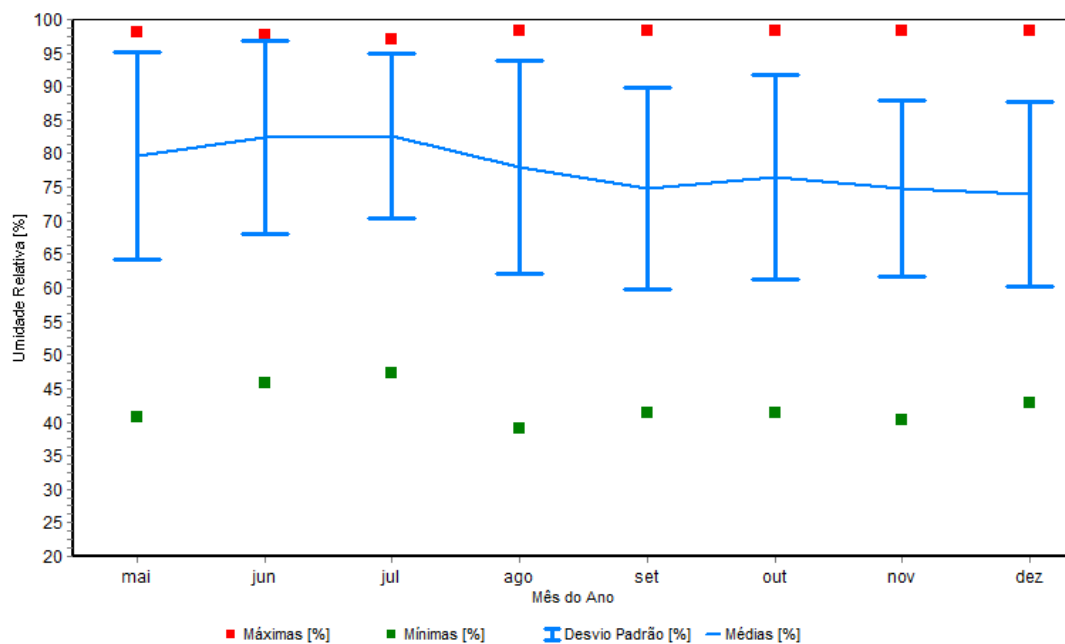
5.5. Umidade

Os Gráficos 5.7 e 5.8 a apresentam, respectivamente, as análises de umidade média horária nos período de solstício e equinócio do ano e as médias e máximas mensais nas estações Carapina e Vila Capixaba. Ressalta-se que em ambas as estações o número de dados válidos não alcançou o mínimo necessário de 75% para classificar essas estações como representativas da região, sendo considerado 65,11% de dados válidos para a estação Carapina e 70,43% para a estação Vila Capixaba.

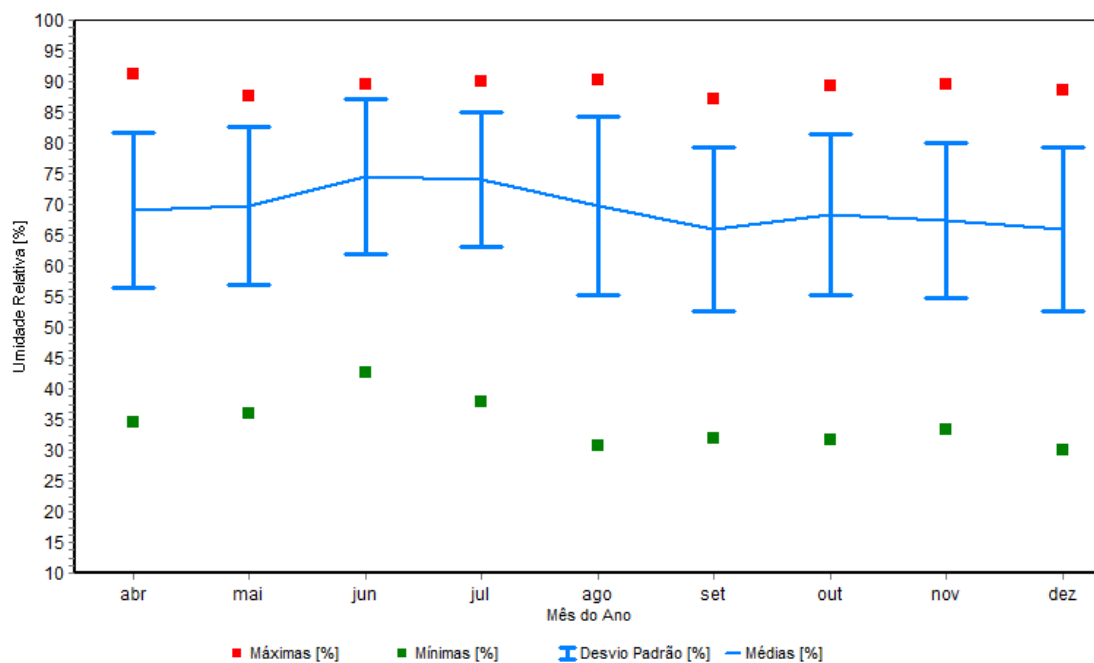
A umidade relativa do ar mantém-se elevada durante todo o ano na RMGV, condição típica de região litorânea e tropical, apresentando média anual igual a 77,5% na estação de Carapina e 73,9% em Vila Capixaba. O ciclo horário da umidade relativa do ar varia de forma inversamente proporcional ao ciclo horário de temperatura, com valores mais altos durante o período noturno e valores mínimos durante o período de maior insolação, em torno do meio dia.

Diferentemente dos outros parâmetros analisados anteriormente, a umidade relativa do ar não apresenta comportamento sazonal definido nessa região devido a sua posição geográfica. Ressalta-se que as estações Carapina e Vila Capixaba não possuem dados de medição de Umidade Relativa para o verão no ano de 2014.

Na estação Carapina, a umidade relativa média observada foi 77,9%, coincidindo com a normal climatológica e na estação Vila Capixaba foi 69,3%. A diferença de umidade apresentada entre as duas estações ocorre devido à proximidade da estação Carapina ao oceano. Vila Capixaba apresentou valores abaixo da normal climatológica. A média anual dos valores extremos variou entre 39,2% (UR mínima) e 98,2% (UR máxima) na estação Carapina e 30,0 (UR mínima) de 91,2% (UR máxima) em Vila Capixaba, sendo o mês de agosto mais seco em Carapina e dezembro em Vila Capixaba. Esses meses secos, com baixa umidade relativa do ar e pouca chuva, podem promover piora significativa nos níveis de poluição atmosférica, além de agravar doenças respiratórias e inflamações nos olhos.

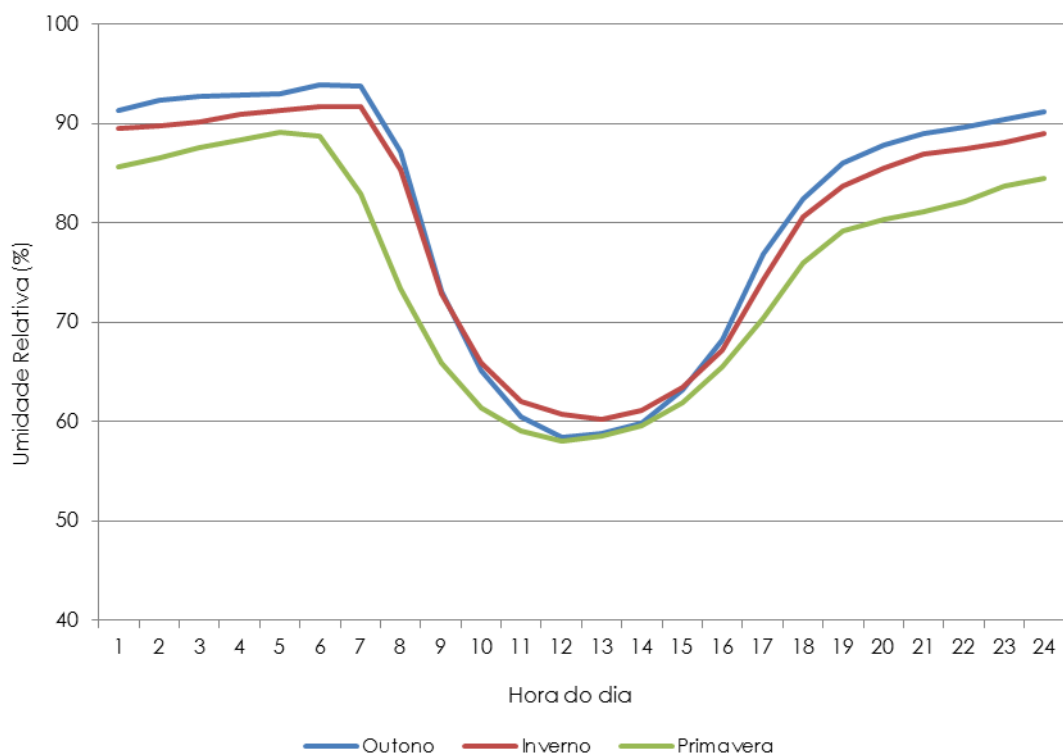


(a) RAMQAr 2 - Carapina

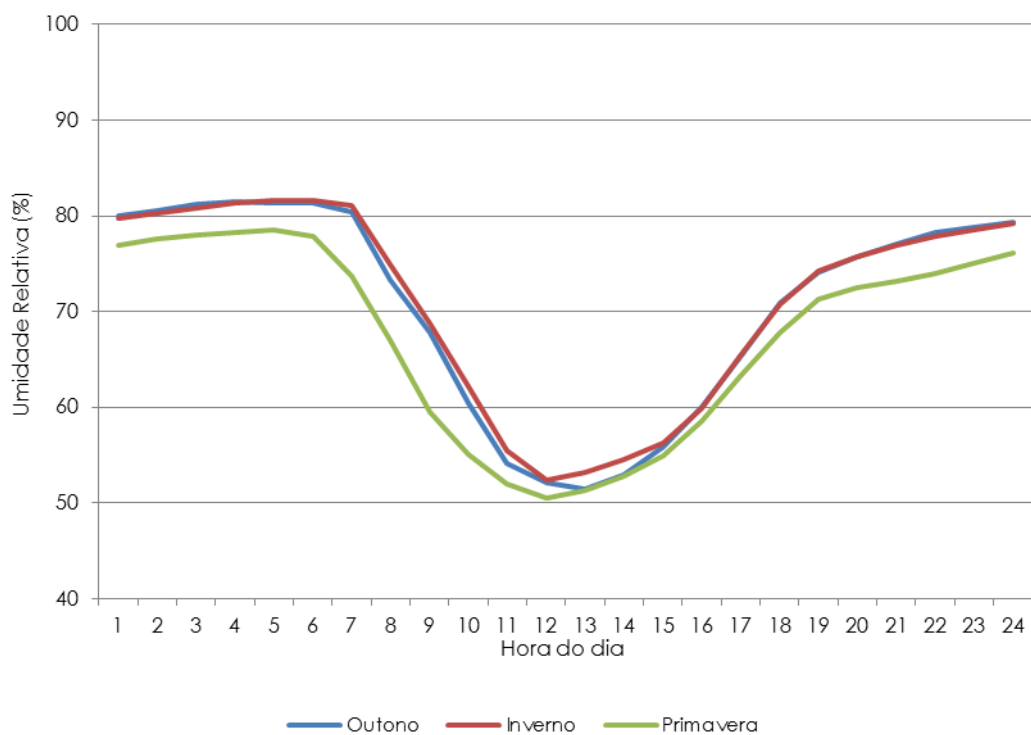


(b) RAMQAr 8 - Vila Capixaba

Gráfico 5.7 - Umidade relativa média horária nos períodos de solstício e equinócio nas estações da RAMQAr.



(a) RAMQAr 2 - Carapina



(b) RAMQAr 8 - Vila Capixaba

Gráfico 5.8 - Umidade relativa média mensal, máxima e mínima nas estações RAMQAr.

5.6. Vento

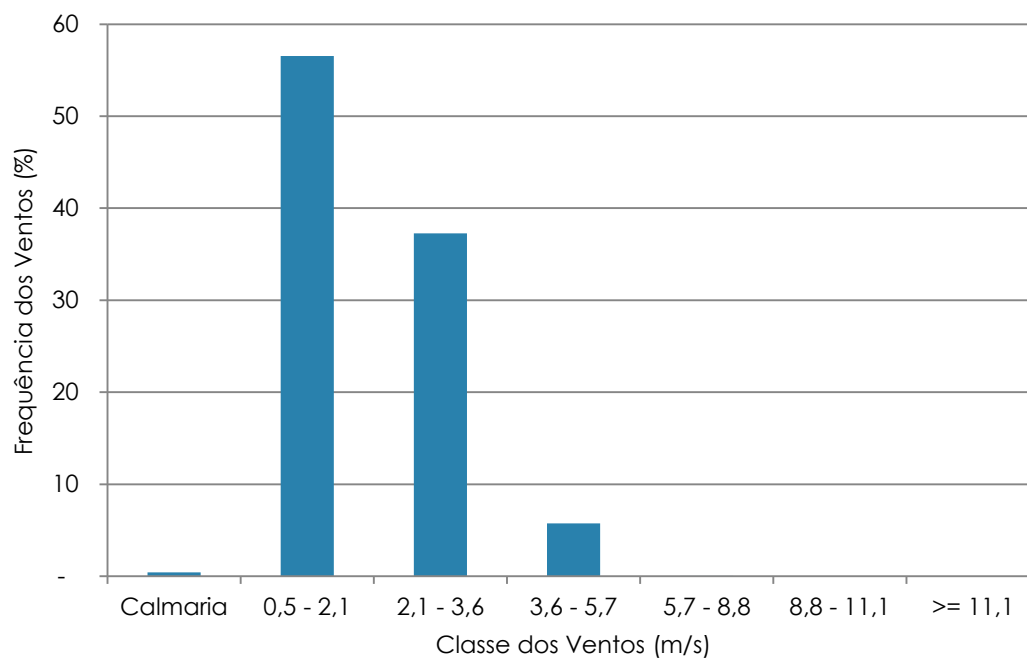
O regime de ventos na RMGV para o ano de 2014 foi analisado considerando os dados medidos nas estações Vila Capixaba, Enseada do Suá e Ibes, além dos dados medidos na estação meteorológica de superfície do Aeroporto de Vitória (SBVT 83649).

Evidencia-se que somente 49,2% dos dados medidos foram considerados válidos na estação Carapina e que por isso, de acordo com os critérios adotados para análise da representatividade dos dados de monitoramento apresentados na Tabela 4.5 não são apresentadas neste relatório as análises dos dados medidos nesta estação. Além disso, ressalta-se que não houve medição de vento na estação Cidade continental.

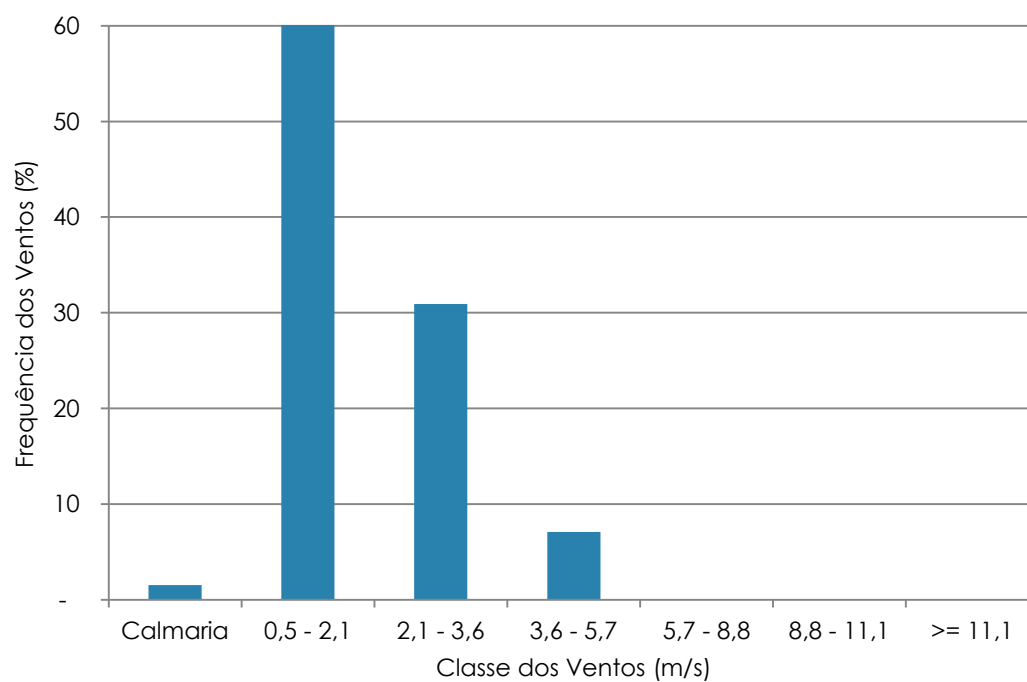
As velocidades médias nas estações Cariacica, Enseada do Suá e Ibes, foram 2,01 m/s, 1,95 m/s, 2,32 m/s, respectivamente e na estação Aeroporto foi de 3,9 m/s. Observa-se que a estação Aeroporto apresenta velocidades maiores que as outras estações, isso ocorre devido à posição da estação Aeroporto que não está influenciada por barreiras físicas e rugosidade urbana. De acordo com a classificação de intensidade dos ventos de Beaufort, a velocidade média do vento das estações RAMQAr apresenta grau 2, classificada como Brisa leve, e na estação Aeroporto apresenta grau 3, classificada como brisa suave.

O Gráfico 5.9 (a), (b), (c) e (d) apresentam a frequência de ocorrência de velocidade do vento na RMGV ao longo do ano de 2014 para as estações Vila Capixaba, Enseada do Suá, Ibes e Aeroporto.

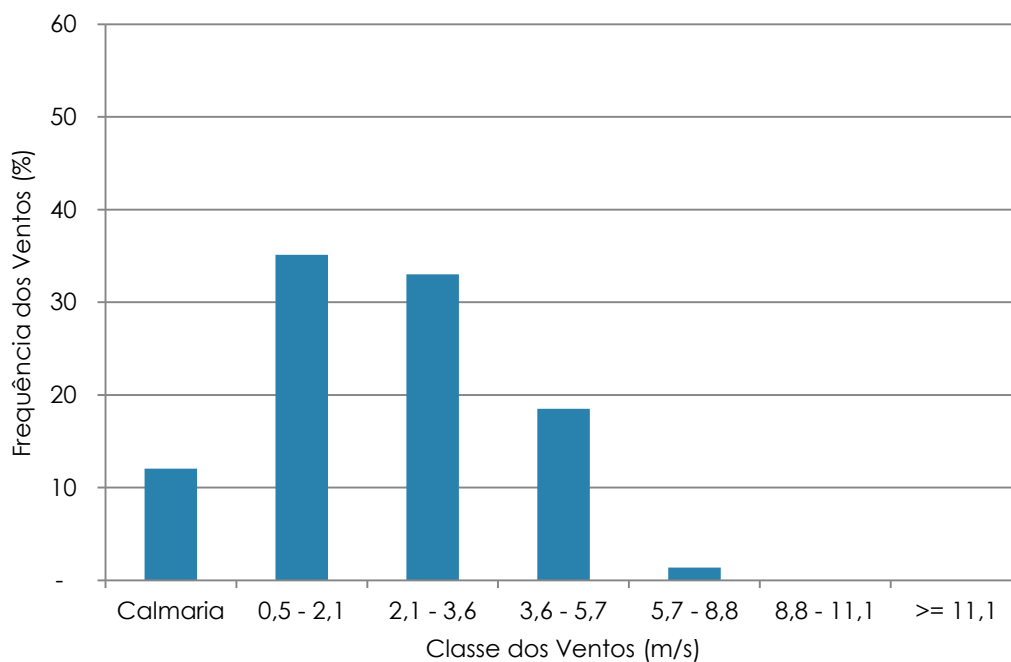
Observa-se que as estações urbanas apresentam maiores ocorrências de calmarias e ventos fracos, sendo que as estações da RAMQAr sofrem mais a influência da rugosidade que a região urbana exerce sobre o vento. A estação Aeroporto possui menos interferência da área urbana e para esta estação observa-se que em 2014 houve a predominância de ventos em quatro faixas de velocidade: 20,5% se encontram entre as velocidades 0,5 e 2,1 m/s, 24,0% entre 2,1 e 3,6 m/s, 24,9% entre 3,6 e 5,7 m/s e 23,3% das velocidades se encontram entre 5,7 e 8,8 m/s. O restante, 7,3%, está distribuído entre calmaria e velocidades acima de 8,8m/s.



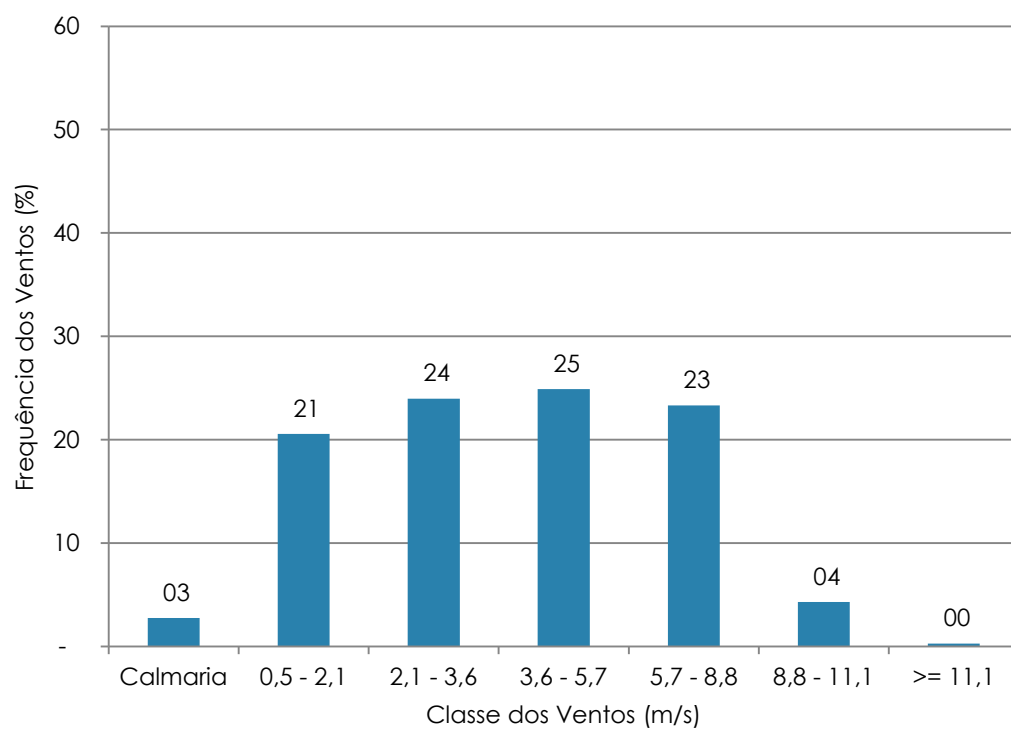
(a) RAMQAr 8 - Vila Capixaba



(b) RAMQAr 4 - Enseada do Suá



(c) RAMQAr 6 - Ibes



(d) Aeroporto de Vitória - INMET

Gráfico 5.9 - Distribuição de frequência de ocorrência das classes de vento nas estações avaliadas da RMGV.

5.6.1. Rosa dos Ventos

O Gráfico 5.10 apresenta as rosas dos ventos anual obtidas das análises das séries temporais de direção e velocidade do vento medidos nas estações Vila Capixaba, Enseada do Suá, Ibes, e do Aeroporto de Vitória.

A estação Vila Capixaba e Enseada do Suá possuem um comportamento semelhante com relação às direções e velocidades dos ventos. Já a estação Ibes, apesar da influência da área urbana em seu entorno, se assemelha com o comportamento das direções dos ventos na estação Aeroporto.

As direções de vento do primeiro quadrante (0 a 90°) apresentaram maior frequência de ocorrência e velocidades mais altas nas quatro estações. No entanto, a estação Aeroporto apresentou velocidades superiores a 11,1 m/s, a estação Ibes velocidades inferiores a 8,8 m/s e as estações Vila Capixaba e Enseada apresentaram velocidades inferiores a 5,7 m/s, ambas na direção nordeste. Outra diferença que pode ser identificada é que as estações Aeroporto e Ibes indicam direções predominantes Norte-Nordeste (NNE), já as estações Vila Capixaba e Enseada possuem menos de 5% de frequência de ocorrência de ventos na direção norte, sendo a maior predominância das direções Nordeste (NE). É importante salientar nessa análise que a estação Aeroporto, conforme discutido anteriormente, apresenta velocidades maiores, devido à atuação da brisa marítima (ventos de Nordeste-Leste) e ausência de barreiras de vento, e porcentagem de ventos mais calmos predominante de Noroeste (NO), que ocorre durante o período noturno, originados pela atuação da brisa terrestre.

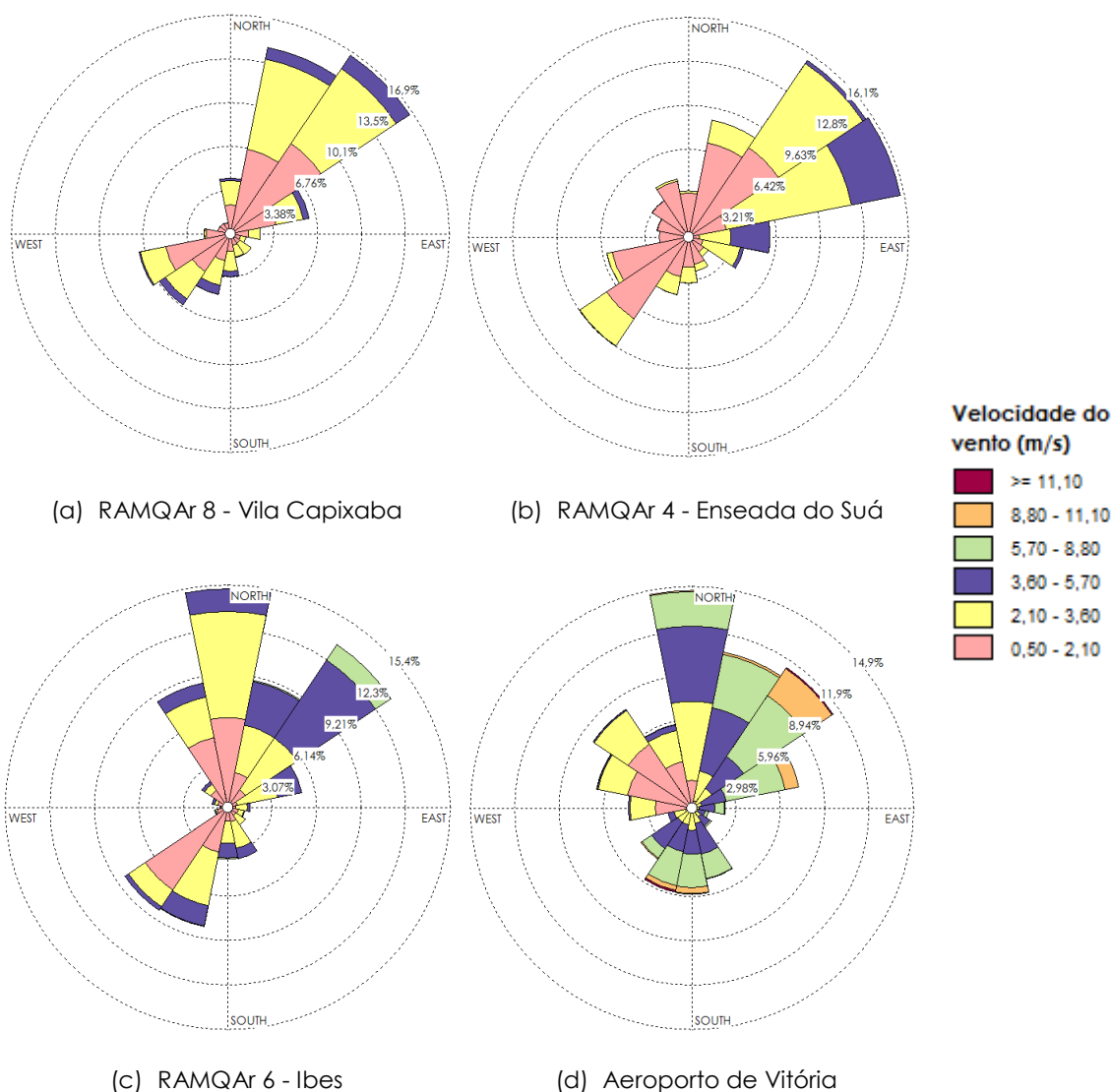


Gráfico 5.10 - Rosa dos ventos anual da RMGV.

Os Gráficos 5.11 a 5.22 apresentam as rosas dos ventos para os meses de janeiro a dezembro de 2014. Ressalta-se que a estação de Vila Capixaba não possui dados para os meses de janeiro e fevereiro do ano de 2014.

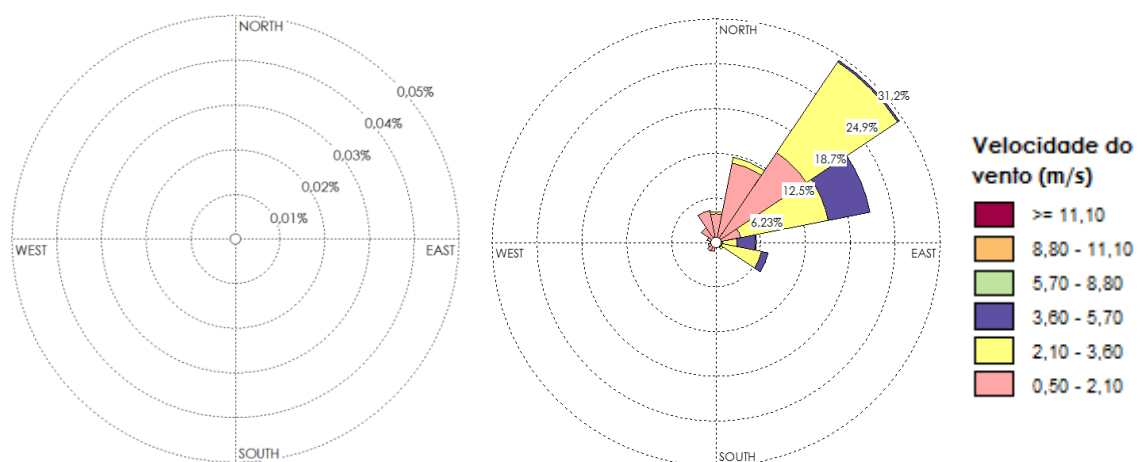
Pode-se notar a predominância dos ventos norte e nordeste nos meses de janeiro, fevereiro e março e o início de mudança da direção dos ventos dominantes no mês de abril quando se iniciam ventos sul e oeste, coerentemente a climatologia local que apresenta ventos de NE entre janeiro e março, ventos de sudoeste entre abril e julho.

Em junho observa-se que o vento teve um padrão anômalo com relação a sua direção predominante, alterando o seu padrão climatológico (ventos de sudoeste), apresentando uma maior frequência de ventos de oeste-norte na estação Aeroporto, norte-nordeste nas estações Enseada e Vila Capixaba e uma importante frequência

de ventos norte na estação Ibes (Gráfico 5.16). Em julho o padrão climatológico voltou a ocorrer, apresentando uma frequência maior nos ventos sudoeste (Gráfico 5.17).

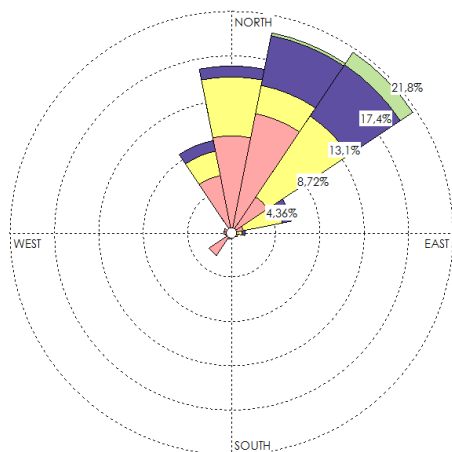
A partir do mês de agosto, se iniciam novamente a direção predominante do vento norte e nordeste, mantendo-se até dezembro (padrão climatológico da região). Essa variação no regime de vento local acontece devido às alterações das características climatológicas da ASAS. Segundo Cavalcanti *et al.* (2009), a alta subtropical oscila meridionalmente em função da época do ano, seguindo a marcha anual da radiação solar. No verão, esse sistema encontra-se mais ao sul e deslocado zonalmente para leste, menos intenso, e com valor médio de 1.009 mbar, favorecendo a predominância das direções N-NE. No inverno, a situação é oposta, a ASAS encontra-se mais intensa, com valores médios máximos de 1.023 mbar e o centro deslocado mais para o norte e oeste, atingindo assim a costa do Brasil. Esse comportamento climatológico da variação da direção predominante do vento pode ser observado nas estações avaliadas neste relatório. Porém, é necessário alguns cuidados ao considerar o uso das estações da RAMQAr para avaliar as condições meteorológicas médias da RMGV, devido o crescimento urbano dos últimos anos, muitas estações estão situadas em locais que causam interferência no monitoramento das variáveis meteorológicas, como a presença física de edificações e barreiras naturais que alteram a dinâmica local dos ventos.

Igualmente, ao longo do ano, observa-se uma variação sazonal da velocidade do vento. Nota-se que durante os meses de inverno, as velocidades são menores, isso decorre da climatologia local, devido à presença da ASAS próximo do continente que favorecem a predominância de ventos calmos, subsidência e inversão térmica.

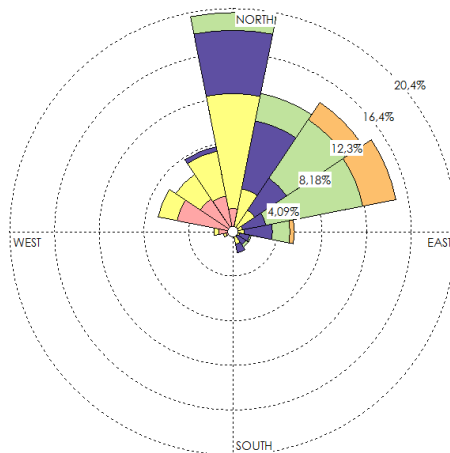


(a) RAMQAr 8 - Vila Capixaba
Sem dados neste mês

(b) RAMQAr 4 - Enseada do Suá

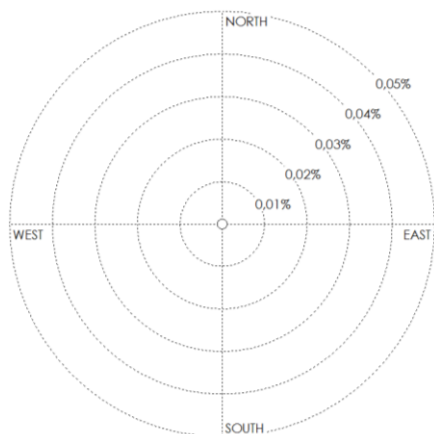


(c) RAMQAr 6 - Ibes

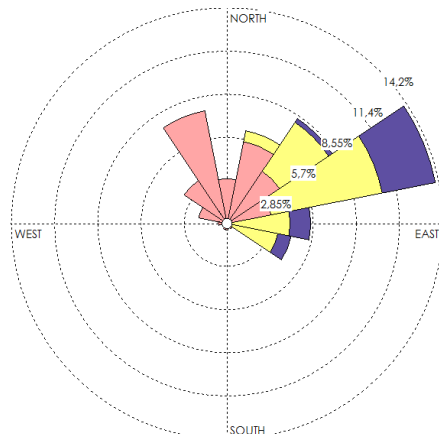


(d) Aeroporto de Vitória

Gráfico 5.11 - Rosa dos ventos para o mês de janeiro na RMGV.

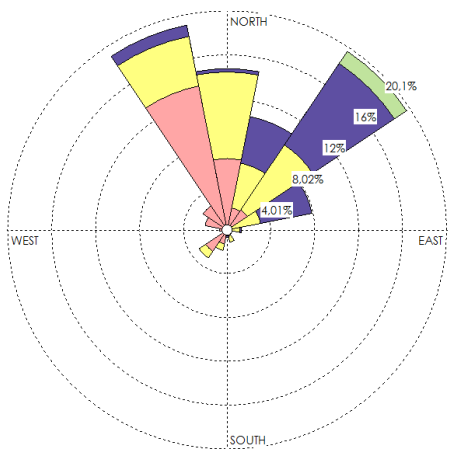
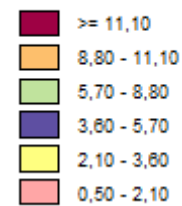


(a) RAMQAr 8 - Vila Capixaba
Sem dados neste mês

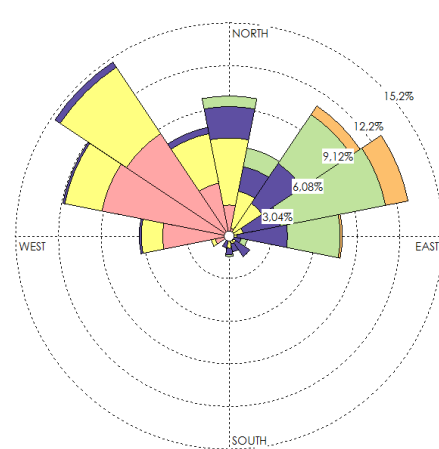


(b) RAMQAr 4 - Enseada do Suá

Velocidade do vento (m/s)



(c) RAMQAr 6 - Ibes



(d) Aeroporto de Vitória

Gráfico 5.12 - Rosa dos ventos para o mês de fevereiro na RMGV.

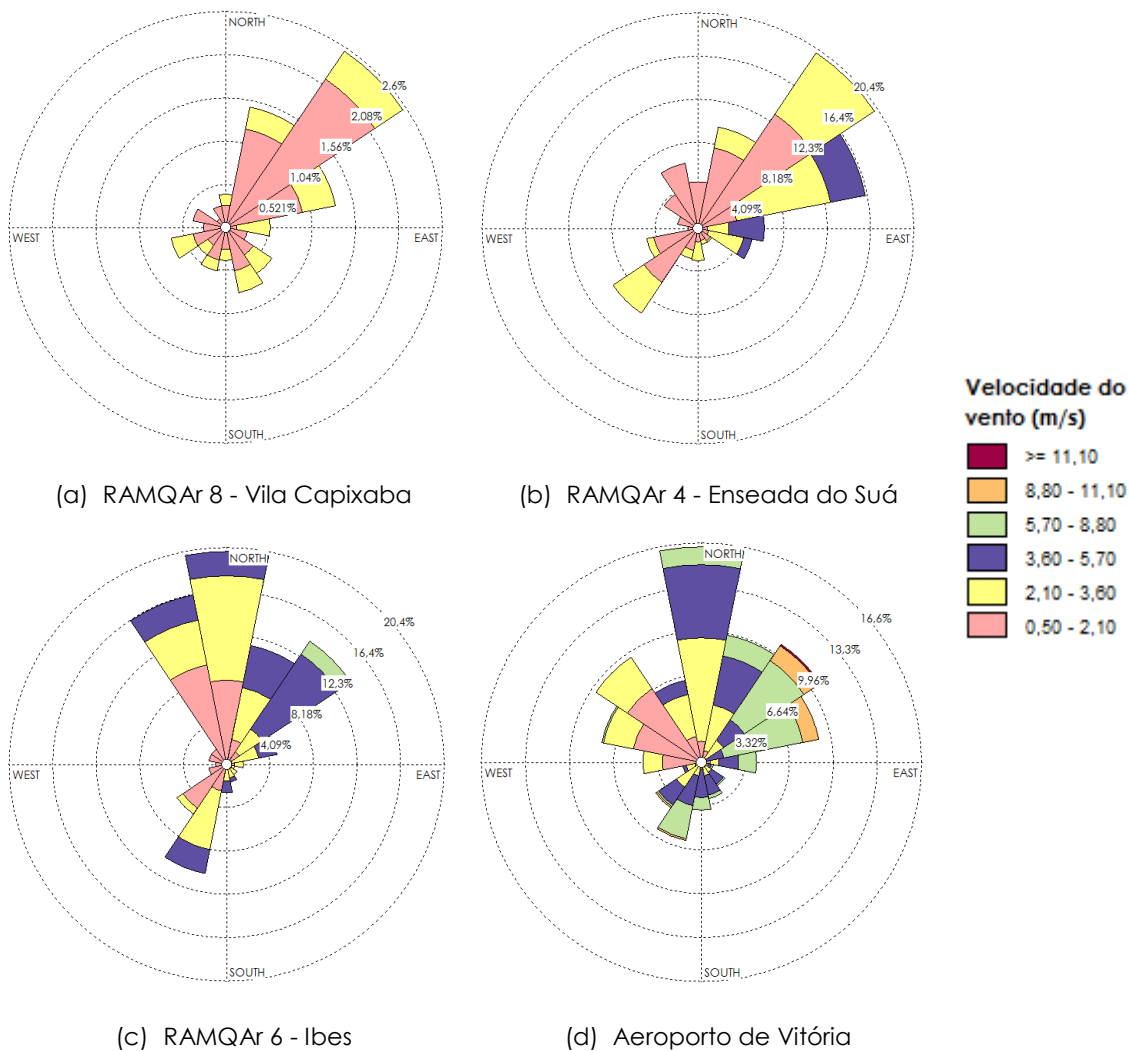
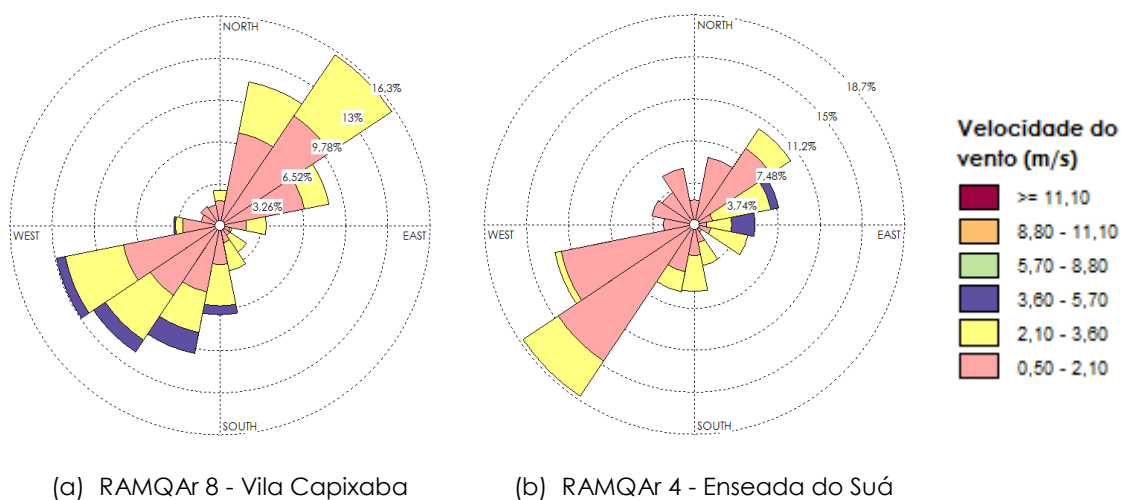
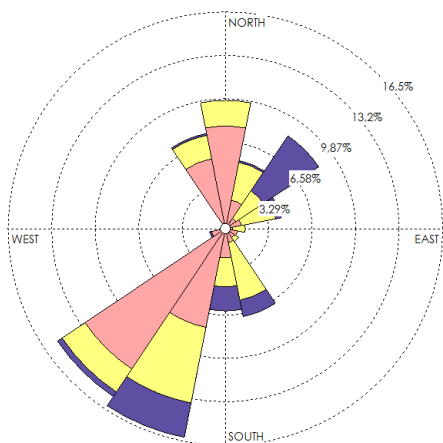
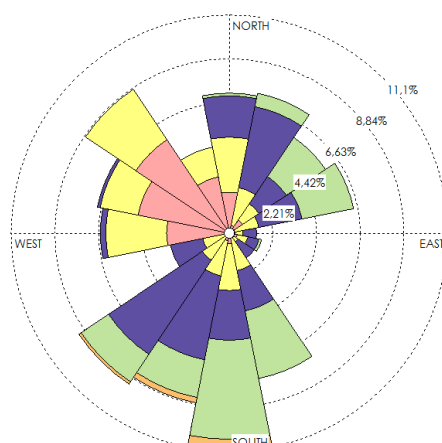


Gráfico 5.13 - Rosa dos ventos para o mês de março na RMGV.



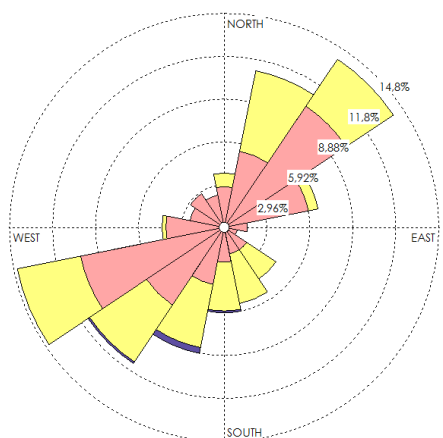


(c) RAMQAr 6 - Ibes

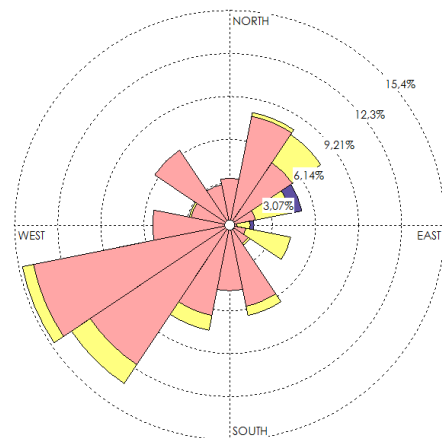


(d) Aeroporto de Vitória

Gráfico 5.14 - Rosa dos ventos para o mês de abril na RMGV.

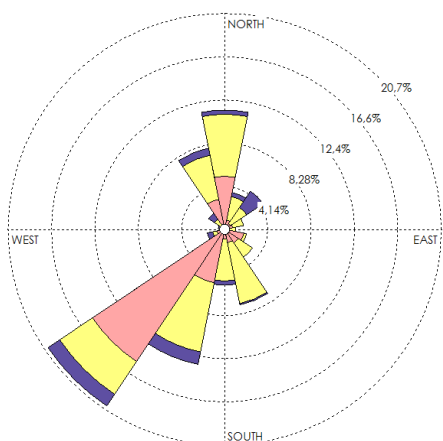
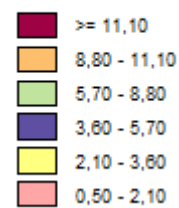


(a) RAMQAr 8 - Vila Capixaba

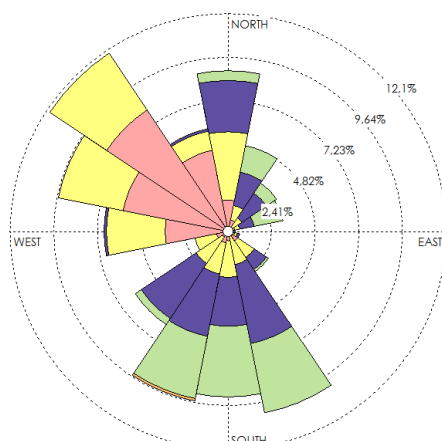


(b) RAMQAr 4 - Enseada do Suá

Velocidade do vento (m/s)

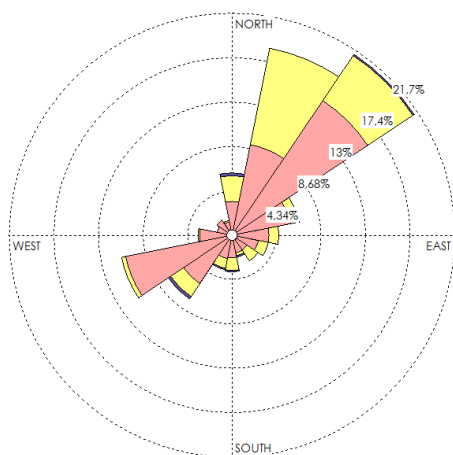


(c) RAMQAr 6 - Ibes

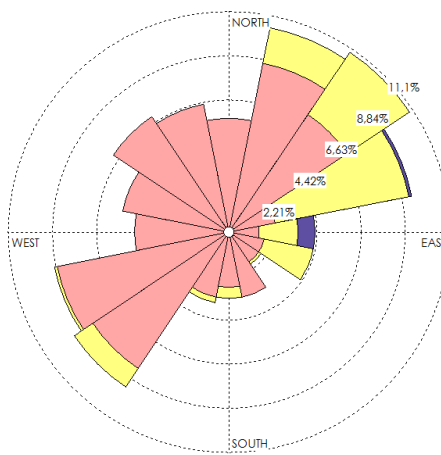


(d) Aeroporto de Vitória

Gráfico 5.15 - Rosa dos ventos para o mês de maio na RMGV.

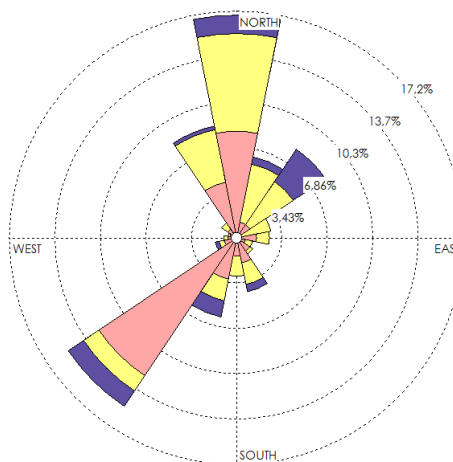
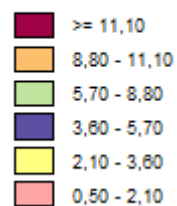


(a) RAMQAr 8 - Vila Capixaba

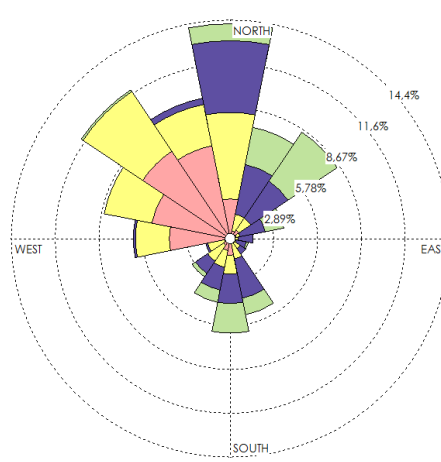


(b) RAMQAr 4 - Enseada do Suá

Velocidade do vento (m/s)

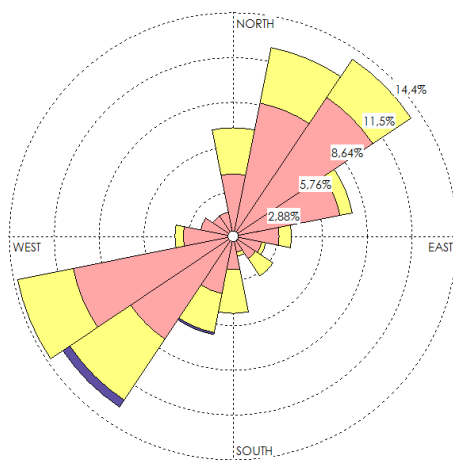


(c) RAMQAr 6 - Ibes

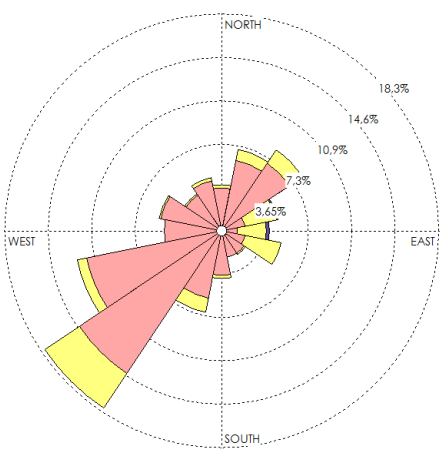


(d) Aeroporto de Vitória

Gráfico 5.16 - Rosa dos ventos para o mês de junho na RMGV.

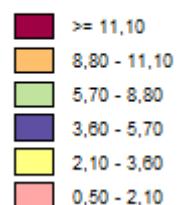


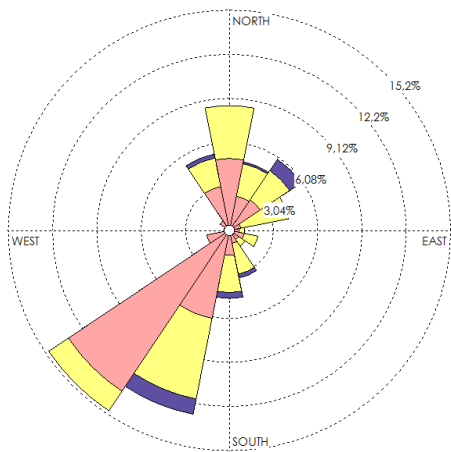
(a) RAMQAr 8 - Vila Capixaba



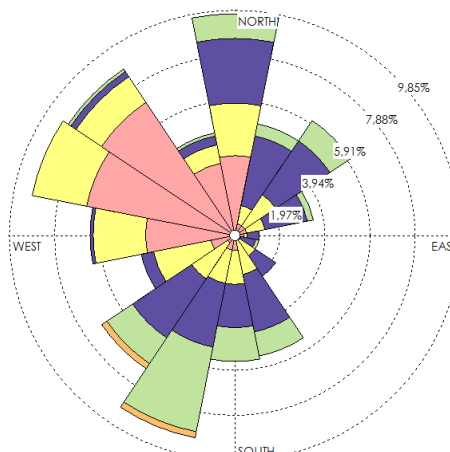
(b) RAMQAr 4 - Enseada do Suá

Velocidade do vento (m/s)



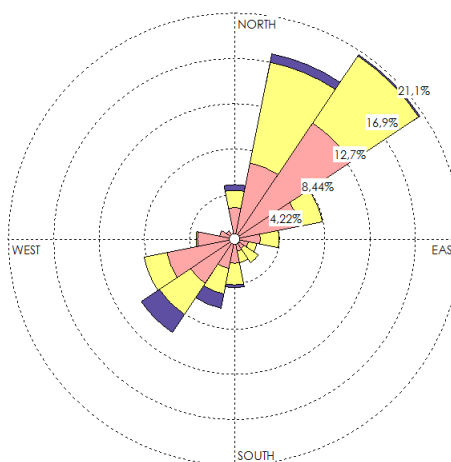


(c) RAMQAr 6 - Ibes

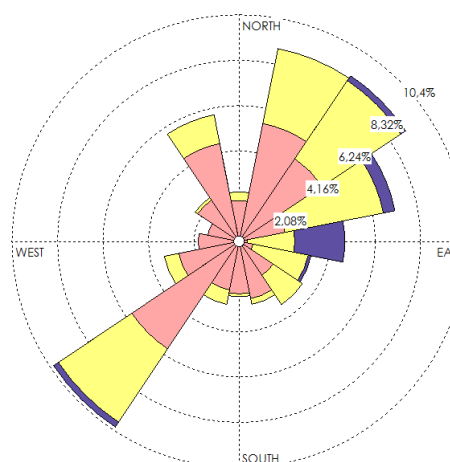


(d) Aeroporto de Vitória

Gráfico 5.17 - Rosa dos ventos para o mês de julho na RMGV.

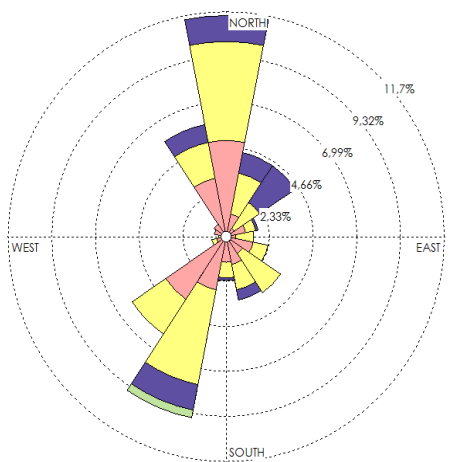
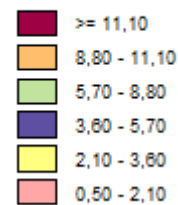


(a) RAMQAr 8 - Vila Capixaba

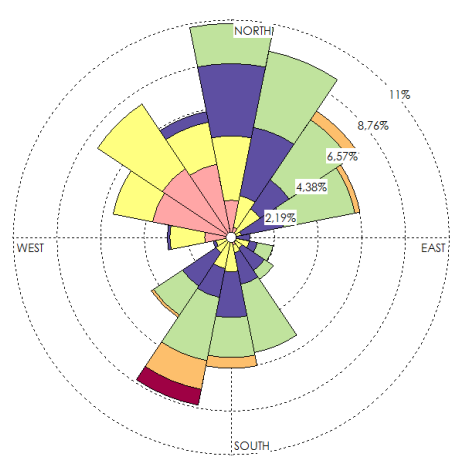


(b) RAMQAr 4 - Enseada do Suá

Velocidade do vento (m/s)

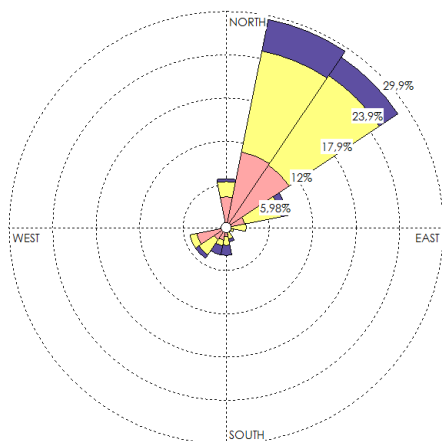


(c) RAMQAr 6 - Ibes

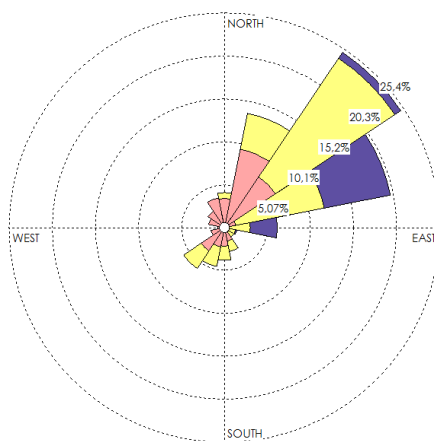


(d) Aeroporto de Vitória

Gráfico 5.18 - Rosa dos ventos para o mês de agosto na RMGV.

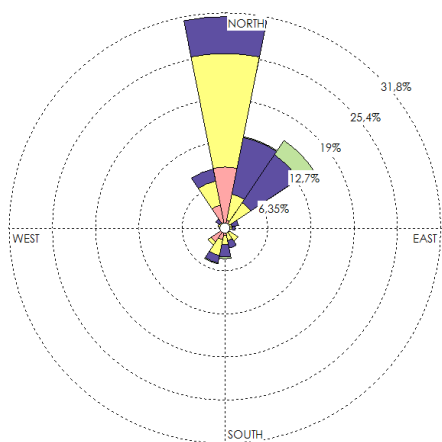
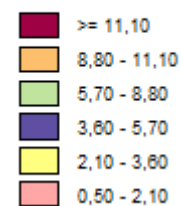


(a) RAMQAr 8 - Vila Capixaba

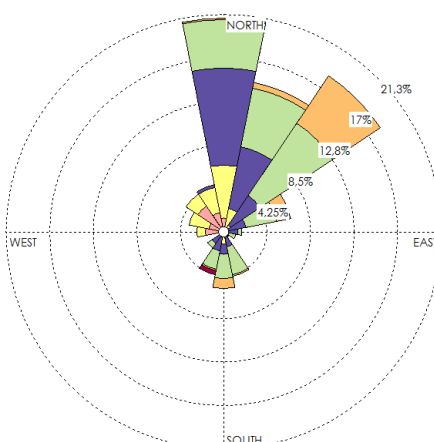


(b) RAMQAr 4 - Enseada do Suá

Velocidade do vento (m/s)

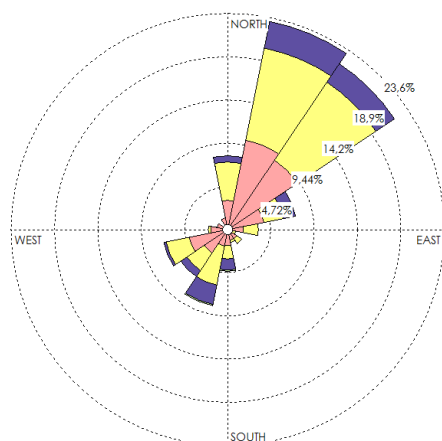


(c) RAMQAr 6 - Ibes

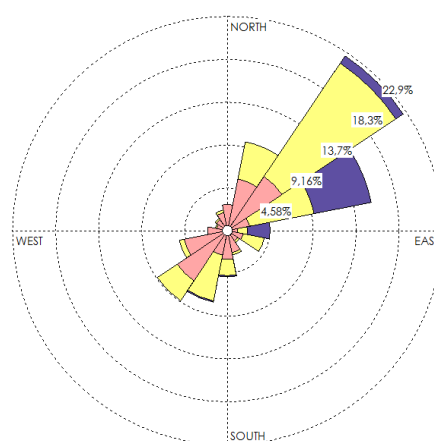


(d) Aeroporto de Vitória

Gráfico 5.19 - Rosa dos ventos para o mês de setembro na RMGV.

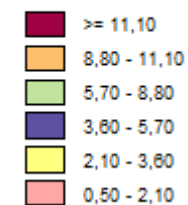


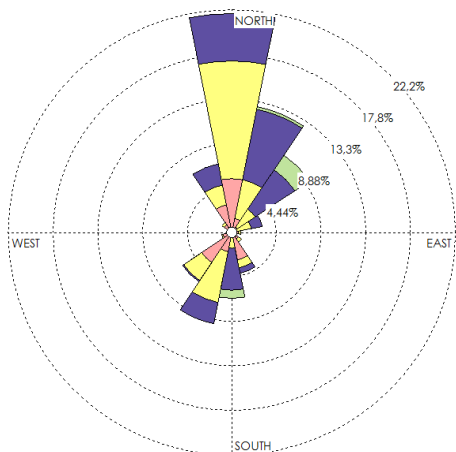
(a) RAMQAr 8 - Vila Capixaba



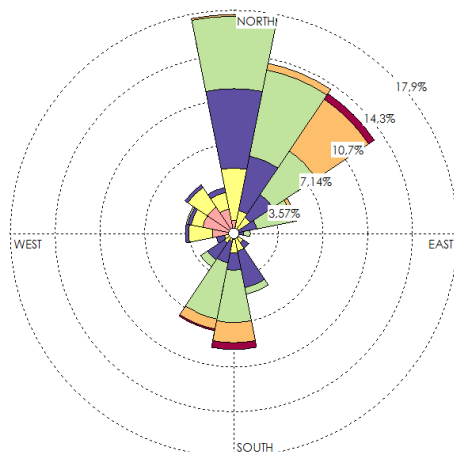
(b) RAMQAr 4 - Enseada do Suá

Velocidade do vento (m/s)



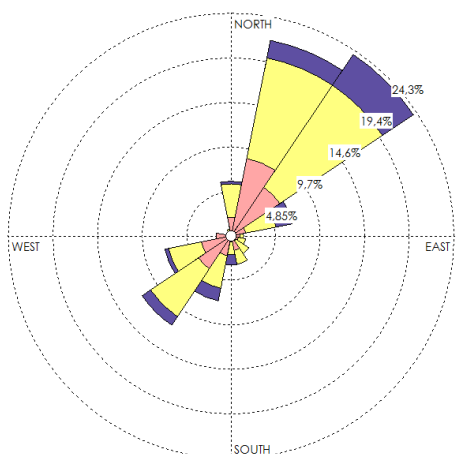


(c) RAMQAr 6 - Ibes

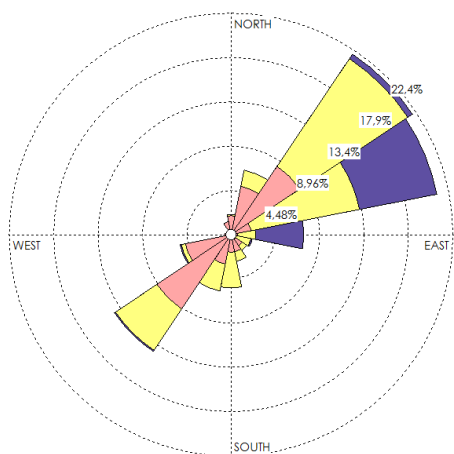


(d) Aeroporto de Vitória

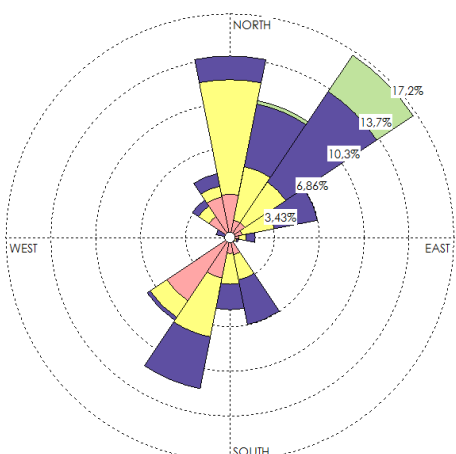
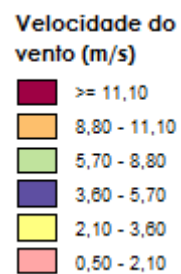
Gráfico 5.20 - Rosa dos ventos para o mês de outubro na RMGV.



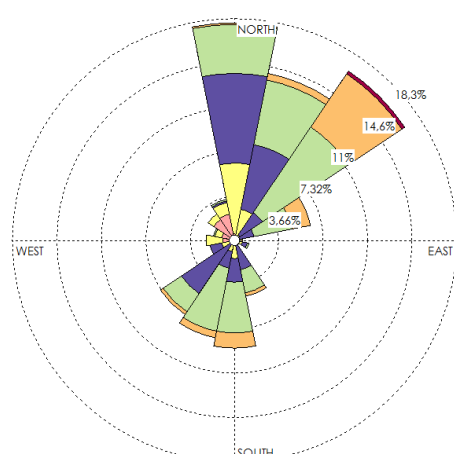
(a) RAMQAr 8 - Vila Capixaba



(b) RAMQAr 4 - Enseada do Suá



(c) RAMQAr 6 - Ibes



(d) Aeroporto de Vitória

Gráfico 5.21 - Rosa dos ventos para o mês de novembro na RMGV.

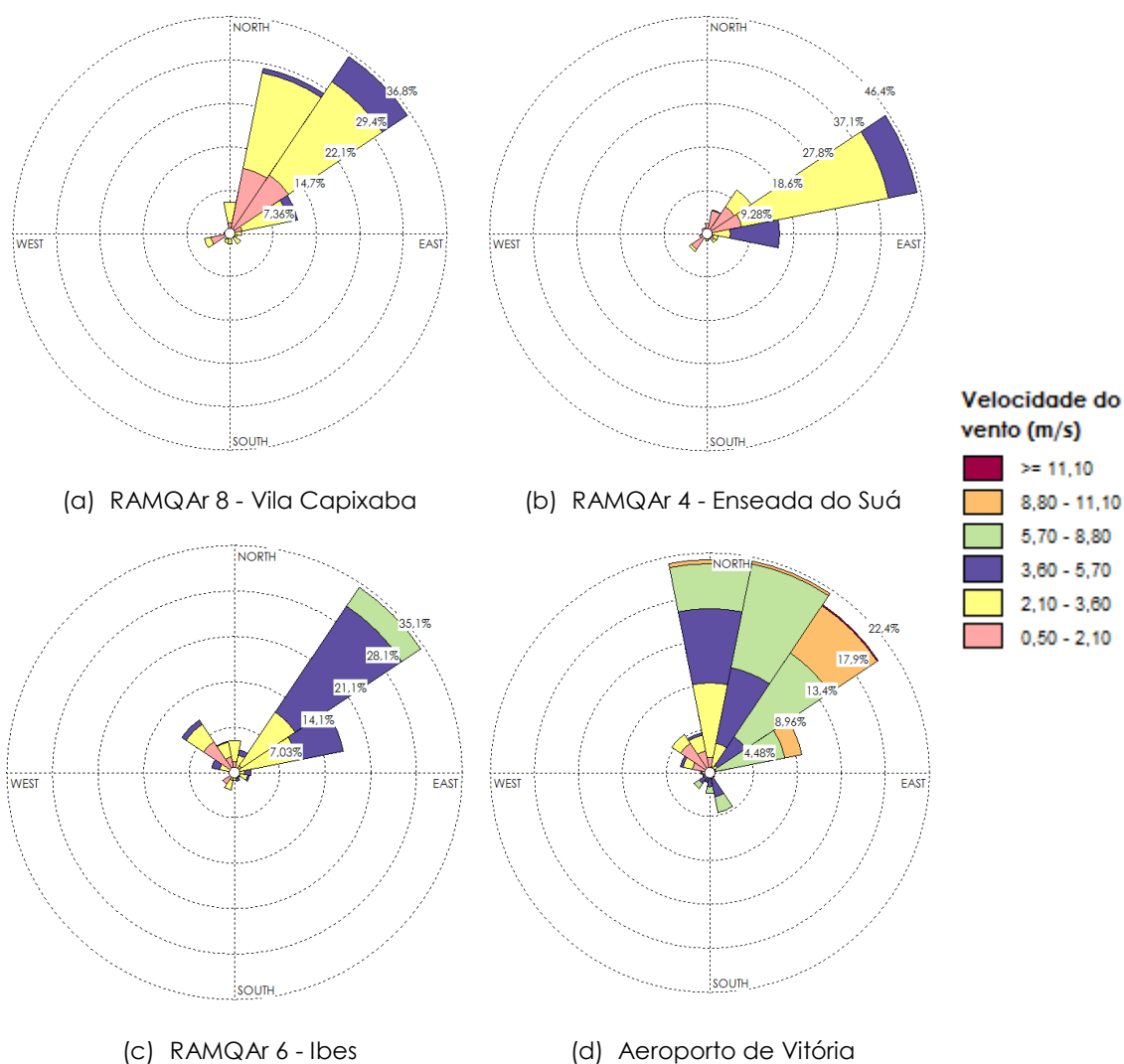


Gráfico 5.22 - Rosa dos ventos para o mês de dezembro na RMGV.

Com o objetivo de identificar as condições de dispersão atmosférica na RMGV em 2014, foi elaborada uma metodologia baseada nos critérios utilizados pela CETESB (2013) para a classificação de dias desfavoráveis, a qual considera apenas as condições meteorológicas para dispersão de poluentes primários. Os critérios para identificar dias desfavoráveis à dispersão adotados neste relatório são: (i) porcentagem de calmaria (velocidade do vento inferior a 0,5 m/s) durante o dia maior ou igual 25% e (ii) ausência de precipitação. Ambos os critérios (i e ii) devem ser atendidos simultaneamente.

Considerando os critérios acima descritos e os dados monitorados de vento na estação Aeroporto, pois esta estação não está influenciada por barreiras físicas e rugosidade urbana, e os dados monitorados de precipitação na estação Carapina, foram identificados apenas dois dias desfavoráveis à dispersão de poluentes na RMGV durante o ano de 2014, sendo registrados nos dias 24 de junho e 2 de julho. Como 2014

apresentou apenas dois dias desfavoráveis, foi avaliado o número de horas desfavoráveis à dispersão atmosférica (Gráfico 5.23).

Como esperado, o período de inverno apresentou maior número de horas desfavoráveis à dispersão de poluentes. Lembrando que 2014 foi um ano com déficit de chuva durante todos os meses, com exceção do mês de outubro. Os meses que apresentaram o maior número de horas desfavoráveis foram maio, junho e julho. Esses meses são considerados secos, apresentando menor quantidade de água no solo e, conseqüentemente, menor taxa de evaporação, que por sua vez irá influenciar na formação de nuvens convectivas, reduzindo, portanto, os movimentos turbulentos e a altura da camada limite, e contribuindo para a deterioração da qualidade do ar.

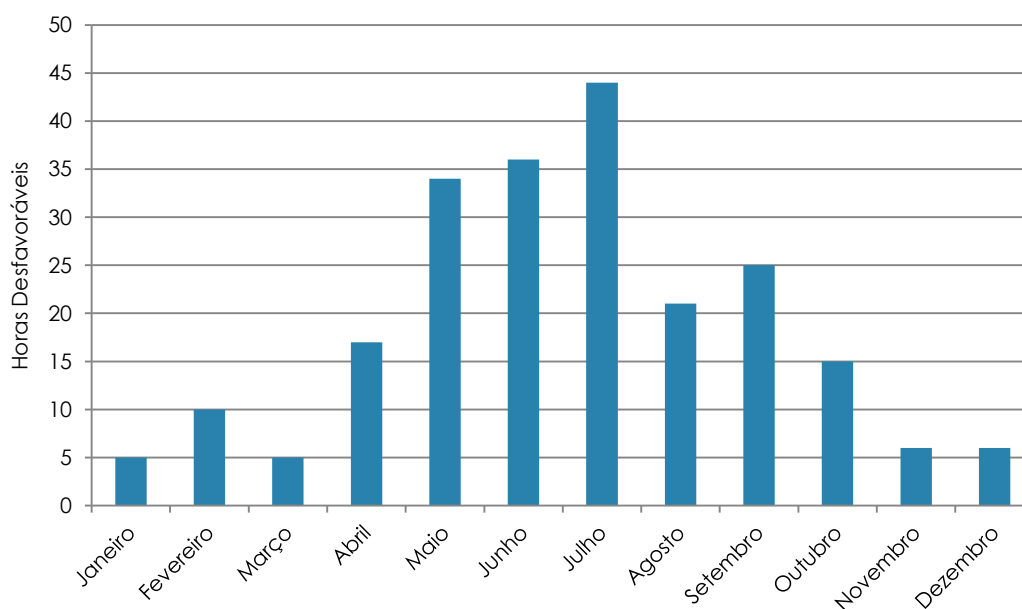


Gráfico 5.23 - Número de horas desfavoráveis à dispersão de poluentes – estação Aeroporto.

6. Qualidade do Ar na RMGV

Este capítulo apresenta e discute os dados de qualidade do ar na RMGV em 2014, estando dividido em 6 seções principais. A Seção 6.1 apresenta os resultados e discussões para Material Particulado, incluindo os resultados para PM_{2,5}, PM₁₀, PTS e PS. A Seção 6.2 apresenta os resultados e discussões para SO₂. A Seção 6.3 apresenta os resultados e discussões para NO₂. A Seção 6.4 apresenta os resultados e discussões para O₃. A Seção 6.5 apresenta os resultados e discussões para CO. Finalmente, a Seção 6.6 apresenta os resultados e discussões para HCNM.

6.1. Material Particulado (MP)

6.1.1. Partículas Respiráveis (PM_{2,5})

Os valores máximos das médias de 24 h (curta exposição) de concentração de PM_{2,5} foram mais elevados na estação Ibes (41,4 µg/m³), (Tabela 6.1 e Gráfico 6.1).

Tabela 6.1 - Valores das máximas médias de 24h e da média anual de concentração de PM_{2,5} em µg/m³.

Valor Médio Anual	Enseada do Suá	Ibes
1ª Max. (24h)	35,0	41,4
2ª Max. (24h)	34,9	41,0
Média Aritmética Anual	12,6*	15,9*

(*) Valores não representativos

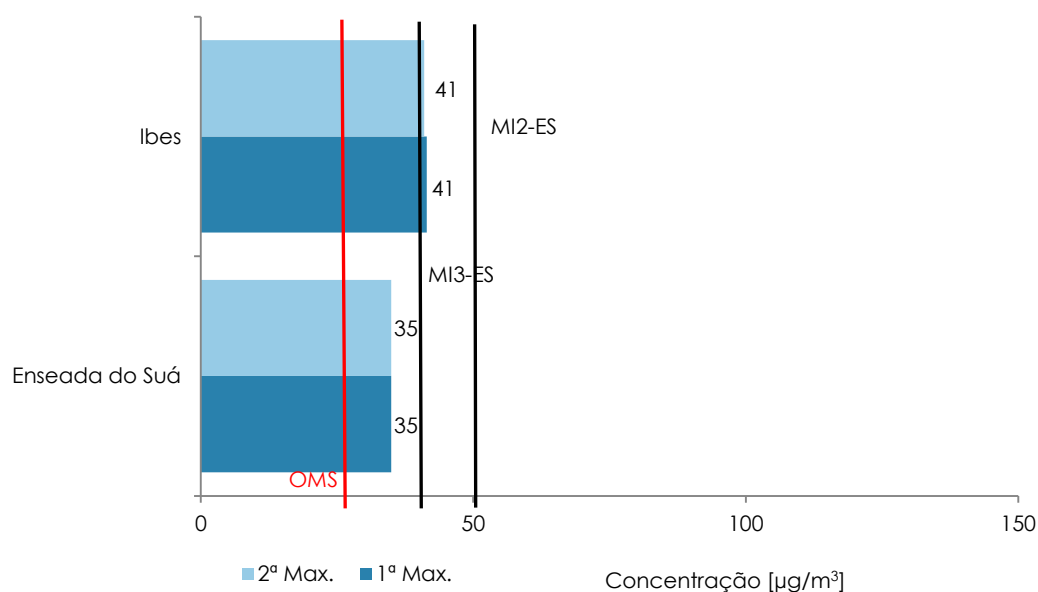
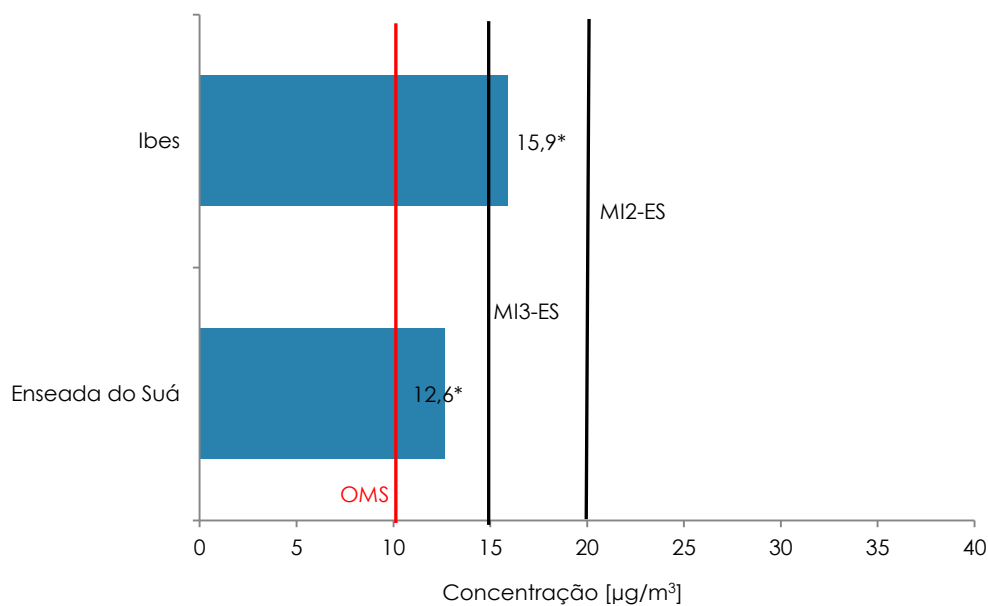


Gráfico 6.1 - Concentração máxima média de 24h de $\text{PM}_{2,5}$ nas estações da RAMQAr.

Os valores de média anual (longa exposição) Gráfico 6.2 não foram representativos em nenhuma estação devido ao baixo número de dados válidos para o cálculo da média anual. É importante salientar que o monitoramento de $\text{PM}_{2,5}$ iniciou-se em junho na estação Enseada do Suá e em julho na estação lbes, logo, o número de dados não foram suficientes para que os dados anuais fossem representativos, tendo 26,74% de dados válidos na estação Enseada do Suá, e 26,95% de dados válidos na estação lbes.



(*) valores não representativos.

Gráfico 6.2 - Concentração média anual de $\text{PM}_{2,5}$ nas estações da RAMQAr.

A Tabela 6.2 apresenta o número de ultrapassagens para a meta intermediária III e para o padrão final estadual (curta exposição) na estação Ibes (24 e 291 dias de ultrapassagem), durante o ano de 2014. Na estação Enseada do Suá 86 médias móveis de 24 horas ultrapassaram padrão final estadual para curta exposição.

É importante salientar que o Decreto Estadual Decreto nº 3463-R de 16/12/2013 não estabelece um valor para a meta intermediária I para curta e longa exposição para as Partículas Respiráveis.

Não houve ultrapassagem das metas intermediárias (MI2 e MI3) para longa exposição nas estações, com exceção da estação Ibes que houve ultrapassagem da meta intermediária III. As duas estações ultrapassaram o padrão da OMS para longa exposição.

Tabela 6.2 - Número de médias móveis de 24 horas que ultrapassaram dos valores limites de concentração de PM_{2,5}.

Referencial	Enseada do Suá	Ibes
	Número de ultrapassagens	
MI1-ES (24h)	NA	NA
MI2-ES (24h)	0	0
MI3-ES (24h)	0	24
PF-ES (24h) OMS (24h)	86	291
MI1-ES (MAA)	NA	NA
MI2-ES (MAA)	Não	Não
MI3-ES (MAA)	Não	Sim
PF-ES (MAA) OMS (anual)	Sim	Sim

NA: Não se aplica, pois o Decreto Estadual 3463-R não estabelece a Meta Intermediária I para PM_{2,5}.
MAA: Média Anual Aritmética.

O Gráfico 6.3 apresenta o perfil de concentração de PM_{2,5} em relação à direção do vento por meio da rosa de poluentes. As concentrações indicadas no gráfico representam a distribuição das concentrações em relação à direção do vento medida naquela estação. Evidencia que foram usados somente os dados das estações que apresentavam monitoramento do poluente e do vento para o cálculo da rosa de poluentes. Além disso, somente os dados de vento representativos foram considerados nesta análise.

Pode-se observar a influência da direção do vento nos valores de concentração de $PM_{2.5}$ monitorados: (i) na estação Enseada do Suá, observou-se que a maior incidência e as maiores concentrações de $PM_{2.5}$ ocorrem quando o vento foi proveniente da direção Nordeste-Leste. Esse resultado indica influência das fontes localizadas na Ponta de Tubarão e das vias de tráfego intenso nos arredores da estação (Ponte Deputado Darcy Castello de Mendonça - 3ª ponte). Existe ainda frequência de incidência de concentração de $PM_{2.5}$ quando ocorre vento Sudoeste, indicando possível influência das vias de tráfego intenso nos arredores da estação. (ii) a estação Ibes apresentou as maiores concentrações de partículas $PM_{2.5}$ associadas à direção do vento N-NE. Logo, verifica-se a possível influência de fontes industriais e veiculares locais.

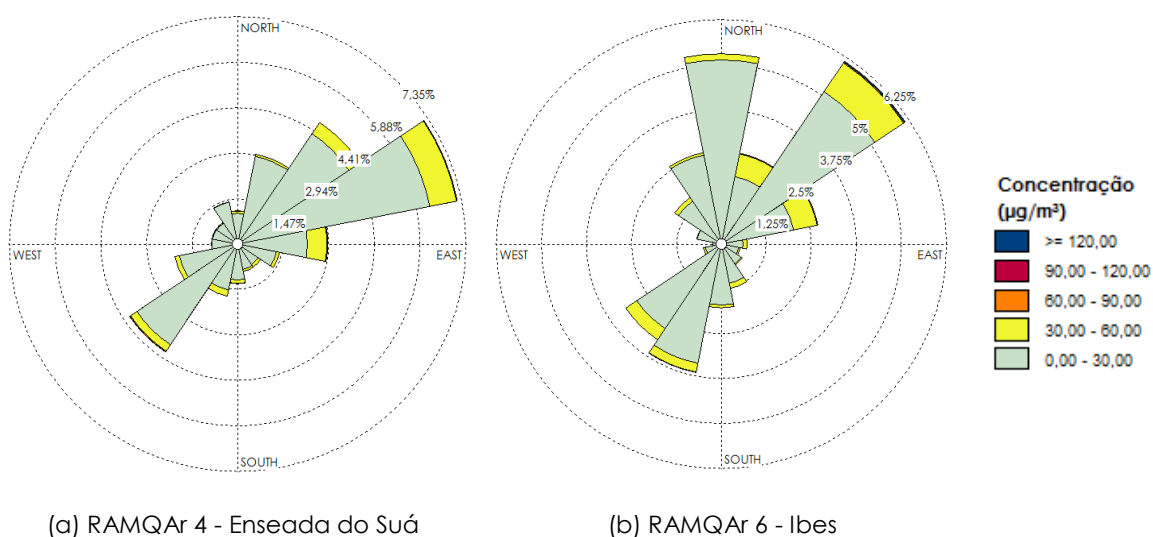


Gráfico 6.3 - Perfil de concentração de $PM_{2.5}$ nas estações da RAMQAr com relação à direção do vento (gráfico rosa de poluentes).

6.1.2. Partículas Inaláveis (PM_{10})

Os valores máximos das médias de 24 h (curta exposição) de concentração de PM_{10} foram mais elevados na estação Laranjeiras ($125,8 \mu\text{g}/\text{m}^3$) e mais baixos em Carapina ($36,4 \mu\text{g}/\text{m}^3$) (Tabela 6.3 e Gráfico 6.4). É importante notar que a diretriz da OMS para curta exposição a PM_{10} é $50 \mu\text{g}/\text{m}^3$.

Os valores de média anual (longa exposição) também foram mais elevados na estação Laranjeiras ($35,0 \mu\text{g}/\text{m}^3$) e mais baixos em Carapina ($15,3 \mu\text{g}/\text{m}^3$) (Tabela 6.3 e Gráfico 6.5). Na estação Vila Capixaba esse valor não foi representativo devido ao baixo número de dados válidos para o cálculo da média anual. A diretriz da OMS para longa exposição a PM_{10} é $20 \mu\text{g}/\text{m}^3$ com o qual se verificam menor efeito à saúde. A

estação Centro-Vila Velha não estava em operação no ano de 2014 para medição de PM₁₀.

Tabela 6.3 - Valores das máximas médias de 24h e da média anual de concentração de PM₁₀ (µg/m³).

Valor Médio Anual	Laranjeiras	Carapina	Jardim Camburi	Enseada do Suá	Centro-Vitória	Ibes	Vila Capixaba	Cidade Continental
1ª Max. (24h)	125,8	36,4	52,7	75,5	76,3	68,5	76,9	106,3
2ª Max. (24h)	125,0	36,2	52,5	72,8	74,5	67,7	76,8	105,4
Média Aritmética Anual	35,0	15,3	24,2	27,3	24,0	25,9	35,6*	24,5

(*) valores não representativos.

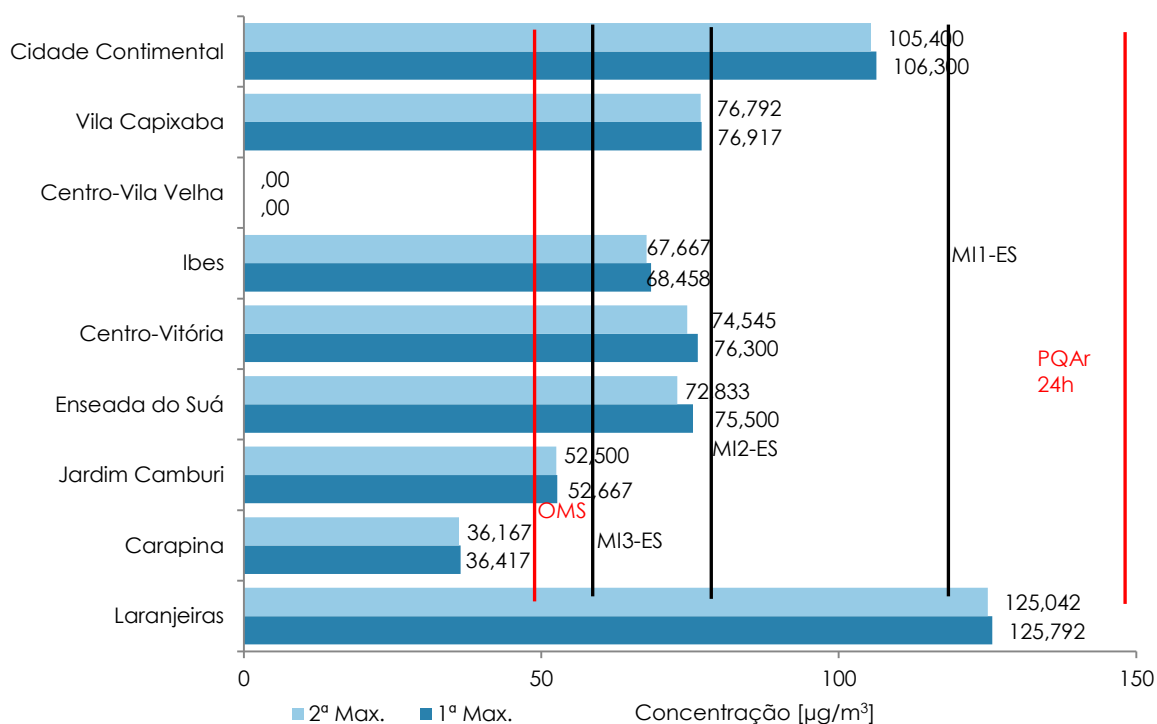
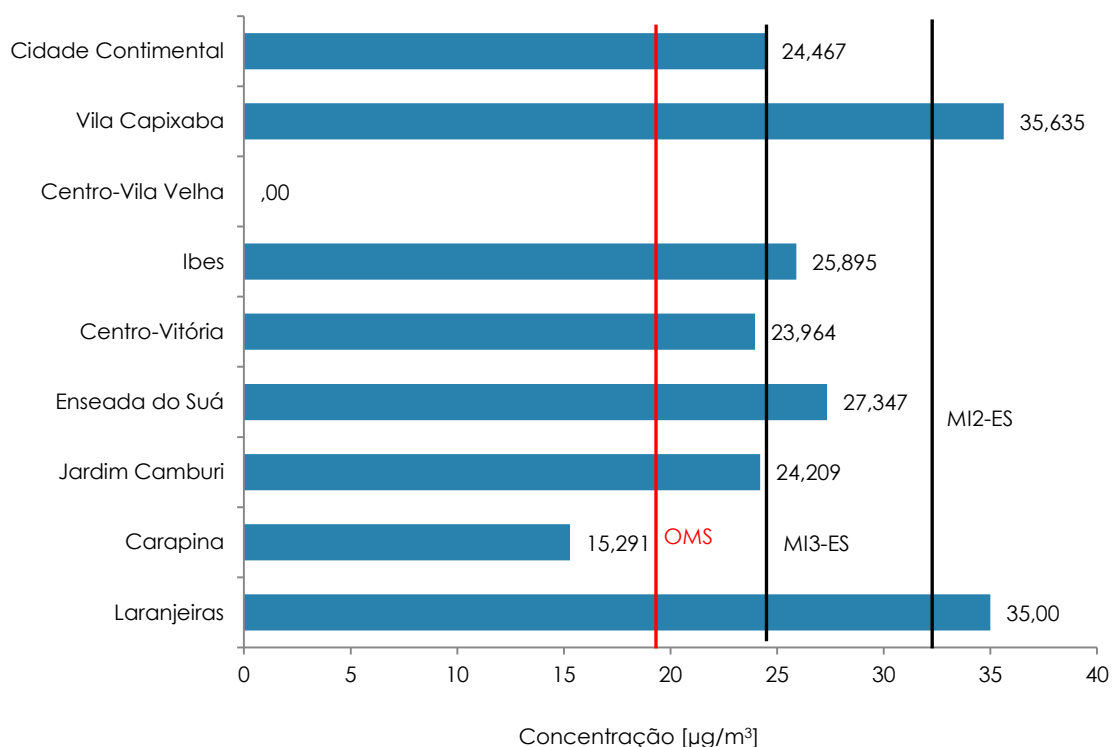


Gráfico 6.4 - Concentração máxima média de 24h de PM₁₀ nas estações da RAMQAr.



(*) valores não representativos.

Gráfico 6.5 - Concentração média anual de PM₁₀ nas estações da RAMQAr.

Durante o ano de 2014, não ocorreram ultrapassagens do Padrão Nacional de Qualidade do Ar para o poluente PM₁₀ para curta e longa exposições (Tabela 6.4). É importante salientar que as concentrações médias de 24 horas são calculadas como médias móveis de 24 horas, ou seja, em um dia temos 23 médias móveis de 24 horas.

Ocorreram ultrapassagens do valor indicado como diretriz para curta e longa exposição à PM₁₀ pela OMS em todas as estações da RAMQAr, exceto na estação de Carapina. As estações de Laranjeiras e Vila Capixaba destacaram-se com os maiores números de ultrapassagens à diretriz da OMS para curta exposição, totalizando 1.124 e 465, respectivamente, o número de médias móveis de 24 horas acima do padrão (Tabela 6.4).

A legislação estadual, sobre metas e padrões de qualidade do ar para o poluente PM₁₀ indica três metas intermediárias (MI1, MI2 e MI3) anteriores ao estabelecimento do padrão final para o poluente. Para metas associadas aos efeitos de curta exposição (média 24 horas) ao PM₁₀, houve ultrapassagem dos valores indicados como MI1 (120 µg/m³) somente na estação Laranjeiras e MI2 (80 µg/m³) nas estações Laranjeiras e Cidade Continental. É importante notar que o valor de concentração de PM₁₀ apresentado como MI1 é o padrão de qualidade do ar atual conforme indicado na

referida legislação. Para o MI3 ($60 \mu\text{g}/\text{m}^3$) de curta exposição (média 24 horas) houve ultrapassagem em todas as estações, exceto Jardim Camburi e Carapina.

Para metas intermediárias associadas aos efeitos de longa exposição (média aritmética anual) não houve ultrapassagem dos valores indicados como MI1 ($45 \mu\text{g}/\text{m}^3$) em todas as estações da RAMQAr. Entretanto, houve ultrapassagem da MI2 ($33 \mu\text{g}/\text{m}^3$) nas estações Laranjeiras e Vila Capixaba e também da MI3 ($25 \mu\text{g}/\text{m}^3$), além das estações citadas, nas estações Enseada do Suá e Ibes. As ultrapassagens em relação ao PF são idênticas àqueles para a diretriz da OMS (para curta e longa exposição) visto que os valores de PF e da diretriz da OMS são idênticos.

Tabela 6.4 - Número de médias móveis de 24 horas que ultrapassaram os valores limites de concentração de PM_{10} .

Referencial	Duração da Exposição	Laranjeiras	Carapina	Jardim Camburi	Enseada do Suá	Centro-Vitória	Ibes	Vila Capixaba	Cidade Continental
		Número de ultrapassagens							
PQAr primário e secundário (24h)	Curta	0	0	0	0	0	0	0	0
PQAr (MAA)	Longa	Não	Não	Não	Não	Não	Não	Não	Não
MI1-ES (24h)	Curta	8	0	0	0	0	0	0	0
MI2-ES (24h)	Curta	142	0	0	0	0	0	0	37
MI3-ES (24h)	Curta	413	0	0	29	9	22	193	67
PF-ES (24h) OMS (24h)	Curta	1.124	0	13	111	32	91	465	110
MI1-ES (MAA)	Longa	Não	Não	Não	Não	Não	Não	Não	Não
MI2-ES (MAA)	Longa	Sim	Não	Não	Não	Não	Não	Sim	Não
MI3-ES (MAA)	Longa	Sim	Não	Não	Sim	Não	Sim	Sim	Não
PF-ES (MAA) OMS (anual)	Longa	Sim	Não	Sim	Sim	Sim	Sim	Sim	Sim

MAA: Média Anual Aritmética.

Dessa forma, o índice de qualidade do ar (IQA) em 2014 (Gráfico 6.6) indica que a qualidade do ar pode ser classificada como boa durante quase todo o período (>90%), tendo como referência o poluente PM_{10} , exceto na estação Laranjeiras (61%) e Vila Capixaba (68%). É importante notar que o IQA foi calculado com base na MI1, conforme estabelecido na legislação estadual.

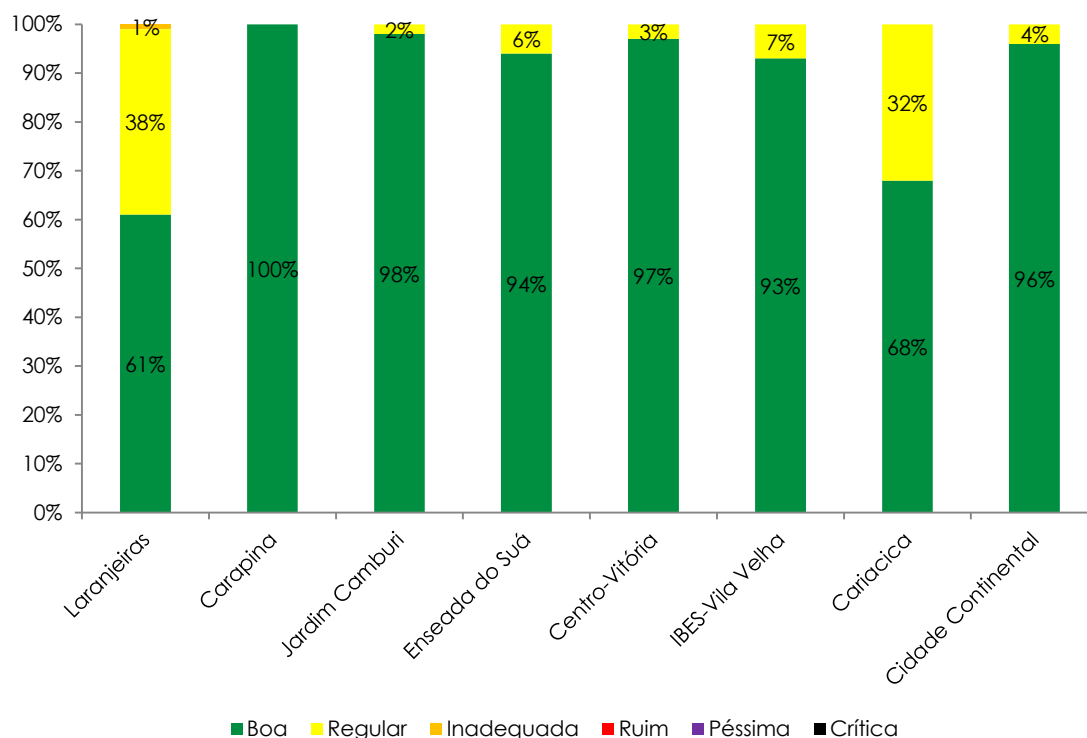


Gráfico 6.6 - Índice de qualidade do ar com referencia ao poluente PM₁₀ nas estações da RAMQAr.

O Gráfico 6.7 apresenta o perfil de concentração de PM₁₀ em relação à direção do vento por meio da rosa de poluentes. As concentrações indicadas no gráfico representam a distribuição das concentrações em relação à direção do vento medida naquela estação. Evidencia que foram usados somente os dados das estações que apresentavam monitoramento do poluente e do vento para o cálculo da rosa de poluentes. Além disso, somente os dados de vento representativos foram considerados nesta análise.

Pode-se observar a influência da direção do vento nos valores de concentração de PM₁₀ monitorados: (i) na estação Enseada do Suá, observa-se que as maiores concentrações de PM₁₀ apresentaram-se quando o vento foi proveniente das direções Lés-nordeste e Leste (ENE e L). Esse resultado indica influencia das fontes localizadas na Ponta de Tubarão e das vias de tráfego intenso nos arredores da estação (Ponte Deputado Darcy Castello de Mendonça - 3ª Ponte). (ii) a estação Ibes apresentou as maiores concentrações de partículas PM₁₀ associadas à direção do vento Nordeste (NE). Logo, verifica-se a possível influência de fontes industriais e veiculares locais. (iii) na estação Vila Capixaba, observa-se uma maior concentração de partículas PM₁₀ na

direção Sudoeste devido à influência do tráfego de veículos na BR-262. No entanto, na direção nordeste há uma maior incidência de vento e da concentração do PM_{10} .

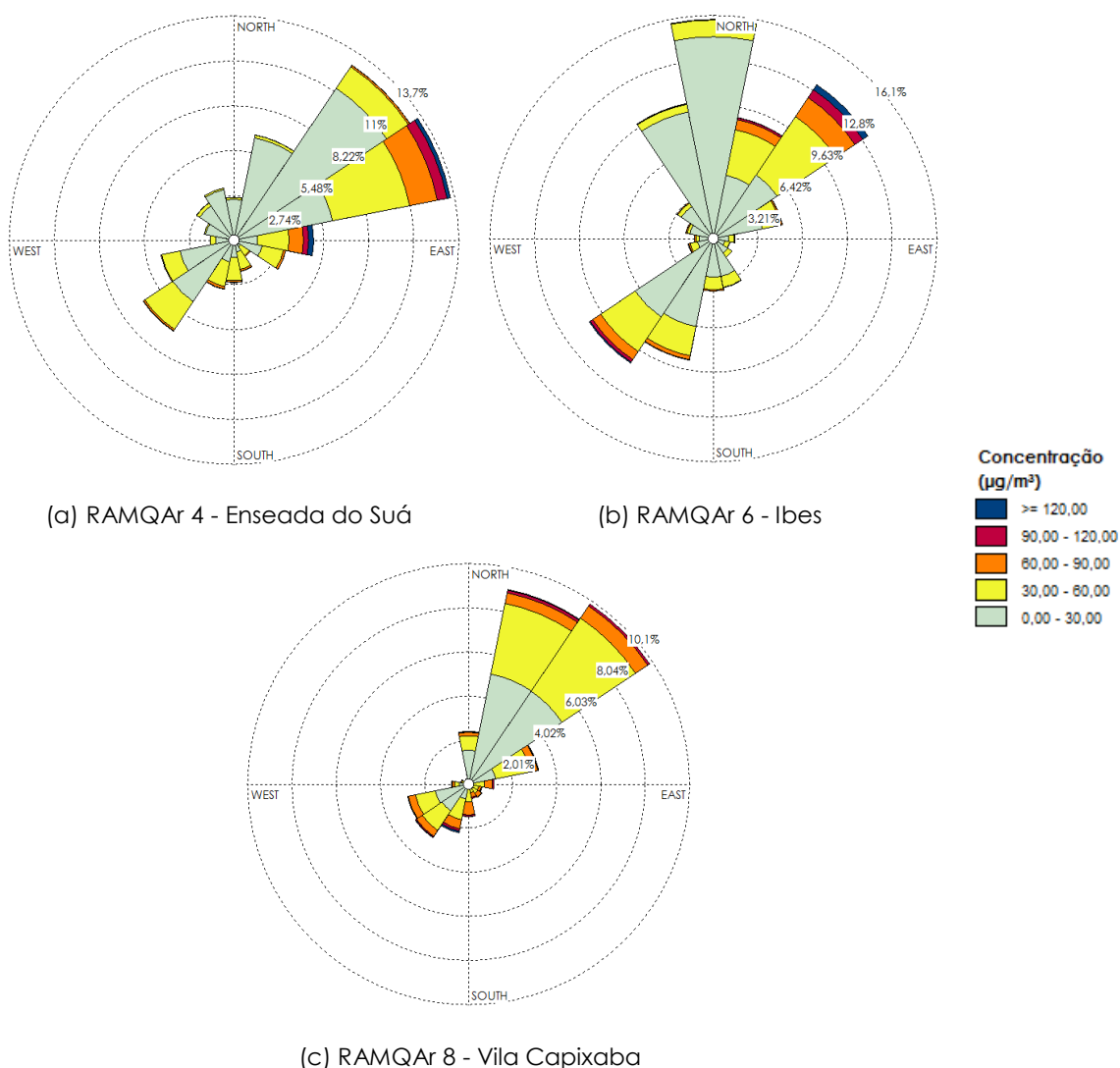


Gráfico 6.7 - Perfil de concentração média de PM_{10} nas estações da RAMQAr com relação à direção do vento (gráfico da rosa de poluentes)

Nos últimos 10 anos, conforme visto na Gráfico 6.8, o monitoramento do poluente PM_{10} na RMGV revelou que: (i) existe uma tendência de decréscimo nas estações Carapina, Jardim Camburi e Centro-Vitória; (ii) existe uma tendência de aumento na estação Vila Capixaba; (iii) as demais estações da RAMQAr tendem a manter os valores das médias anuais aproximadamente estáveis.

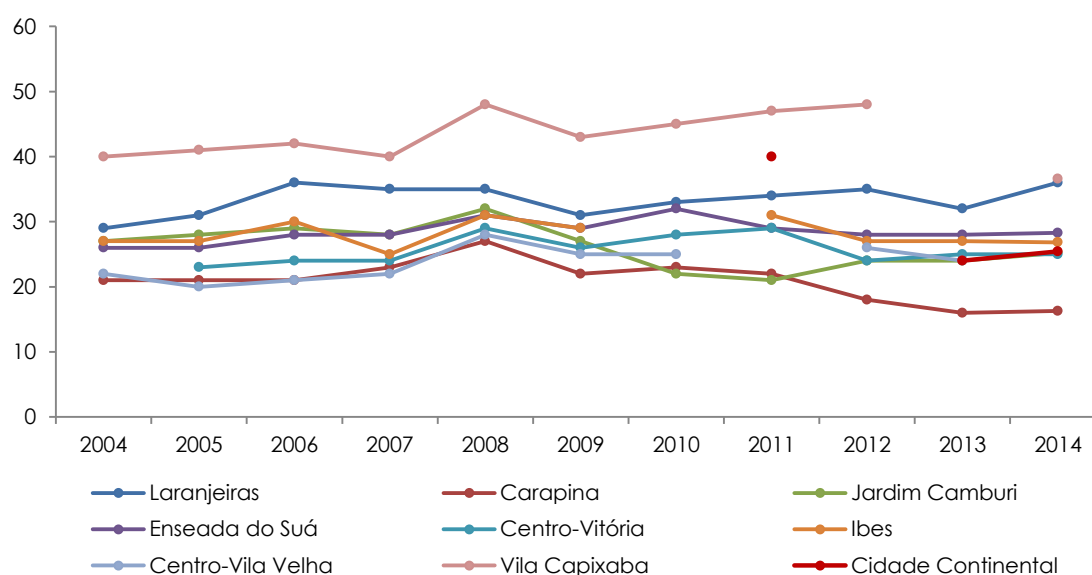


Gráfico 6.8 - Séries temporais das concentrações médias anuais de PM₁₀ nas estações da RAMQAr.

6.1.3. Partículas Totais em Suspensão (PTS)

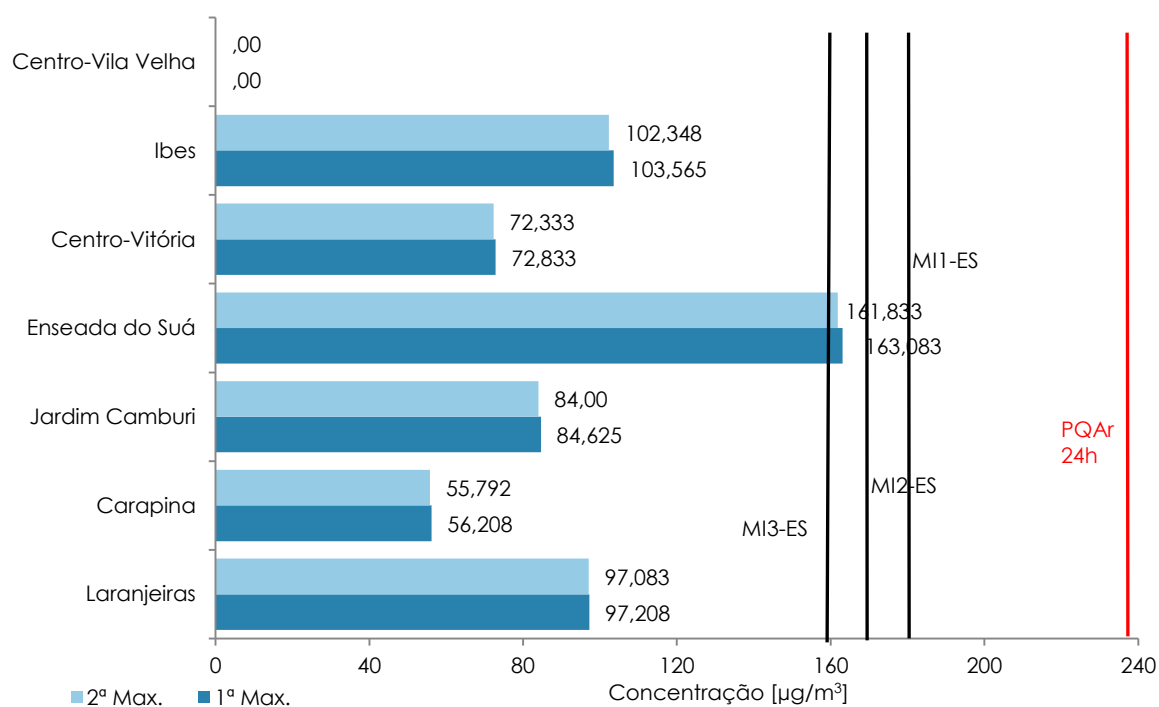
Os valores máximos das médias de 24h (curta exposição) de concentração de PTS foram nas estações Enseada do Suá (163,1 µg/m³), seguido de Vila Capixaba (110,6 µg/m³) e mais baixo em Carapina (56,2 µg/m³). É importante ressaltar que nenhuma estação ultrapassou a meta intermediária I (180 µg/m³) no ano de 2014 (Tabela 6.5 e Gráfico 6.9)

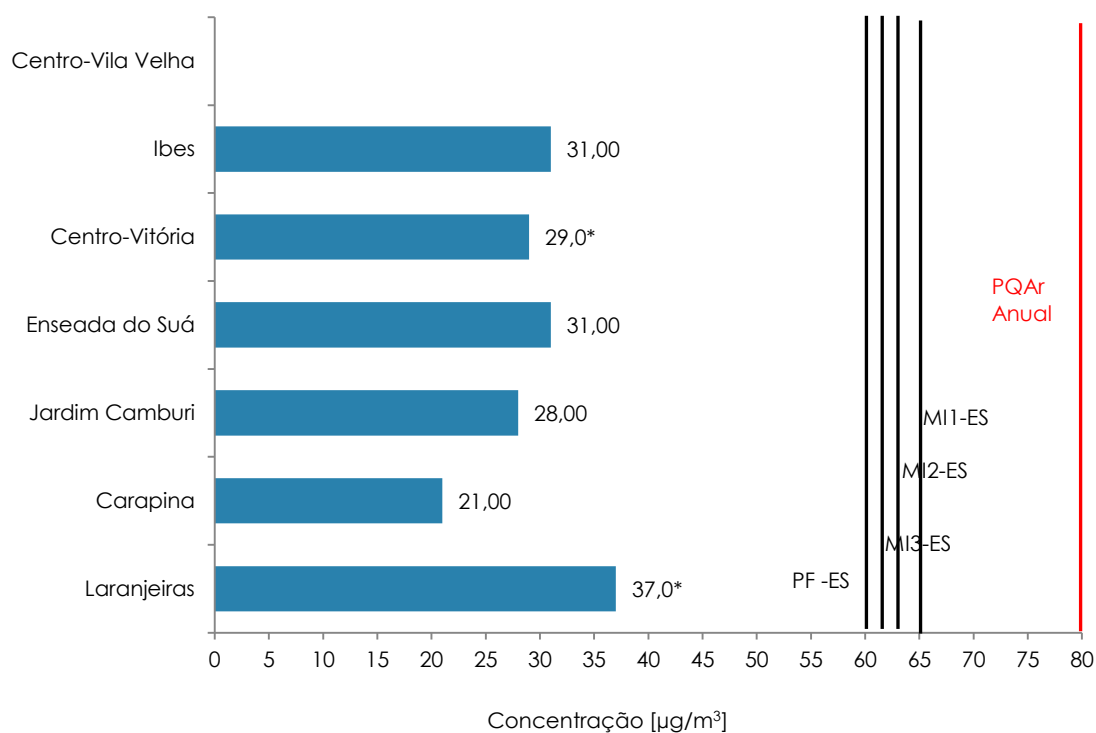
Os valores de média anual (longa exposição) foram mais elevados nas estações Enseada e Ibes (31,0 µg/m³) e mais baixo em Carapina (21,0 µg/m³). As estações Vila Capixaba, Laranjeiras e Centro-Vitória, os valores não foram representativos devido ao baixo número de dados válidos para o cálculo da média anual. Nota-se, que nenhuma estação ultrapassou as metas intermediárias para longa exposição (Tabela 6.5 e Gráfico 6.10).

Tabela 6.5 - Valores das máximas médias de 24h e da média anual de concentração de PTS em $\mu\text{g}/\text{m}^3$.

Valor Médio Anual	Laranjeiras	Carapina	Jardim Camburi	Enseada do Suá	Centro Vitória	Ibes	Vila Capixaba
1ª Max. (24h)	97,2	56,2	84,6	163,1	72,8	103,6	110,6
2ª Max. (24h)	97,1	55,8	84,0	161,8	72,3	102,3	110,2
Média Geométrica Anual	37,0*	21,0	28,0	31,0	29,0*	31,0	42,0*

(*) valores não representativos.

**Gráfico 6.9** - Concentração máxima média de 24h de PTS nas estações da RAMQAr.



(*) valores não representativos.

Gráfico 6.10 - Concentração média anual de PTS nas estações da RAMQAr.

Durante o ano de 2014, não ocorreram ultrapassagem do Padrão Nacional de Qualidade do Ar (PQA primário) para o poluente PTS para curta e longa exposição em nenhuma estação. No entanto, o PQA secundário para curta exposição foi ultrapassado em 12 vezes na estação Enseada do Suá. É importante salientar que as concentrações médias de 24 horas são calculadas como médias móveis de 24 horas, ou seja, em um dia temos 23 médias móveis de 24 horas.

As metas intermediárias prevista na legislação estadual associada aos efeitos de curta exposição (média móvel 24 horas) para o PTS são: MI1 (180 µg/m³), MI2 (170 µg/m³), MI3 (160 µg/m³) e o padrão final (150 µg/m³). No ano de 2014, a estação Enseada do Suá ultrapassou a meta intermediária III (MI3) e o padrão final de curta exposição 5 e 12 vezes, respectivamente. As metas intermediárias e o padrão final para longa exposição ao poluente PTS não foram ultrapassados em nenhuma estação (Tabela 6.6).

Tabela 6.6 - Número de médias móveis de 24 horas que ultrapassaram os valores limites de concentração de PTS.

Referencial	Duração da Exposição	Laranjeiras	Carapina	Jardim Camburi	Enseada do Sudá	Centro Vitória	Ibes	Vila Capixaba
		Número de ultrapassagens						
PQAr primário (24h)	Curto	0	0	0	0	0	0	0
PQAr secundário (24h)	Curto	0	0	0	12	0	0	0
PQAr Primário (Anual)	Longo	Não	Não	Não	Não	Não	Não	Não
PQAr Secundário (Anual)	Longo	Não	Não	Não	Não	Não	Não	Não
MI1-ES (24h)	Curto	0	0	0	0	0	0	0
MI2-ES (24h)	Curto	0	0	0	0	0	0	0
MI3-ES (24h)	Curto	0	0	0	5	0	0	0
PF-ES (24h)	Curto	0	0	0	12	0	0	0
MI1-ES (MGA)	Longo	Não	Não	Não	Não	Não	Não	Não
MI2-ES (MGA)	Longo	Não	Não	Não	Não	Não	Não	Não
MI3-ES (MGA)	Longo	Não	Não	Não	Não	Não	Não	Não
PF-ES (MGA)	Longo	Não	Não	Não	Não	Não	Não	Não

O índice de qualidade do ar (IQA) em 2014 (Gráfico 6.11) indica que a qualidade do ar pode ser classificada como boa durante quase todo o período (>95%) nas estações Carapina, Centro-Vitória e Jardim Camburi, tendo como referência o poluente PTS. Nas estações Vila Capixaba e Laranjeiras, a qualidade do ar foi regular durante 52% e 30% do período, respectivamente.

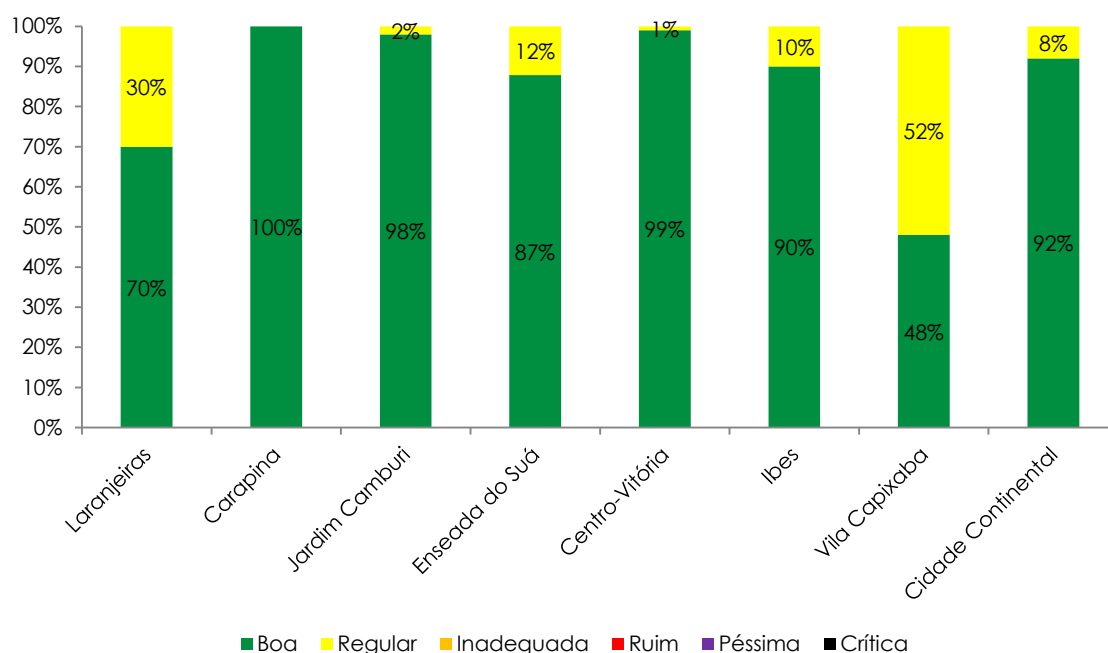


Gráfico 6.11 - Índice de qualidade do ar com base no poluente PTS nas estações da RAMQAR.

O Gráfico 6.12 apresenta o perfil de concentração de PTS em relação à direção do vento por meio da rosa de poluentes. As concentrações indicadas no gráfico representam a distribuição das concentrações em relação à direção do vento medida naquela estação. Evidencia que foram usados somente os dados das estações que apresentavam monitoramento do poluente e do vento para o cálculo da rosa de poluentes. Além disso, somente os dados de vento representativos foram considerados nesta análise.

Pode-se observar a influência da direção do vento nos valores de concentração de PTS monitorados: (i) na estação Enseada do Suá, nota-se que as maiores concentrações de PTS ocorrem quando o vento foi proveniente das direções Lés-Nordeste, Leste, e Sudoeste (ENE, L, e SO). Esse resultado indica a forte influência das fontes localizadas na Ponta de Tubarão e das vias de tráfego intenso nos arredores da estação (Ponte Deputado Darcy Castello de Mendonça – 3ª Ponte). (ii) a estação Ibes apresentou as maiores concentrações de partículas PTS associadas à direção do vento Nordeste (NE). Logo, verifica-se a possível influência de fontes industriais e veiculares locais. (iii) na estação Vila Capixaba, observa-se concentrações superiores a $120 \mu\text{g}/\text{m}^3$ em quase todas as direções, no entanto, a maior incidência de vento e concentração foi proveniente das direções Norte-Nordeste e Nordeste (NNE e NE). Destaca-se que no ano de 2014 estava em andamento a obra de construção do estádio Kléber Andrade em Cariacica localizado na rota de recorrência dos ventos

predominantes na estação Vila Capixaba. Nas demais direções do vento notou-se a influência do tráfego de veículos na BR-262 e BR-101 na concentração de PTS.

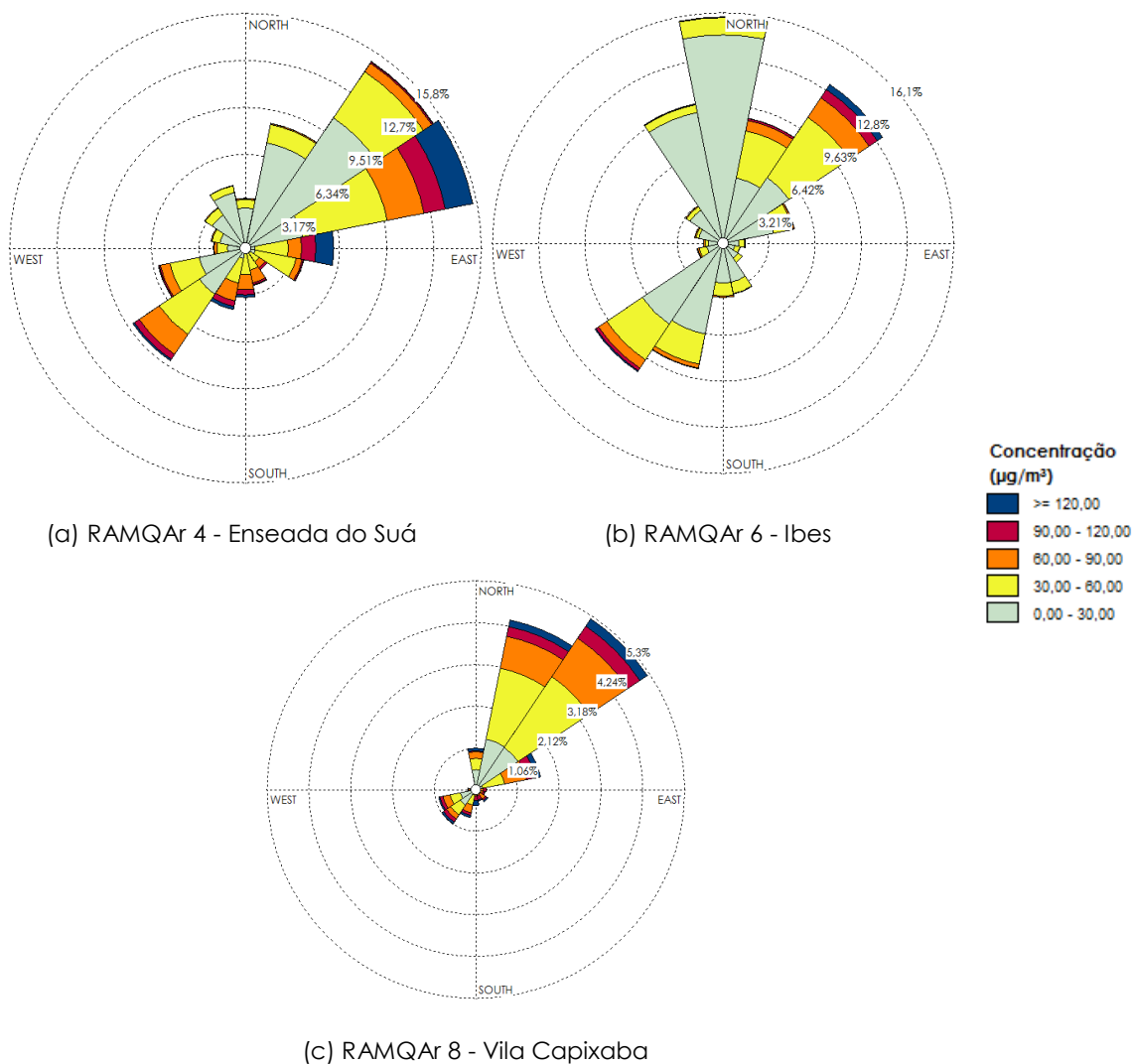


Gráfico 6.12 - Perfil de concentração média horária de PTS nas estações da RAMQAr com relação à direção do vento (gráfico de rosa de poluentes).

Nos últimos 10 anos, conforme visto no Gráfico 6.13, o monitoramento do poluente PTS na RMGV revelou que: (i) de modo geral, houve uma diminuição na concentração média anual em relação ao ano de 2014, em quase todas as estações, com exceção da estação Carapina; (ii) as concentrações de PTS nas estações Laranjeiras apresentam uma tendência de decréscimo da média anual nos últimos 10 anos; (iii) as concentrações nas demais estações tendem a manter as médias anuais em equilíbrio.

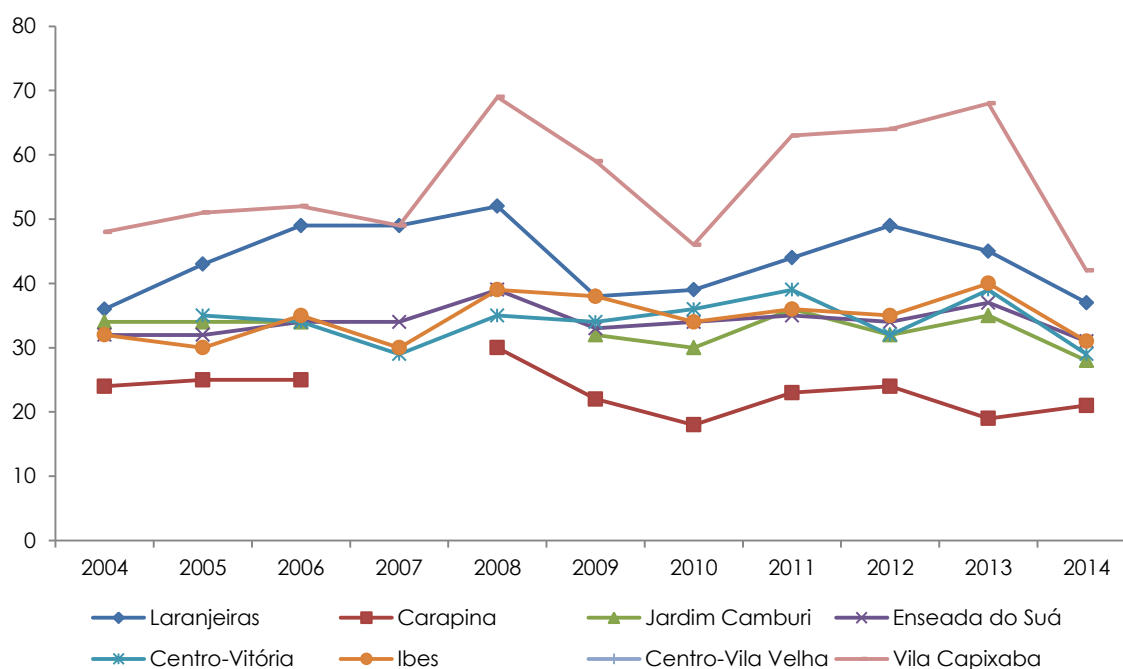


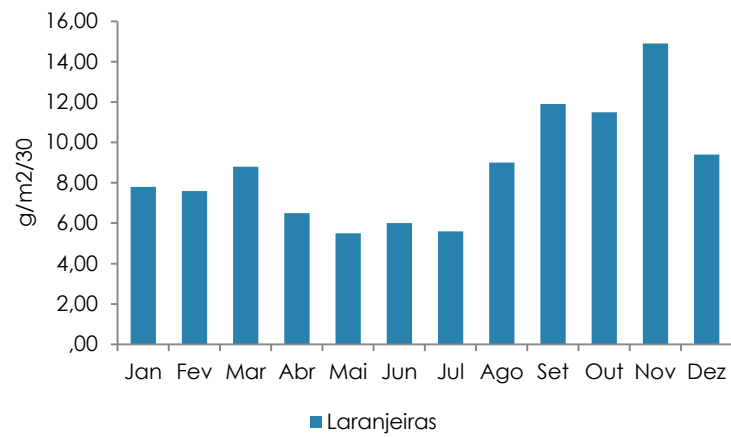
Gráfico 6.13 - Séries temporais das concentrações médias anuais de PTS nas estações da RAMQAr.

6.1.4. Partículas Sedimentadas (PS)

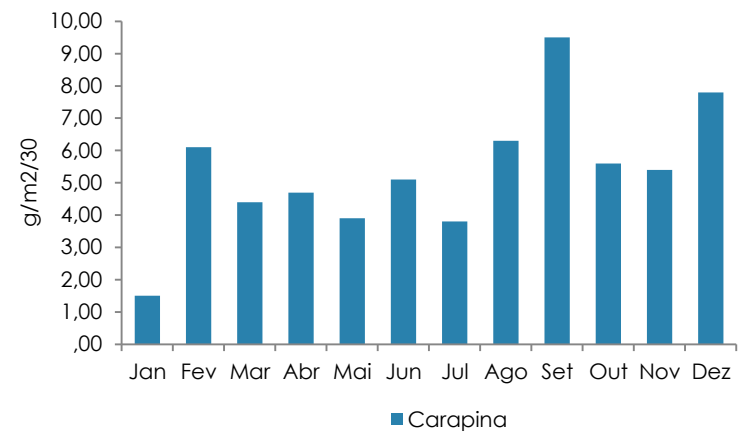
A medição das partículas sedimentadas é efetuada mensalmente como a taxa de deposição por unidade de área durante o período de 30 dias. O Gráfico 6.14 apresenta os valores mensais medidos nos 10 pontos de monitoramento da Rede Manual de Partículas Sedimentadas (RMPS). Pode se observar que os maiores valores da taxa de deposição foram encontrados nas estações Enseada do Suá nos meses de agosto (17,0 g/m²/30 dias), setembro (15,3 g/m²/30 dias), novembro (15,2 g/m²/30 dias) e dezembro (14,2 g/m²/30 dias) e em Laranjeiras no mês de novembro (14,9 g/m²/30 dias), sendo superiores ao valor limite estabelecido na legislação estadual em sua meta intermediária MI1 de 14 g/m²/30 dias. Os valores mais baixos da taxa de deposição foram nas estações Carapina no mês de janeiro (1,5 g/m²/30 dias) e o Hotel Senac no mês de maio (2,2 g/m²/30 dias). É importante salientar que entre os meses de setembro a dezembro quase todas as estações apresentaram pelo menos um valor de taxa de deposição superior a 10 g/m²/30 dias, com exceção das estações Carapina, Hotel Senac e Clube Ítalo que os valores ficaram próximos de 10 g/m²/30 dias.

O Gráfico 6.15 (a) (b) (c) (d) (e) (f) (g) (h) (i) (j) mostra a evolução temporal da taxa de deposição nas estações da RMPS desde o início do monitoramento de PS. Desde 2009, as partículas sedimentadas ultrapassaram a meta MI1 onze vezes na estação Enseada do Suá e dez vezes na estação Laranjeiras, sendo superior a 10 g/m²/30 dias nessas

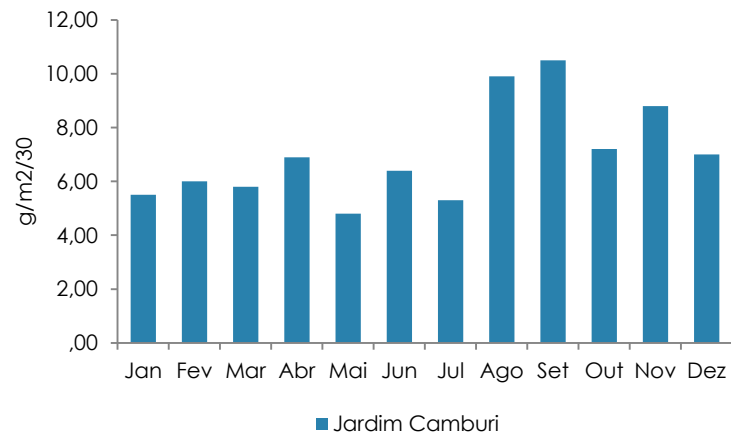
estações durante quase todo o período investigado. Nas estações Vila Capixaba a meta MI1 foi ultrapassada quatro vezes, duas vezes na estação Hotel Senac e uma vez nas estações Clube Ítalo, Centro-Vitória, Centro-Vila Velha e Ibes.



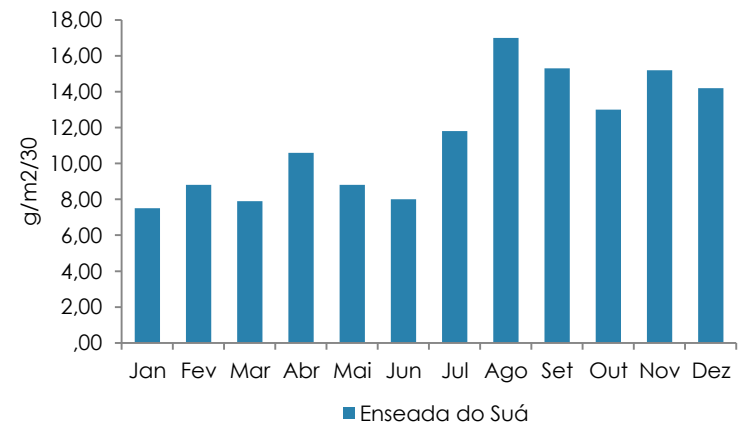
(a) RAMQAr 1 - Laranjeiras



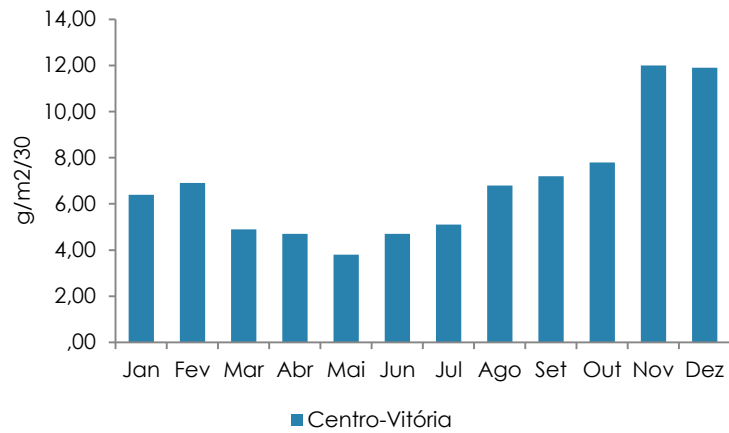
(b) RAMQAr 2 - Carapina



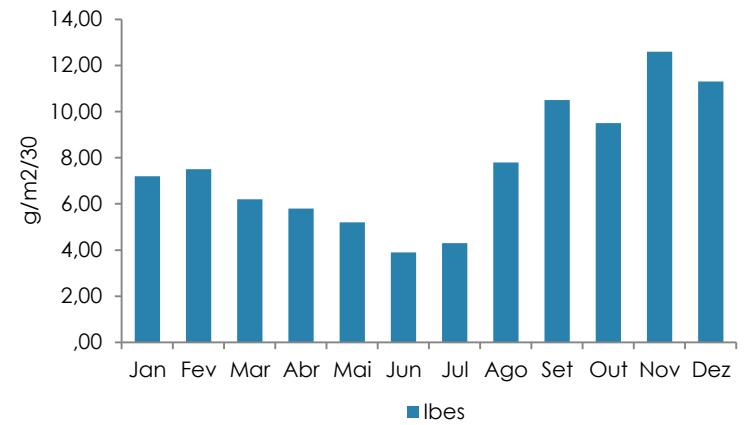
(c) RAMQAr 3 - Jardim Camburi



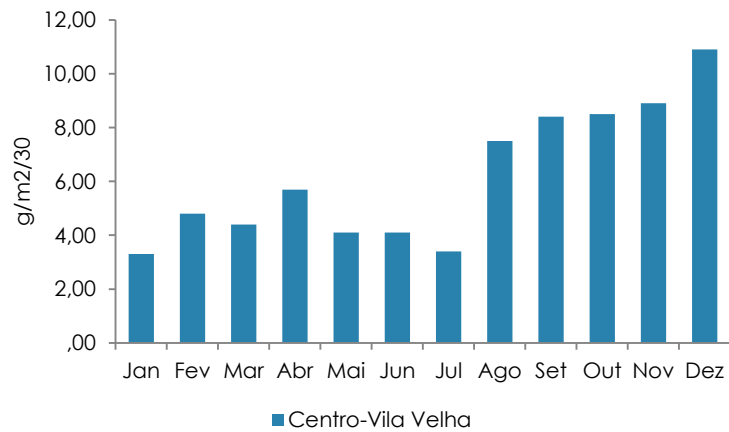
(d) RAMQAr 4 - Enseada do Suá



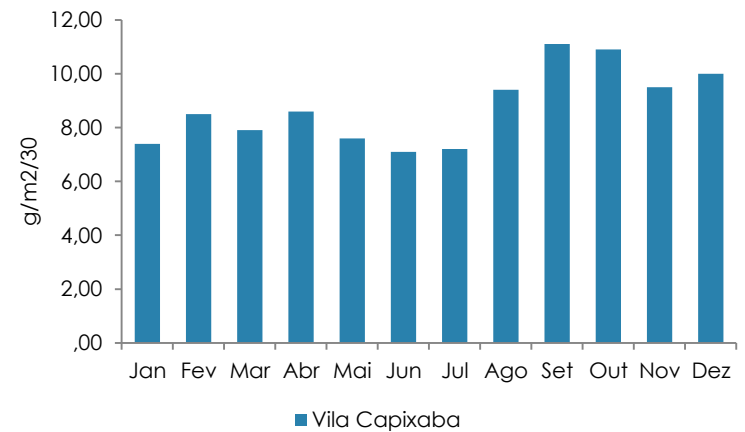
(e) RAMQAr 5 - Centro-Vitória



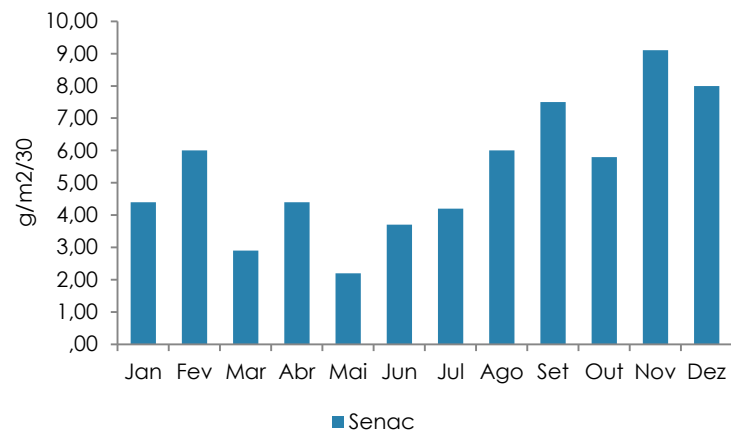
(f) RAMQAr 6 - Ibes



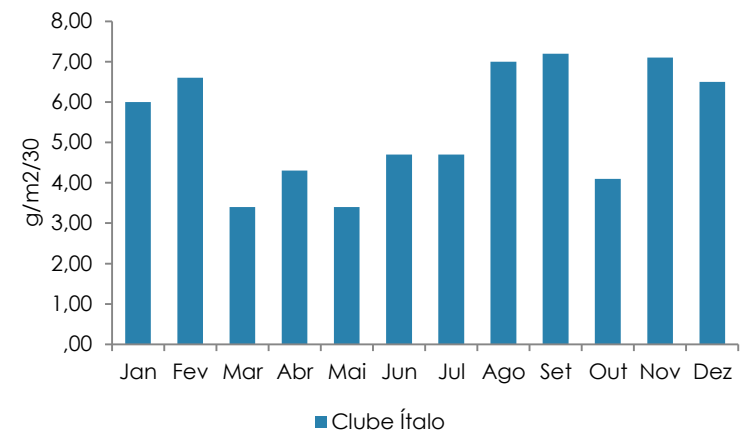
(g) RAMQAr 7 - Centro-Vila Velha



(h) RAMQAr 8 - Vila Capixaba

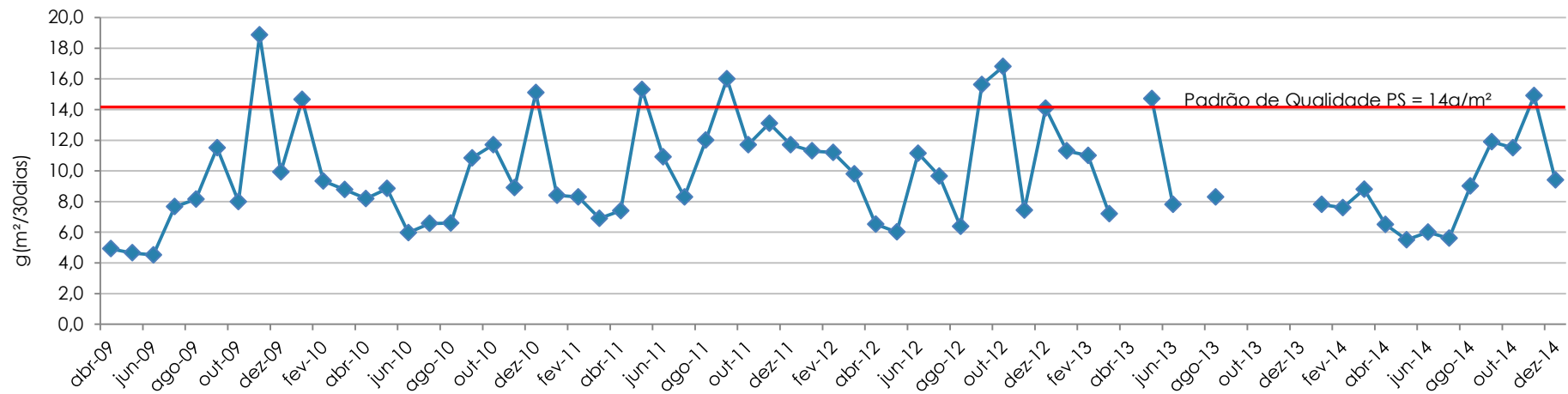


(i) Hotel Senac

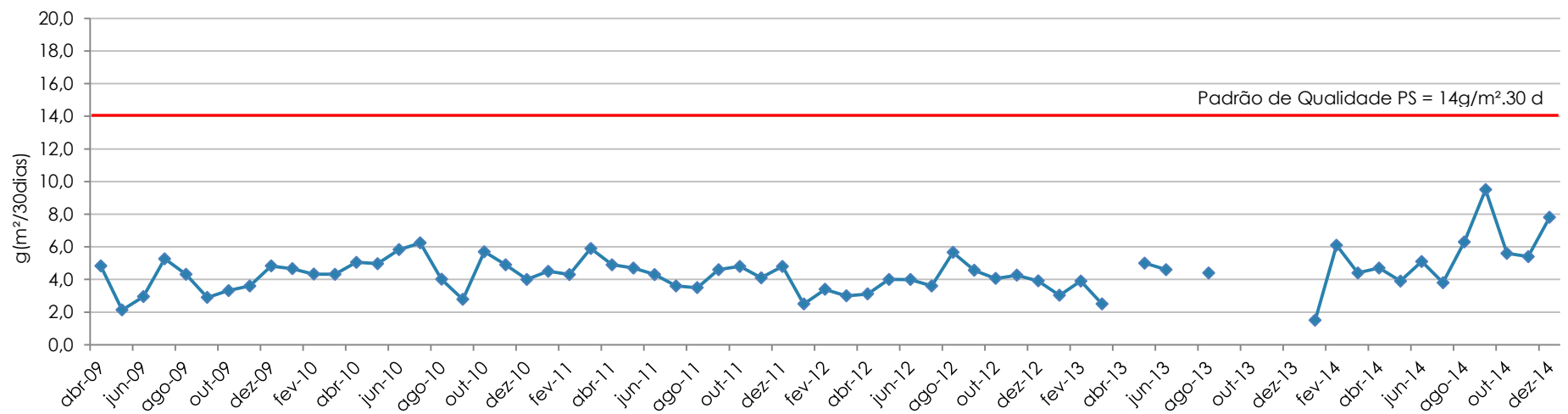


(j) Clube Ítalo

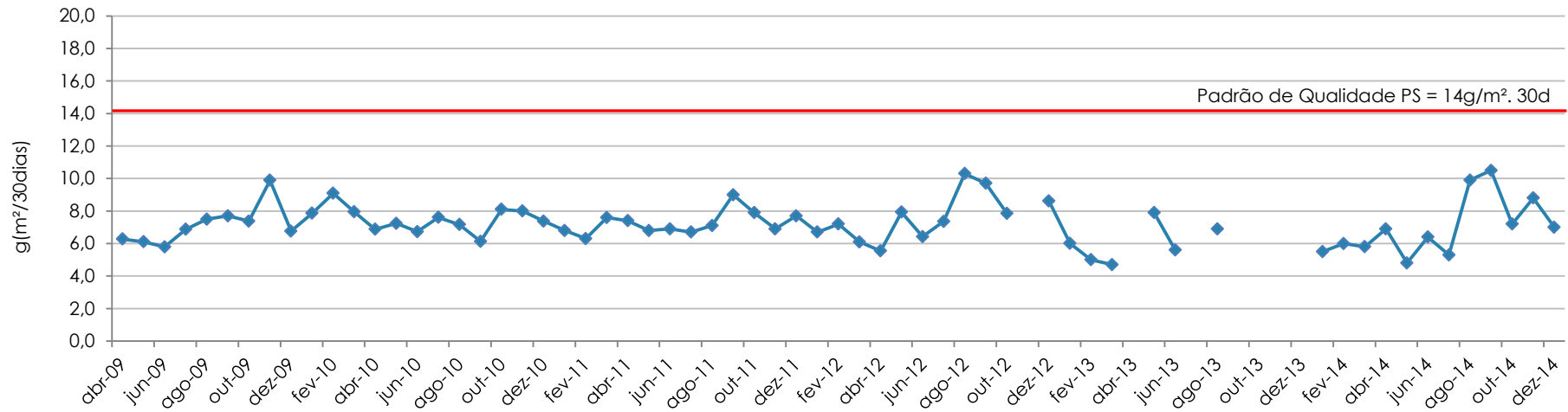
Gráfico 6.14 - Taxa de deposição de partículas (g/m²/30 dias) nas estações de monitoramento de PS.



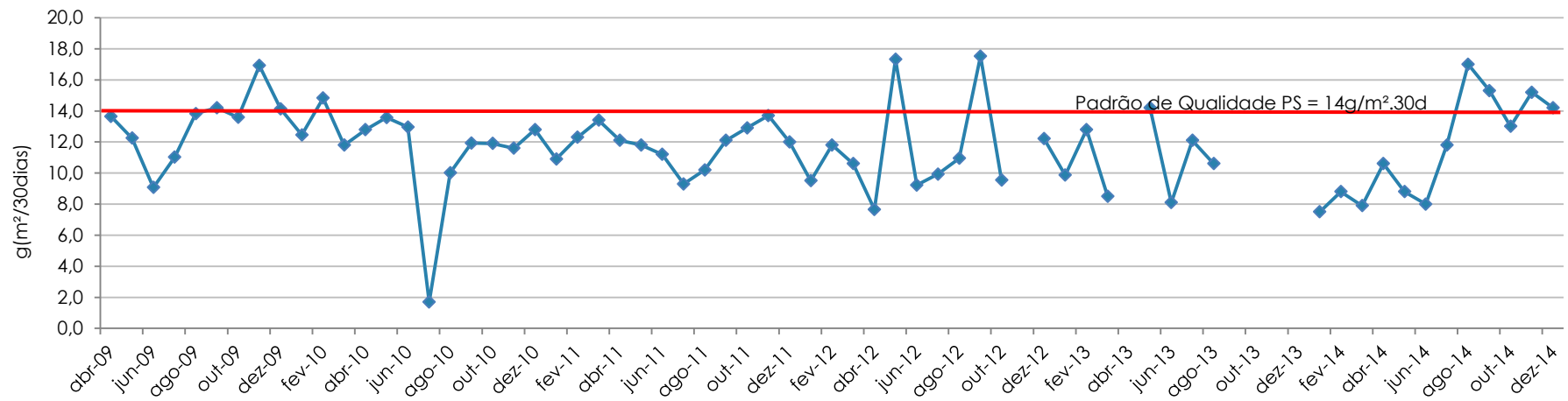
(a) RAMQAr 1 - Laranjeiras



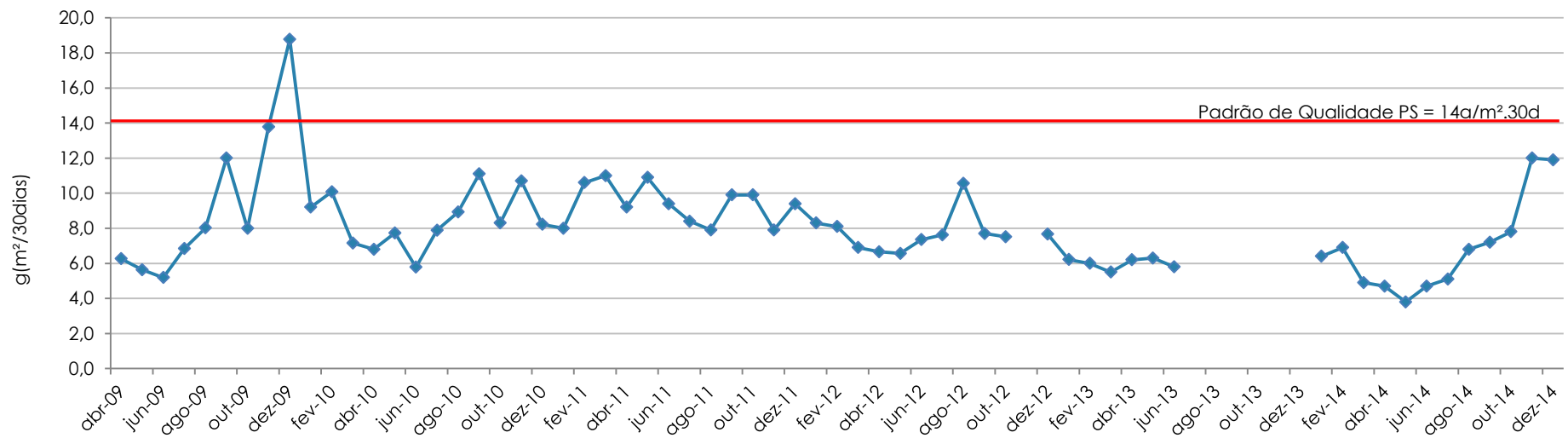
(b) RAMQAr 2 - Carapina



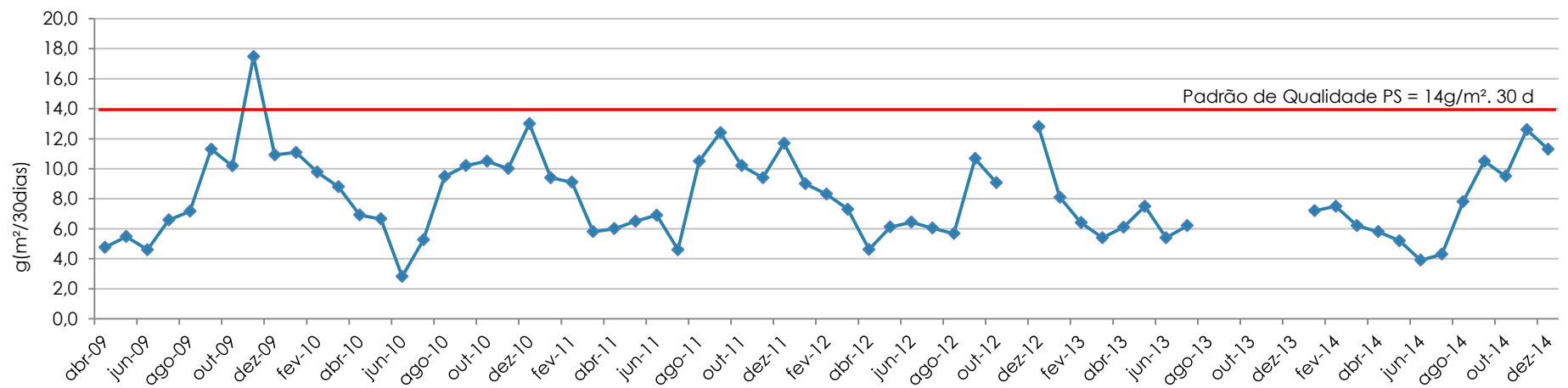
(c) RAMQAr 3 - Jardim Camburi



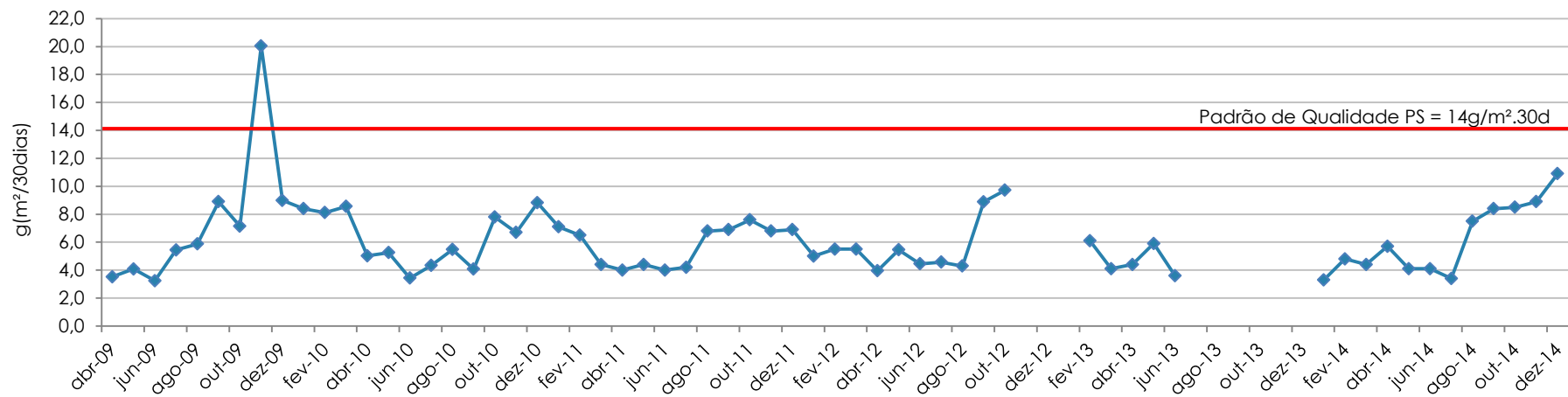
(e) RAMQAr 4 - Enseada do Suá



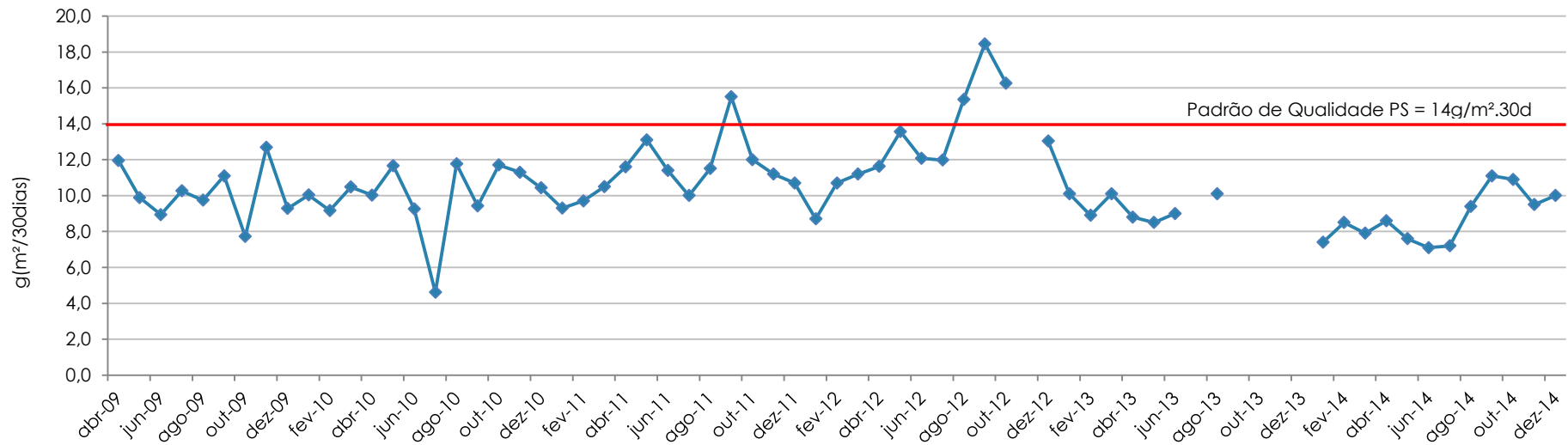
(e) RAMQAr 5 - Centro-Vitória



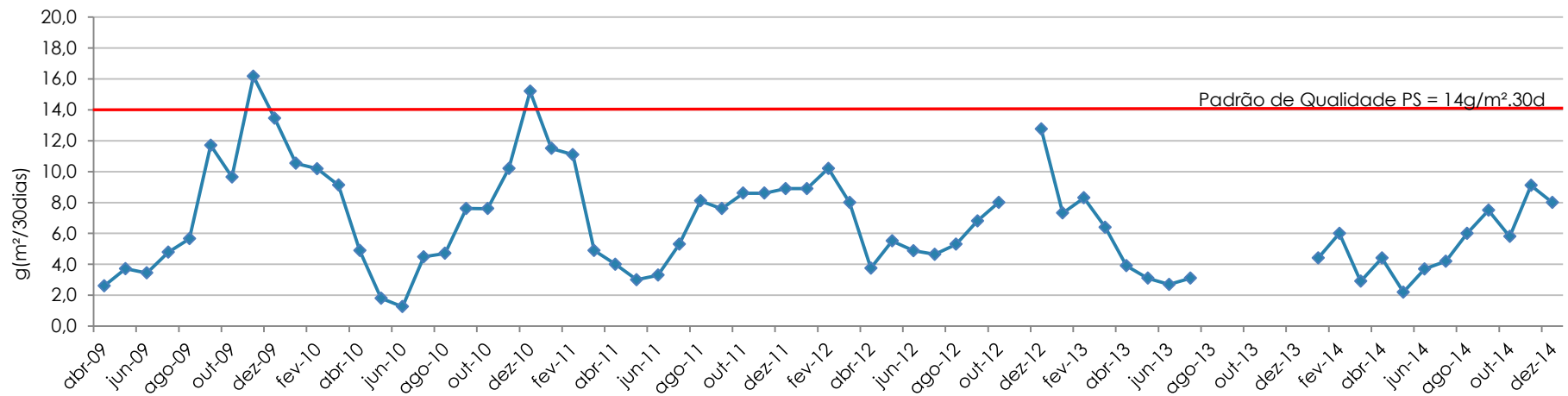
(f) RAMQAr 6 - Ibes



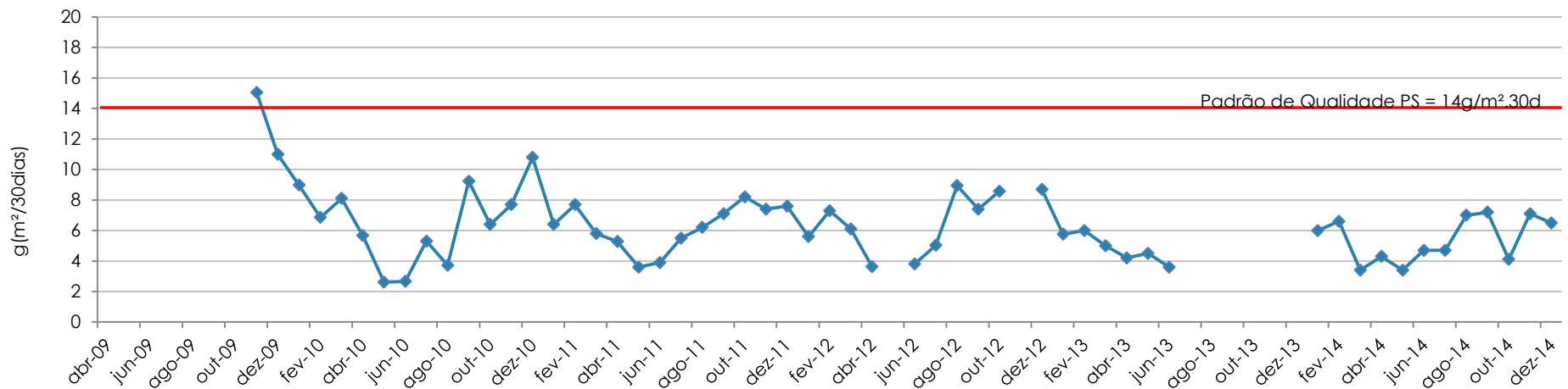
(g) RAMQAr 7- Centro-Vila Velha



(h) RAMQAr 8 - Vila Capixaba



(i) Hotel Senac



(j) Clube Ítalo

Gráfico 6.15 - Série temporal da taxa de deposição de partículas para o período abril de 2009 a dezembro 2014 para as estações da RMPS.

A taxa de deposição foi consistentemente superior ou muito próxima a 10 g/m²/30 dias em todos os meses e estações, exceto na estação do Centro-Vila Velha, Carapina, Jardim Camburi. Entre todas as estações para todo o período desde 2009, somente a estação Carapina foi inferior a 5 g/m²/30 dias na maior parte do período monitorado. A taxa de deposição de partículas demonstra sazonalidade nos valores medidos nas estações SENAC e Clube Ítalo com valores máximos entre os meses de setembro a março e mínimos entre os meses de abril a agosto, provavelmente devido a ocorrência de ventos na direção sul a partir dos meses de março e abril. Não há tendência clara de aumento ou diminuição nas taxas de deposição em todas as estações, desde abril de 2009.

6.2. Dióxido de Enxofre (SO₂)

Os valores máximos das médias diárias (curta exposição) de concentração de SO₂ foram mais elevados nas estações Centro-Vitória (80,9 µg/m³), seguido de Laranjeiras (80,0 µg/m³) e mais baixos na estação Centro-Vila Velha (6,5 µg/m³), (Tabela 6.7 e Gráfico 6.16). É importante notar que a diretriz da OMS para curta exposição a SO₂ é 20 µg/m³. Entretanto, a OMS indica também que valores de concentração de SO₂ inferiores a 50 µg/m³ levam a significativa melhora nas condições de saúde da população em geral.

O valor de média anual (longa exposição) foi mais elevado na estação Ibes (7,4 µg/m³), nas demais estações, os valores não foram representativos devido à baixa quantidade de dados válidos para o cálculo da média anual (Tabela 6.7 e Gráfico 6.17). De acordo com a OMS, não é necessário estabelecer uma diretriz para valores de concentração de SO₂ relacionados aos efeitos causados por longa exposição, pois valores suficientemente baixos de concentração média diária garantiriam baixo valor da média anual.

Tabela 6.7 - Valores das máximas diárias e da média anual de concentração de SO₂ em µg/m³.

Valor Médio Anual	Laranjeiras	Jardim Camburi	Enseada do Suá	Centro Vitória	Ibes	Centro Vila Velha	Vila Capixaba
1ª Max. (24h)	80,0	24,4	48,9	80,9	42,7	6,5	11,7
2ª Max. (24h)	74,5	24,4	44,2	80,7	42,7	6,5	11,6
Média Aritmética Anual	8,9*	3,7*	7,8*	14,8*	7,4	2,2*	2,6*

(*) valores não representativos.

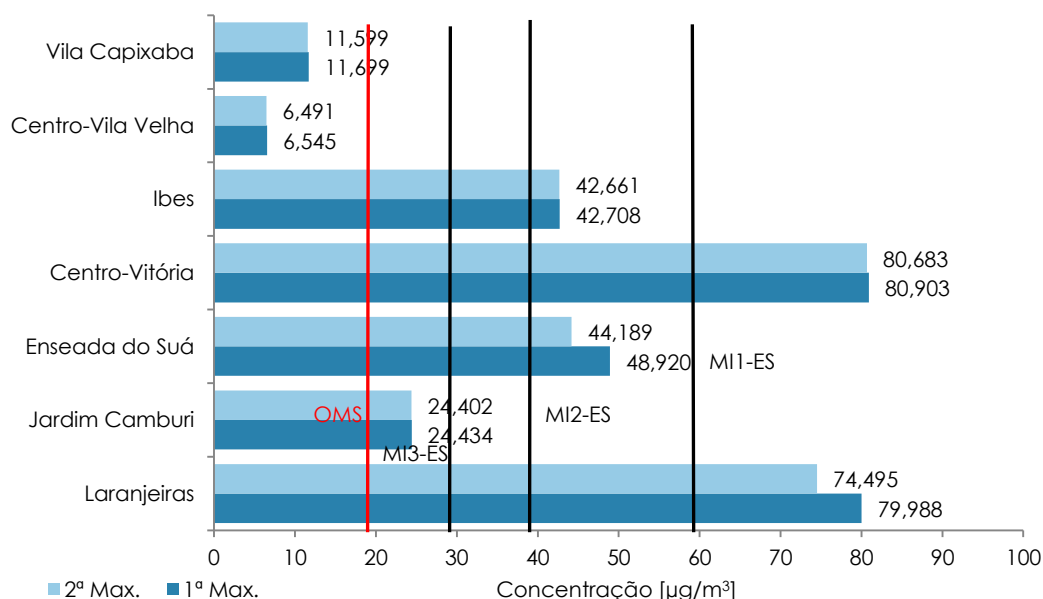
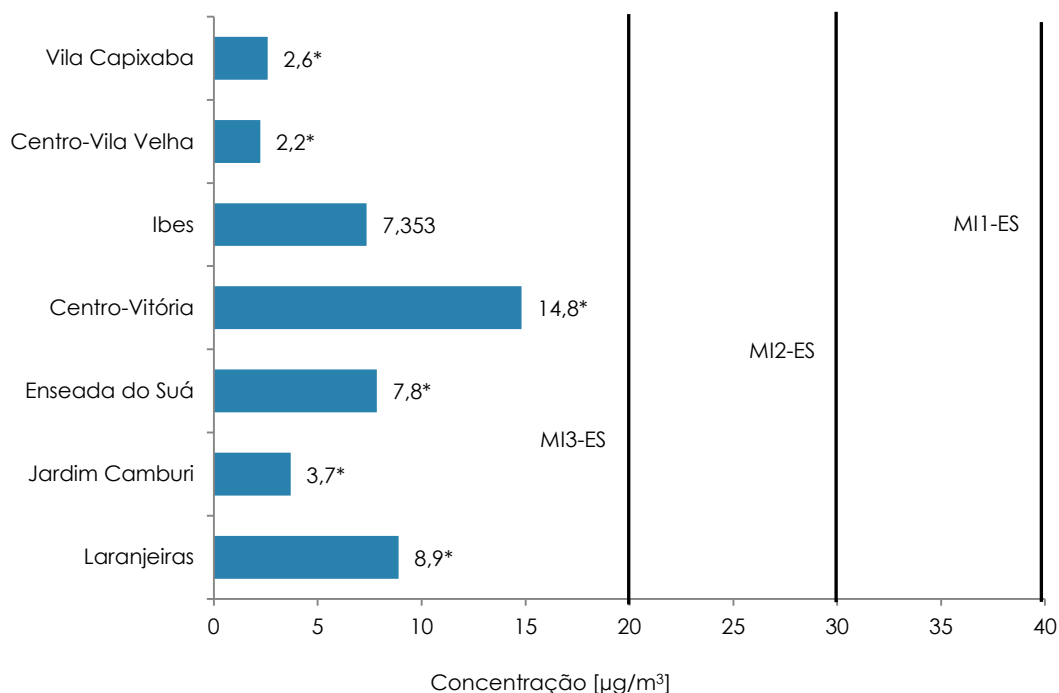


Gráfico 6.16 - Concentração diária máxima de SO₂ nas estações da RAMQAr.



(*) valores não representativos.

Gráfico 6.17 - Concentração média anual de SO₂ nas estações da RAMQAr.

Durante o ano de 2014, não ocorreram ultrapassagens do Padrão Nacional de Qualidade do Ar para o poluente SO₂ para curta e longa exposição (Tabela 6.8). Entretanto, 1.153 médias móveis de 24 horas ultrapassaram valor indicado como diretriz

para curta exposição à SO₂ pela OMS na estação Centro-Vitória, 564 em Laranjeiras, 450 na Enseada do Suá, 174 no Centro-Vila Velha e Ibes e 21 em Jardim Camburi.

As metas intermediárias associadas aos efeitos de curta exposição (média móvel 24 horas) ao SO₂ previstas na legislação estadual são indicadas como MI1 (60 µg/m³), MI2 (40 µg/m³) e MI3 (30 µg/m³). A meta intermediária MI1, que é o atual padrão segundo a referida legislação, foi ultrapassada nas estações Centro-Vitória (44 ultrapassagens) e Laranjeiras (5 ultrapassagens). Para as metas intermediárias de longa exposição (média aritmética anual) os valores não excederam nenhuma das metas MI1 (40 µg/m³), MI2 (30 µg/m³) e MI3 (20 µg/m³).

Tabela 6.8 - Número de médias móveis de 24 horas que ultrapassaram os valores limites de concentração de SO₂.

Referencial	Duração da Exposição	Laranjeiras	Jardim Camburi	Enseada do Suá	Centro-Vitória	Ibes	Centro-Vila Velha	Vila Capixaba
		Número de Ultrapassagens						
PQAr primário (24h)	Curto	0	0	0	0	0	0	0
PQAr secundário (24h)	Curto	0	0	0	0	0	0	0
PQAr Primário (Anual)	Longo	Não	Não	Não	Não	Não	Não	Não
PQAr Secundário (Anual)	Longo	Não	Não	Não	Não	Não	Não	Não
MI1-ES (24h)	Curto	5	0	0	44	0	0	0
MI2-ES (24h)	Curto	66	0	3	154	4	0	0
MI3-ES (24h)	Curto	141	0	70	360	19	0	0
PF-ES (24h) OMS (24H)	Curto	564	21	450	1153	174	0	0
MI1-ES (MAA)	Longo	Não	Não	Não	Não	Não	Não	Não
MI2-ES (MAA)	Longo	Não	Não	Não	Não	Não	Não	Não
MI3-ES (MAA)	Longo	Não	Não	Não	Não	Não	Não	Não

O índice de qualidade do ar (IQA) em 2014 (Gráfico) indica que a qualidade do ar pode ser classificada como boa durante quase todo o período (>95%). A estação Centro-Vitória apresentou o IQA em 4% do tempo como regular e 1% do tempo como inadequado.

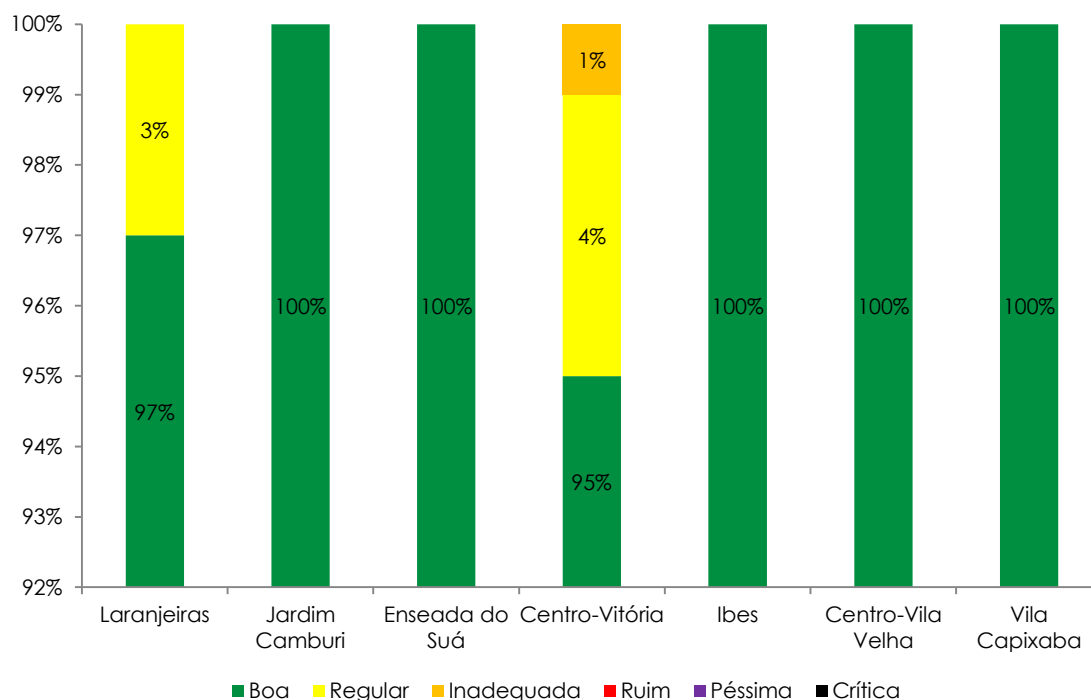


Gráfico 6.18 - Índice de qualidade do ar com referência ao poluente SO₂ nas estações da RAMQAr.

O Gráfico 6.19 apresenta o perfil de concentração de SO₂ em relação à direção do vento por meio da rosa de poluentes. As concentrações indicadas no gráfico representam a distribuição das concentrações em relação à direção do vento medida naquela estação. Evidencia que foram usados somente os dados das estações que apresentavam monitoramento do poluente e do vento para o cálculo da rosa de poluentes. Além disso, somente os dados de vento representativos foram considerados nesta análise.

Pode-se observar a influência da direção do vento nos valores de concentração de SO₂ monitorados: (i) na estação Enseada do Suá, nota-se que as maiores concentrações de SO₂ ocorreram associadas às direções do vento Nordeste, Este-Nordeste, Leste e Este-Sudeste (NE, ENE, L e ESE), indicando possível influência das fontes localizadas na Ponta de Tubarão e das vias de tráfego intenso nos arredores da estação (Ponte Deputado Darcy Castello de Mendonça - 3ª Ponte) sobre as concentrações desse poluente; (ii) na estação Ibes, as maiores concentrações do poluente SO₂ foi proveniente das direções do vento Norte-Nordeste, Nordeste e Este-Nordeste (NNE, NE e ENE) indicando possível influência das fontes localizadas na Ponta de Tubarão; (iii) em Vila Capixaba foi observado que quando as direções eram oriundas da direção leste ocorriam altas concentrações de SO₂, indicando a possível influência de uma fonte siderúrgica localizada a leste da estação.

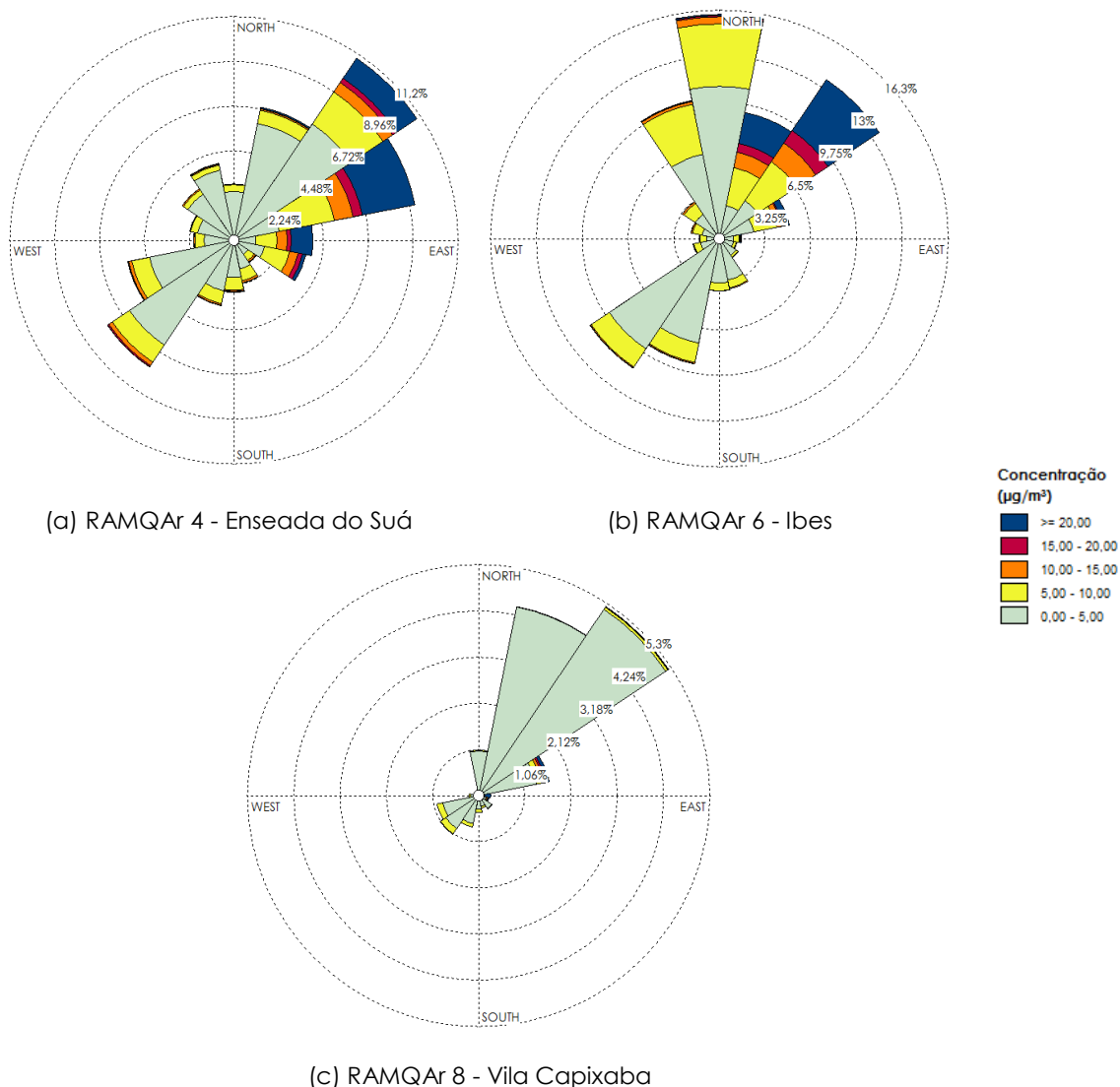


Gráfico 6.19 - Perfil de concentração média horária de SO_2 nas estações da RAMQAr com relação à direção do vento (gráfico da rosa de poluentes).

Nos últimos 10 anos, conforme visto no Gráfico 6.20, o monitoramento do poluente SO_2 na RMGV indica uma tendência de aumento na concentração da média anual, no entanto houve decréscimo da concentração média anual de 2014 em relação a 2013 em quase todas as estações, com exceção das estações Centro-Vitória que possui uma tendência de crescimento e a estação Ibes que manteve os valores das médias anuais aproximadamente estáveis.

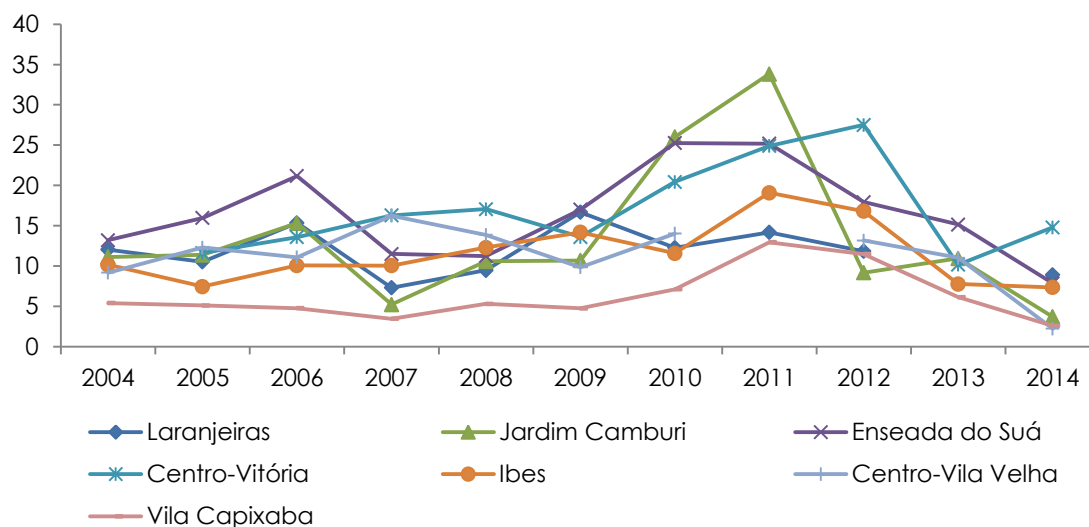


Gráfico 6.20 - Séries temporais das concentrações médias anuais de SO₂ nas estações da RAMQAr.

6.3. Dióxido de Nitrogênio (NO₂)

Os valores máximos das médias horárias (curta exposição) de concentração de NO₂ foram mais elevados nas estações Centro-Vitória (109,2 µg/m³), seguido de Laranjeiras (107,5 µg/m³) e mais baixo em Jardim Camburi (54,2 µg/m³) (Tabela 6.9 e Gráfico 6.21). É importante notar que a diretriz da OMS para curta exposição a NO₂ é 200 µg/m³. Assim, os valores de concentração média horária de NO₂ não ultrapassaram a diretriz da OMS para curta exposição ao NO₂.

O valor de média anual (longa exposição) foi mais elevado na estação Centro-Vitória (26,3 µg/m³) e mais baixo na estação Enseada do Suá (16,9 µg/m³) (Tabela 6.9 e Gráfico 6.22). As estações Laranjeiras, Jardim Camburi e Ibes os dados não foram representativos devido ao baixo número de dados válidos para o cálculo da média anual. É importante notar que a diretriz da OMS para longa exposição a NO₂ é 40 µg/m³. Portanto, os valores de concentração média anual de NO₂ não ultrapassaram a diretriz da OMS para longa exposição ao NO₂.

Tabela 6.9 - Valores das máximas horárias e da média anual de concentração de NO e NO₂ em µg/m³.

Valor Médio Anual	Laranjeiras	Jardim Camburi	Enseada do Suá	Centro Vitória	Ibes	Vila Capixaba
1ª Max. (1h)	107,5	54,2	71,6	109,2	65,6	85,0
2ª Max. (1h)	85,7	52,4	62,9	98,0	65,3	75,5
Média Aritmética Anual	21,3*	12,9*	16,9	26,3	18,2*	20,7

(*) valores não representativos.

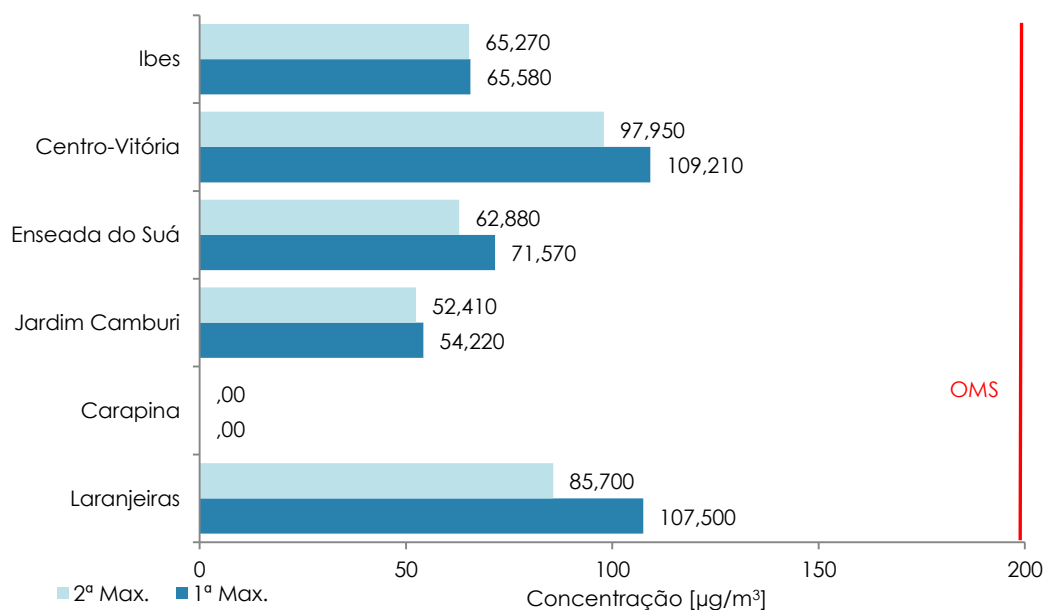
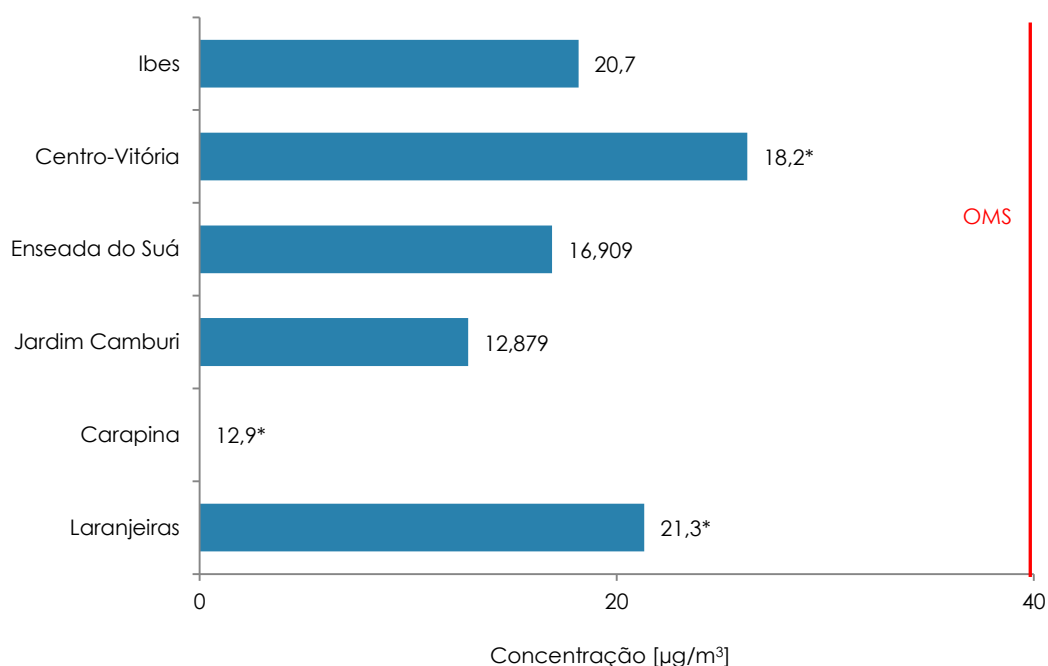


Gráfico 6.21 - Concentrações horária máximas de NO₂ nas estações da RAMQAr.



(*) valores não representativos.

Gráfico 6.22 - Concentrações médias anuais de NO₂ nas estações da RAMQAr.

Durante o ano de 2014, não ocorreram ultrapassagens do Padrão Nacional de Qualidade do Ar e das metas intermediárias previstas na legislação estadual para o poluente NO₂ para curta e longa exposição.

O índice de qualidade do ar (IQA) em 2014 (Gráfico 6.23) indica que a qualidade do ar pode ser classificada como boa durante quase todo período (>95%) nas estações Jardim Camburi e Enseada do Suá. As estações Vila Capixaba, Laranjeiras e Ibes apresentaram a qualidade do ar como regular durante 19%, 16% e 13% do tempo, respectivamente. Já a estação Centro-Vitória apresentou o pior resultado, ou seja, a qualidade do ar foi classificada como regular em 43% do tempo para o poluente NO₂.

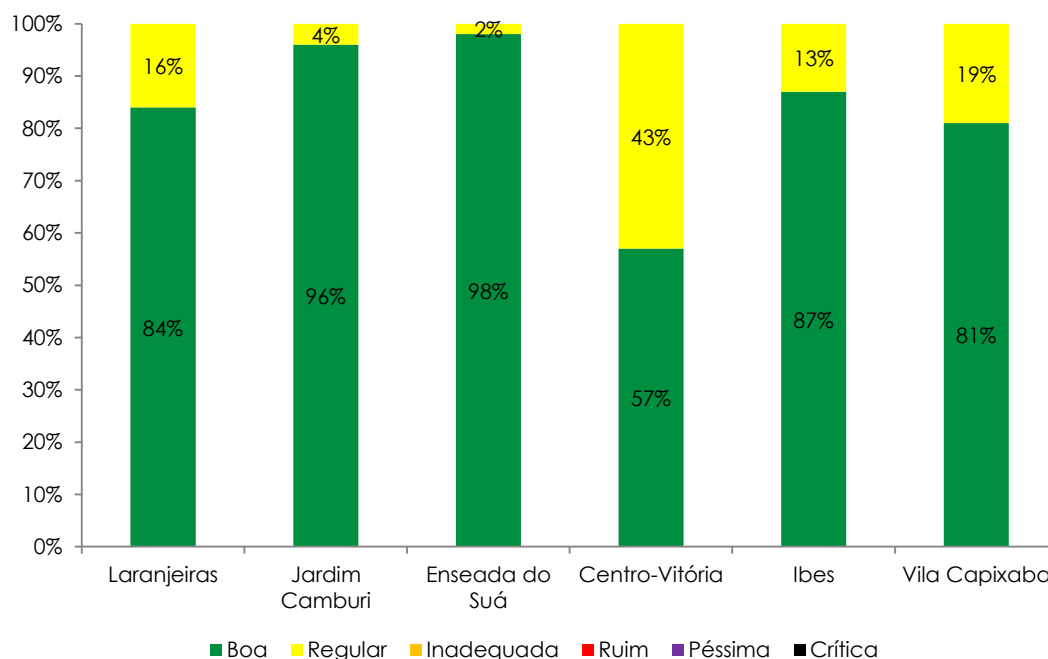


Gráfico 6.23 - Índice de qualidade do ar referente ao poluente NO₂ nas estações da RAMQAr.

A o perfil de concentração de NO₂ em relação à direção do vento por meio da rosa de poluentes. As concentrações indicadas no Gráfico 6.24 representam a distribuição das concentrações em relação à direção do vento medida naquela estação. Evidencia que foram usados somente os dados das estações que apresentavam monitoramento do poluente e do vento para o cálculo da rosa de poluentes. Além disso, somente os dados de vento representativos foram considerados nesta análise.

Pode-se observar a influência da direção do vento nos valores de concentração de NO₂ monitorados: (i) A estação Enseada do Suá apresentou as maiores concentrações de NO₂ com ventos na direção Nordeste e Sudoeste (NE e SO). Esse resultado indica a possível influência das fontes localizadas na Ponta de Tubarão e das vias de tráfego intenso nos arredores da estação (Ponte Deputado Darcy Castello de Mendonça - 3ª ponte). (ii) A estação Ibes, de maneira geral não apresentou direções claramente definidas para as maiores concentrações de NO₂, esse comportamento está provavelmente relacionado à importância das emissões veiculares para as concentrações desse poluente. (iii) Na estação Vila Capixaba, foram registradas

concentrações acima de $45 \mu\text{g}/\text{m}^3$ em todas as direções do vento, no entanto, entre as direções Leste, Sul e Oeste apresentam uma maior predominância nas concentrações acima de $15 \mu\text{g}/\text{m}^3$ evidenciando a influência do tráfego de veículos (BR-262 e BR-101) na concentração deste poluente. Além disso, há de se destacar que a estação está localizada dentro das Centrais de Abastecimento do Espírito Santo – CEASA onde há uma intensa movimentação de veículos.

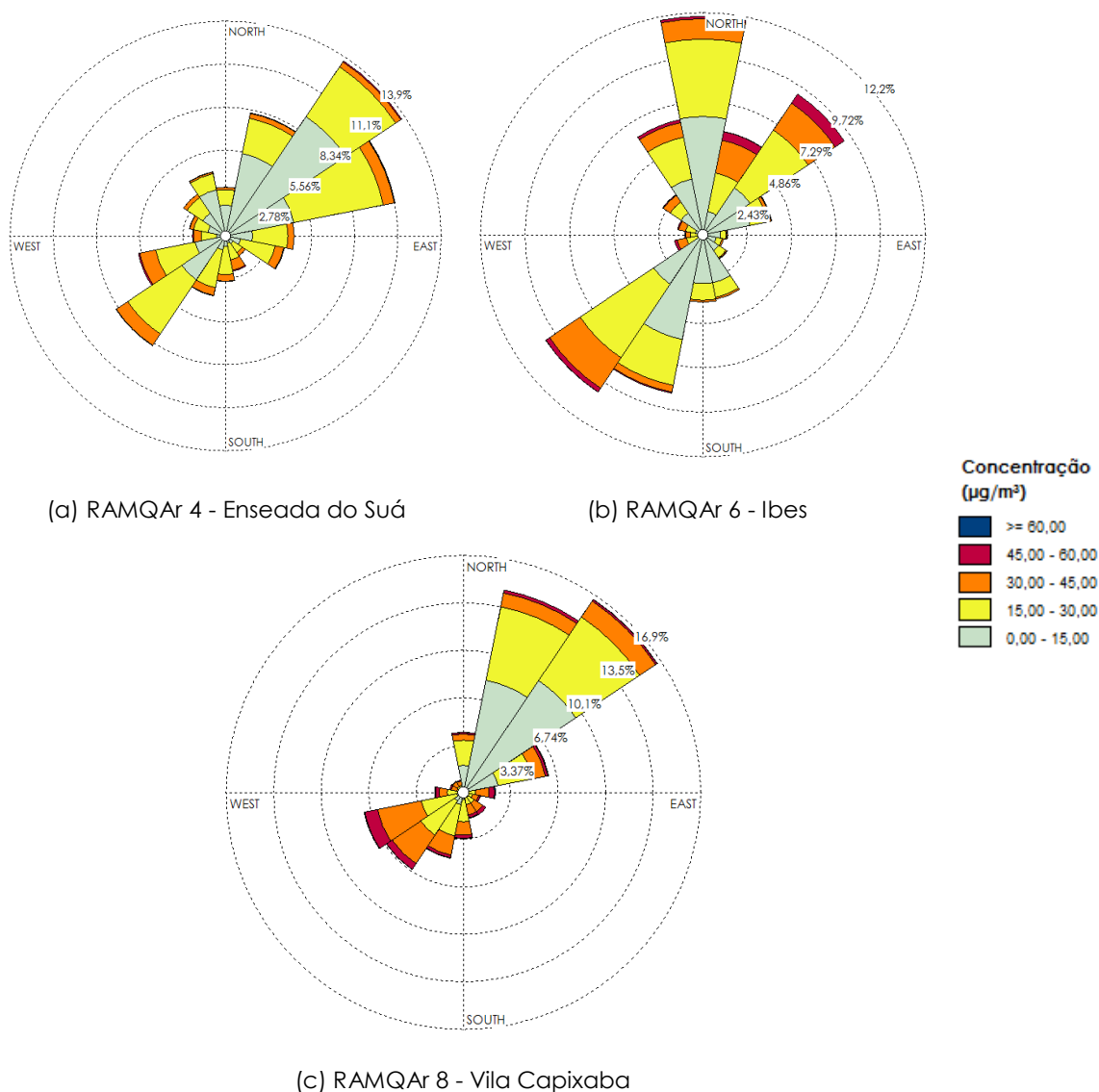


Gráfico 6.24 - Perfil de concentração média horária de NO_2 nas estações da RAMQAr com relação à direção do vento (gráfico de rosa de poluentes).

Nos últimos 10 anos, conforme visto no Gráfico 6.25, o monitoramento do poluente NO_2 na RMGV revelou que houve uma tendência geral de decréscimo da concentração média anual de NO_2 nas estações Enseada do Suá e Vila Capixaba. E uma tendência geral de crescimento nas estações Laranjeiras e Jardim Camburi, no entanto, 2014 em relação a 2013 houve uma acentuada queda na concentração média anual em

Jardim Camburi. As demais estações mantiveram os valores médios anuais aproximadamente estáveis.

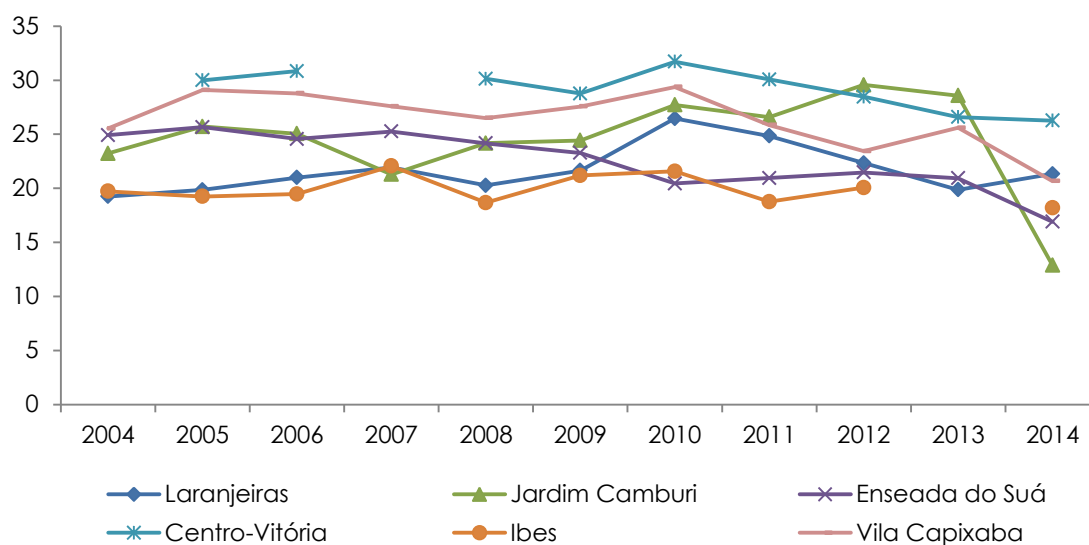


Gráfico 6.25 - Séries temporais das concentrações médias anuais de NO₂ nas estações da RAMQAr.

6.4. Ozônio (O₃)

Os valores máximos das médias de 8h (curta exposição) de concentração de O₃ foram similares nas estações Vila Capixaba e Ibes (entre 83,9 e 83,2 µg/m³) e os valores mais baixos foram nas estações Laranjeiras e Enseada do Suá (76,2 e 74,6 µg/m³) (Tabela 6.10 e Gráfico 6.26). A diretriz da OMS para curta exposição (8h) ao O₃ é 100 µg/m³. Assim, os valores de concentração média 8h de O₃, não ultrapassaram a diretriz da OMS.

Os valores máximos das médias de 1h de concentração do poluente O₃ foram similares nas estações Vila Capixaba, Ibes e Enseada do Suá (113, 106,8 e 103,8 µg/m³). A estação Laranjeiras apresentou o resultado mais baixo para a média de 1h (87,4 µg/m³). O Padrão Nacional de Qualidade do Ar (PQAr) para a média de 1h para o O₃ é de 160 µg/m³, portanto, não houve ultrapassagem em nenhuma estação (Tabela 6.10 e Gráfico 6.27).

Os valores de média anual (longa exposição) também foram mais elevados na estação Vila Capixaba, no entanto, as demais estações os valores não foram representativos devido ao baixo número de dados válidos para o cálculo da média anual. É importante salientar que apenas quatro estações da Rede Automática de Qualidade do Ar (RAMQAr) fazem o monitoramento do poluente O₃.

Tabela 6.10 - Valores das máximas horárias e média de 8h de concentração de O₃ em µg/m³.

Valor Médio Anual	Laranjeiras	Enseada do Suá	Ibes	Vila Capixaba
1ª Max. (1h)	87,4	103,8	106,8	113,0
2ª Max. (1h)	85,3	97,0	99,6	111,3
1ª Max. (8h)	76,2	74,6	83,2	83,9
2ª Max. (8h)	76,1	72,3	83,1	83,3
Média Aritmética Anual	30,2*	32,58*	30,4*	26,1

(*) valores não representativos.

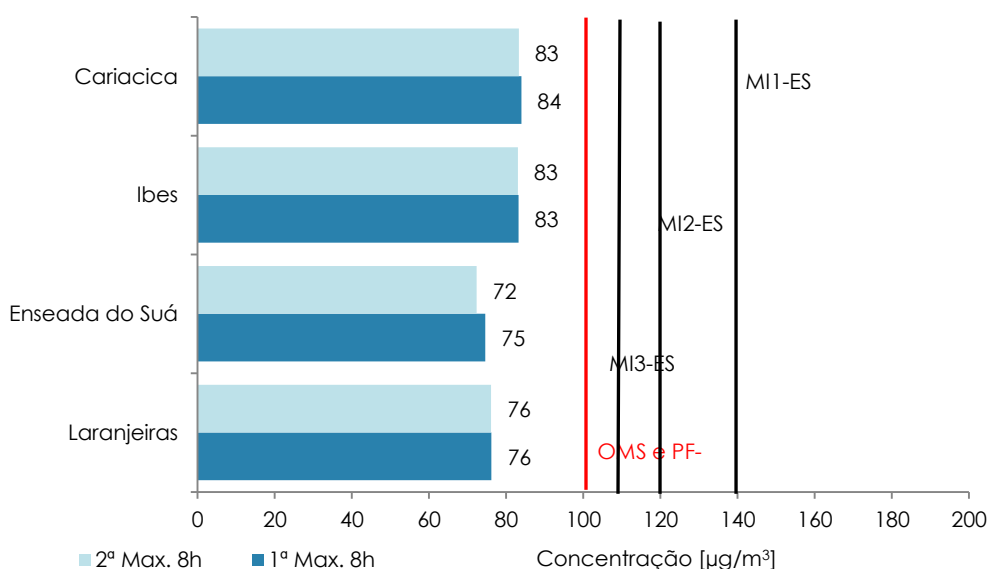


Gráfico 6.26 - Concentração média 8h máxima de O₃ nas estações da RAMQAr.

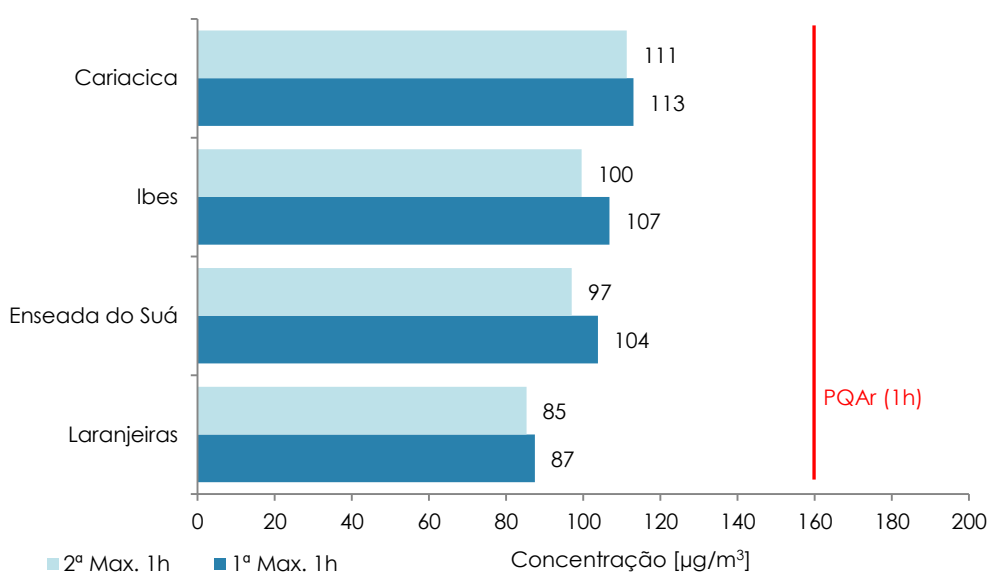


Gráfico 6.27 - Concentração horária máxima de O₃ nas estações da RAMQAr.

Durante o ano de 2014, não ocorreram ultrapassagens do padrão nacional para curta exposição (média horária, 160 $\mu\text{g}/\text{m}^3$) e nem das metas intermediárias estabelecidas pela legislação estadual MI1, MI2 e MI3 (média de 8h, 140, 120 e 110 $\mu\text{g}/\text{m}^3$) de qualidade do ar para o poluente O₃ em nenhuma estação.

O índice de qualidade do ar (IQA) em 2014 (Gráfico 6.28) indica que a qualidade do ar pode ser classificada como boa durante todo o período (>95%) em todas as estações que fazem monitoramento da concentração do O₃.

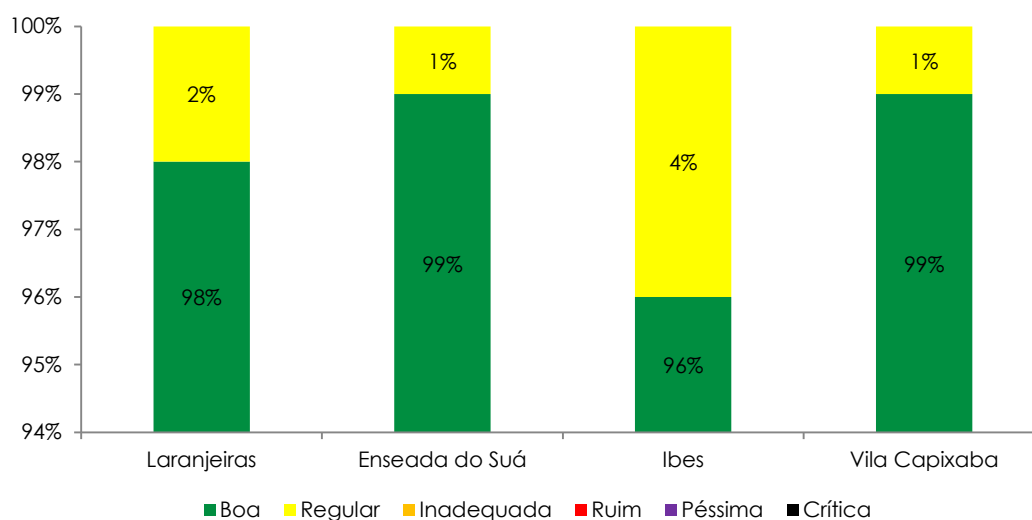


Gráfico 6.28 - Índice de qualidade do ar com referência ao poluente O₃ nas estações da RAMQAr.

O Gráfico 6.29 apresenta o perfil de concentração de O₃ em relação à direção do vento por meio da rosa de poluentes. As concentrações indicadas no gráfico representam a distribuição das concentrações em relação à direção do vento medida naquela estação. Evidencia que foram usados somente os dados das estações que apresentavam monitoramento do poluente e do vento para o cálculo da rosa de poluentes. Além disso, somente os dados de vento representativos foram considerados nesta análise.

Pode-se observar a influência da direção do vento nos valores de concentração de O₃ monitorados: O O₃ é um poluente secundário, não sendo diretamente emitido por nenhuma fonte direta, mas formado na atmosfera a partir de reações químicas de outros poluentes. Observa-se que as maiores concentrações médias de O₃ são encontradas com ventos na direção SSO-S-SE-L em todas as estações, com exceção da estação Enseada que não apresenta em todas essas direções. As estações de Vila Capixaba e Enseada do Suá indicam, também, elevadas concentrações nas direções NNE-NE-ENE.

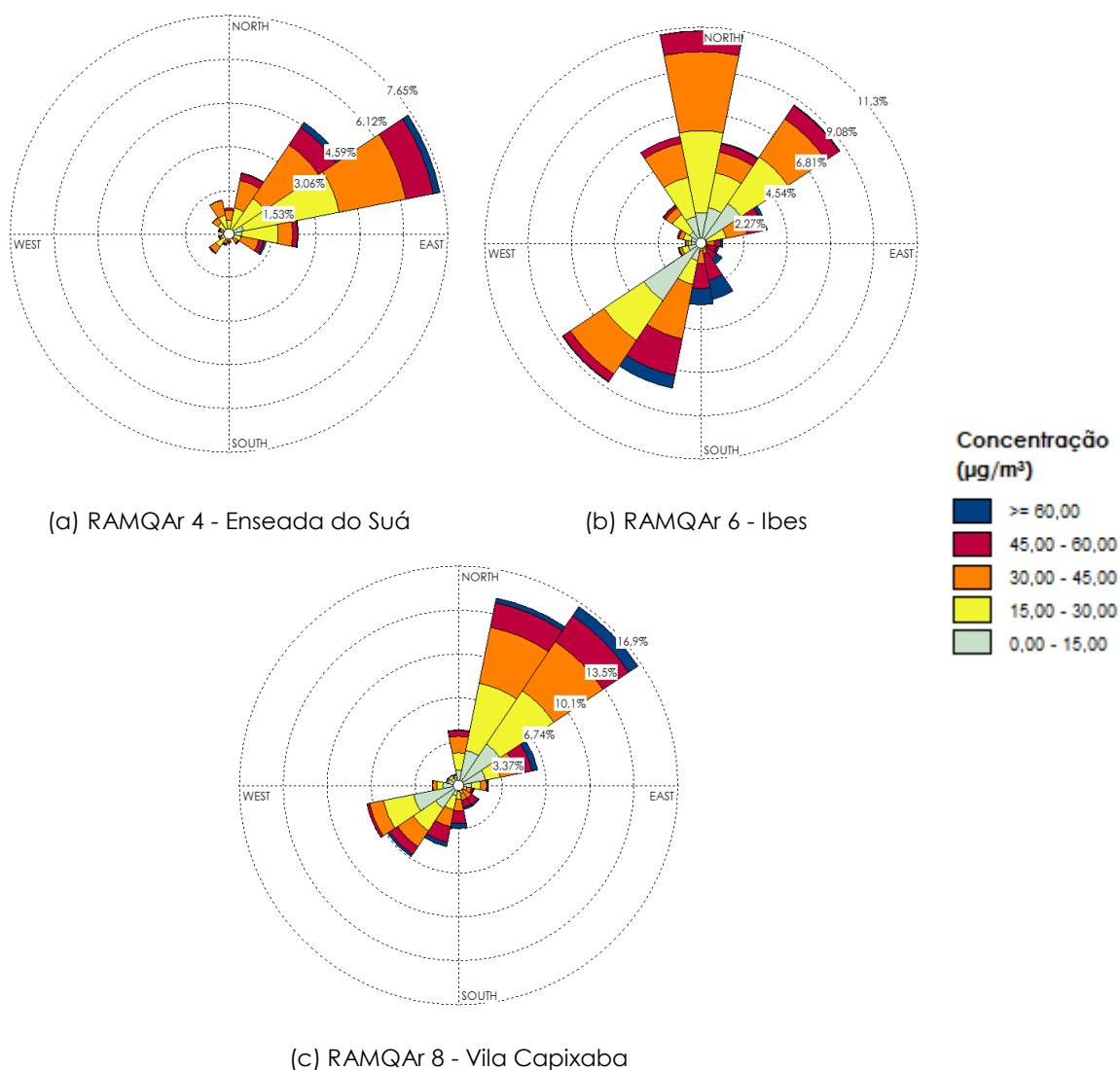


Gráfico 6.29 - Perfil de concentração média horária de O_3 nas estações da RAMQAr com relação à direção do vento (gráfico de rosa de poluentes).

Para ilustrar de maneira mais clara o mecanismo de formação do O_3 , o Gráfico 6.30 apresenta a evolução ao longo de 24 horas da concentração média anual para cada hora do dia dos poluentes nitrogênio (NO), dióxido de nitrogênio (NO_2) e ozônio (O_3), na estação Vila Capixaba para o ano de 2014. Pode se notar no Gráfico 6.30, que após as 05h, a concentração de NO tende a aumentar, devido ao tráfego de veículos, e o ozônio é então consumido para formação de NO_2 . Após as 06h, com o início da radiação solar, o NO_2 é consumido para a formação de O_3 , aumentando os níveis de O_3 e diminuindo os níveis de NO_2 . Esse processo atinge seu auge próximo 12h, com a maior intensidade da radiação solar. Desde o início da tarde, novamente os níveis de NO_2 voltam a crescer, uma vez que a taxa de criação de O_3 começa a cair, devido à redução da radiação solar. À noite, a ausência da radiação solar, faz com que os níveis de O_3 sejam menores.

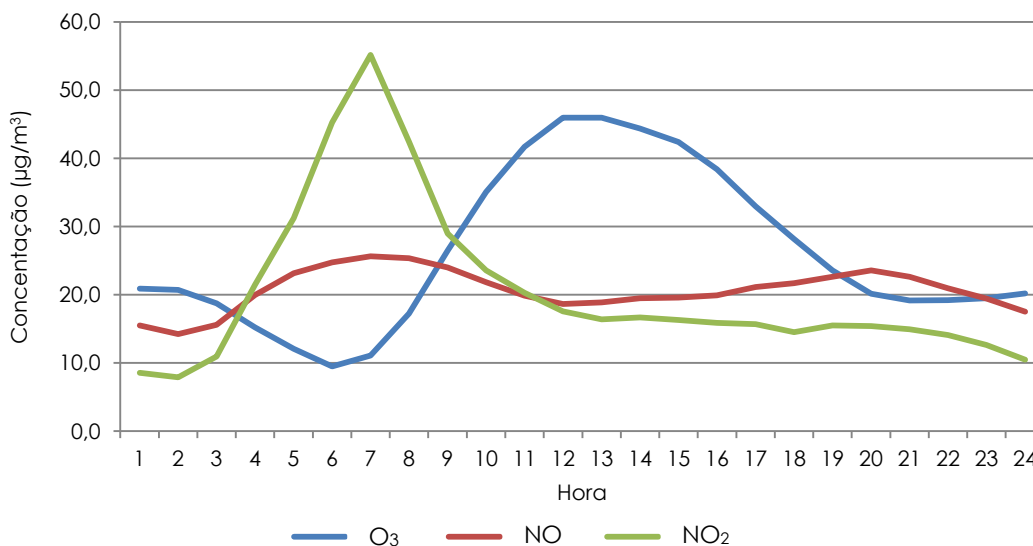


Gráfico 6.30 - Evolução horária dos poluentes NO, NO₂ e O₃ na estação Vila Capixaba.

Nos últimos 10 anos, conforme visto no Gráfico 6.31 o monitoramento do poluente O₃ na RMGV revelou que houve uma tendência de aumento da concentração média anual do O₃ na estação Vila Capixaba e as demais estações mantiveram aproximadamente estáveis as concentrações médias anuais. Em 2014 em relação a 2013 houve uma queda na concentração média anual do O₃ nas estações Enseada do Suá e Vila Capixaba. No entanto, em Laranjeiras houve um aumento da concentração média anual do O₃.

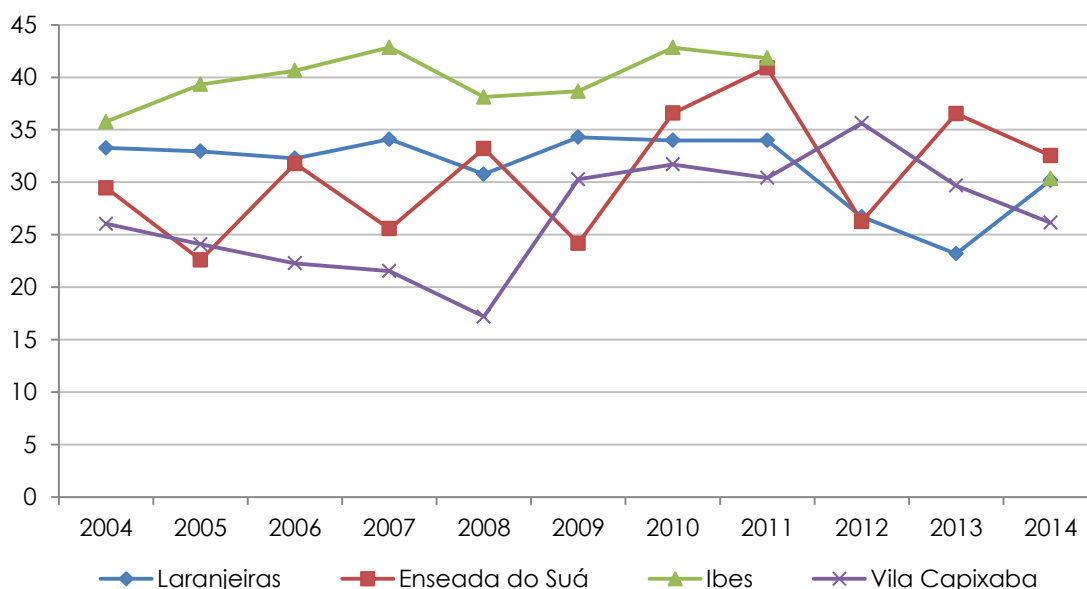


Gráfico 6.31 - Séries temporais das concentrações médias anuais do O₃ nas estações da RAMQAr.

6.5. Monóxido de carbono (CO)

Os valores máximos das médias de 8h de concentração de CO foram mais elevados nas estações Centro-Vitória (2.583,7 $\mu\text{g}/\text{m}^3$), seguido pela estação Enseada do Suá (1.752,0 $\mu\text{g}/\text{m}^3$), enquanto o valor mais baixo foi encontrado na estação Laranjeiras (1.204,5 $\mu\text{g}/\text{m}^3$) (Tabela 6.11 e Gráfico 6.32). A diretriz da OMS para 8h de exposição à CO é 10.000 $\mu\text{g}/\text{m}^3$. Assim, verifica-se que as concentrações médias de 8h de CO nas estações da RAMQAr não ultrapassaram a diretriz estabelecida pela OMS.

Os valores máximos das médias horárias de concentração de CO foram mais elevados nas estações Enseada do Suá (4.375,7 $\mu\text{g}/\text{m}^3$) e Centro-Vitória (4.326,9 $\mu\text{g}/\text{m}^3$) e o valor mais baixo foi obtido na estação Laranjeiras (2.439,2 $\mu\text{g}/\text{m}^3$) (Tabela 6.11 e Gráfico 6.33). A diretriz da OMS para 1h de exposição a CO é 30000 $\mu\text{g}/\text{m}^3$. Portanto, verifica-se que as concentrações médias horárias de CO nas estações da RAMQAr não ultrapassaram a diretriz estabelecida pela OMS.

O valor de média anual (longa exposição) foi mais elevado na estação Centro-Vitória (657,6 $\mu\text{g}/\text{m}^3$) e mais baixo na estação Vila Capixaba (281,3 $\mu\text{g}/\text{m}^3$). É importante notar que a estação Ibes não apresentou um valor representativo devido à baixa quantidade de dados válidos para o cálculo da média anual.

Tabela 6.11 - Valores das máximas horárias e de 8h de concentração de CO em $\mu\text{g}/\text{m}^3$.

Valor Médio Anual	Laranjeiras	Enseada do Suá	Centro Vitória	Ibes	Vila Capixaba
1ª Max. (1h)	2439,2	4375,7	4326,9	2774,9	2482,0
2ª Max. (1h)	1940,8	2975,5	4033,4	2382,1	2151,7
1ª Max. (8h)	1204,5	1752,0	2583,7	1230,1	1282,4
2ª Max. (8h)	1190,8	1749,6	2558,9	1217,7	1151,8
Média Aritmética Anual	352,8	380,5	657,6	335,1*	281,3

(*) valores não representativos.

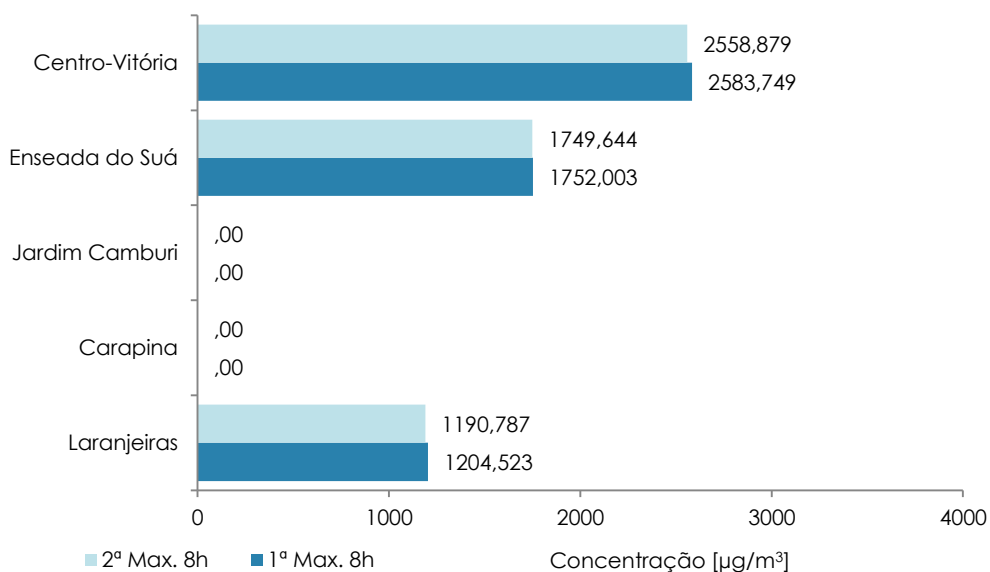


Gráfico 6.32 - Concentração média de 8h máxima de CO nas estações da RAMQAr.

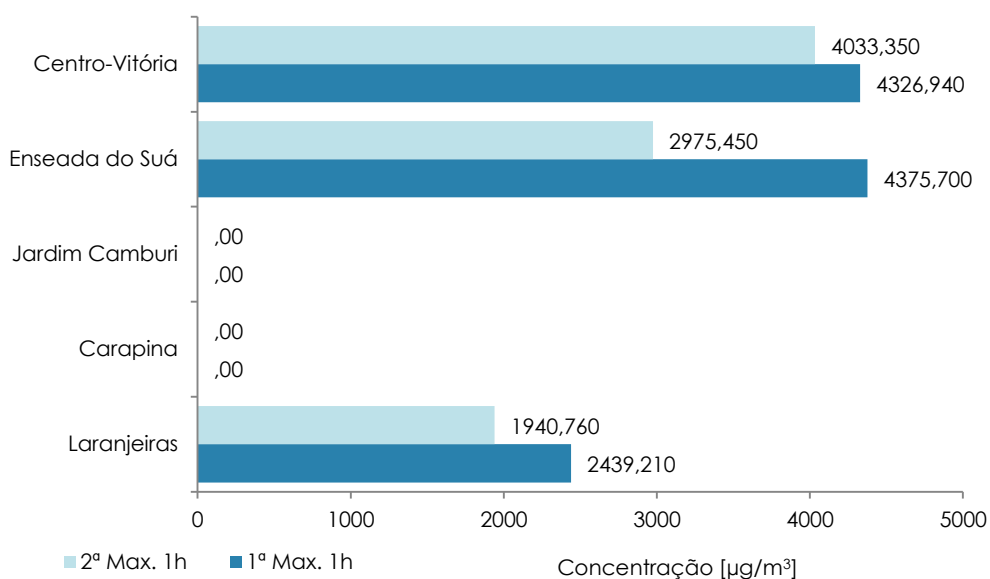


Gráfico 6.33 - Concentração horária máxima de CO nas estações da RAMQAr.

Durante o ano de 2014, não ocorreram ultrapassagens do padrão nacional de qualidade do ar para o poluente CO para médias horárias e de oito horas. Também não houve ultrapassagem dos padrões estaduais para CO.

O índice de qualidade do ar (IQA) em 2014 indica que a qualidade do ar poderia ser classificada como boa durante todo o período (100%), tendo como referência o poluente CO. É importante salientar que apenas as estações Laranjeiras, Enseada do Suá, Centro-Vitória, Ibes e Vila Capixaba efetua o monitoramento deste poluente (Gráfico 6.34).

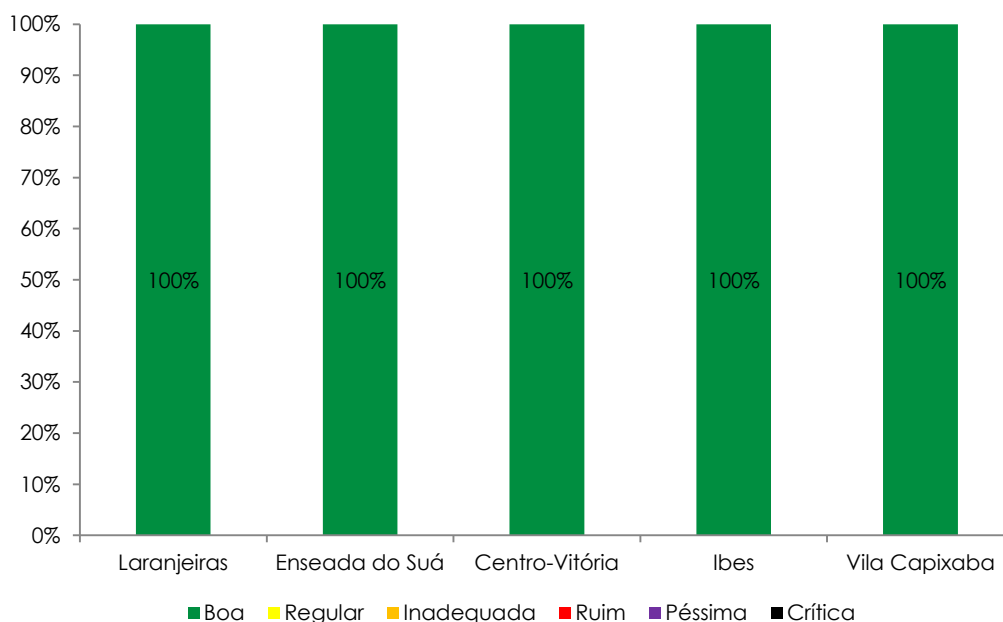


Gráfico 6.34 - Índice de qualidade do ar com referência ao poluente CO nas estações da RAMQAr.

O Gráfico 6.35 apresenta o perfil de concentração de CO em relação à direção do vento por meio da rosa de poluentes. As concentrações indicadas no gráfico representam a distribuição das concentrações em relação à direção do vento medida naquela estação. Evidencia que foram usados somente os dados das estações que apresentavam monitoramento do poluente e do vento para o cálculo da rosa de poluentes. Além disso, somente os dados de vento representativos foram considerados nesta análise.

Pode-se observar a influência da direção do vento nos valores de concentração de CO monitorados: (i) de maneira geral as três estações analisadas da RAMQAr não apresentaram direções claramente definidas para as maiores concentrações de CO, esse comportamento está provavelmente relacionado à forte influência das emissões veiculares para as concentrações desse poluente.

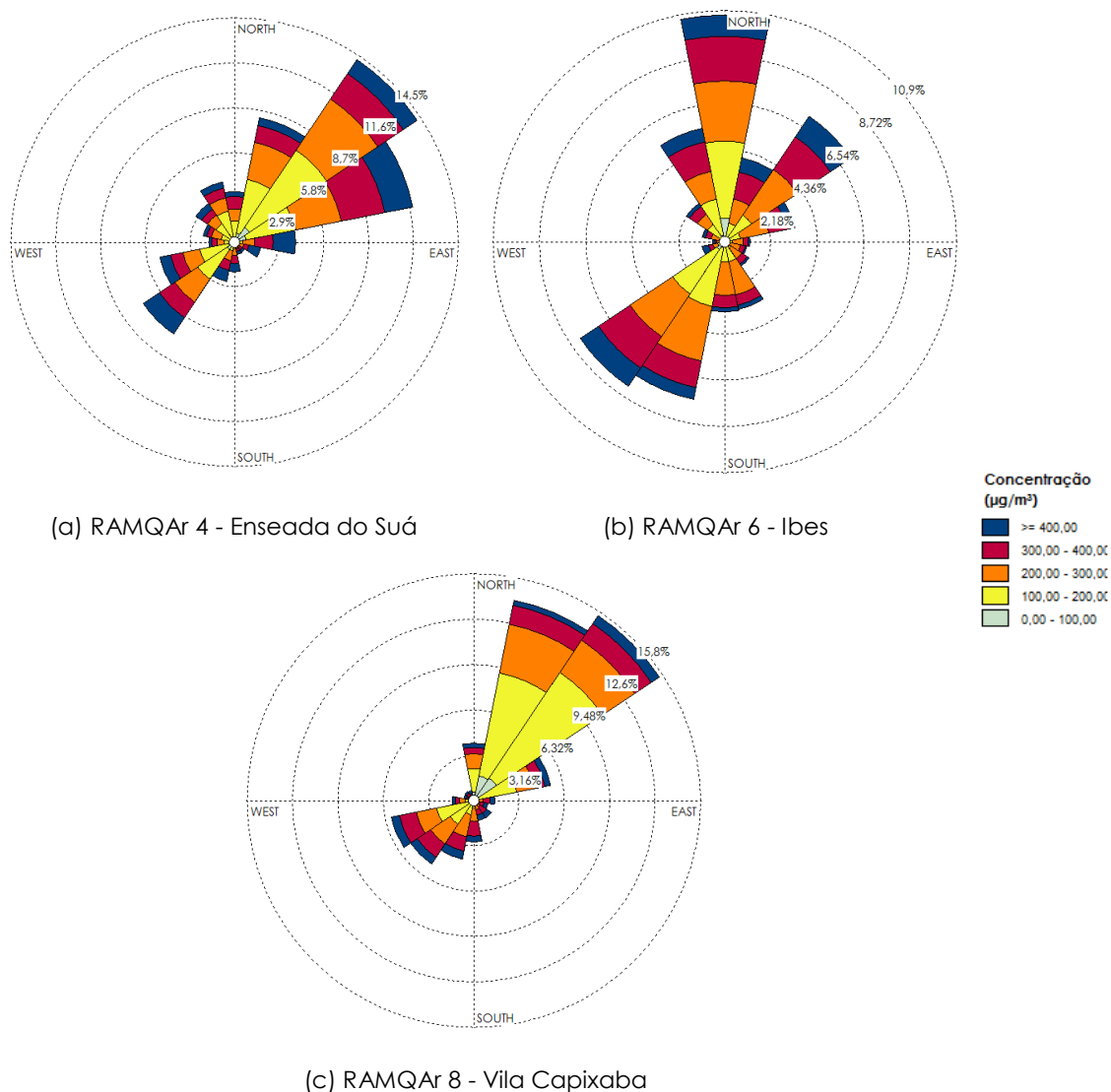


Gráfico 6.35 - Perfil de concentração média horária de CO nas estações da RAMQAr com relação à direção do vento (gráfico da rosa de poluentes).

Nos últimos 10 anos, conforme visto no Gráfico 6.36, o monitoramento do poluente CO na RMGV revelou uma tendência de decréscimo na concentração média anual deste poluente na estação Centro-Vitória. No entanto, as demais estações tendem a manter os valores das médias anuais aproximadamente estáveis.

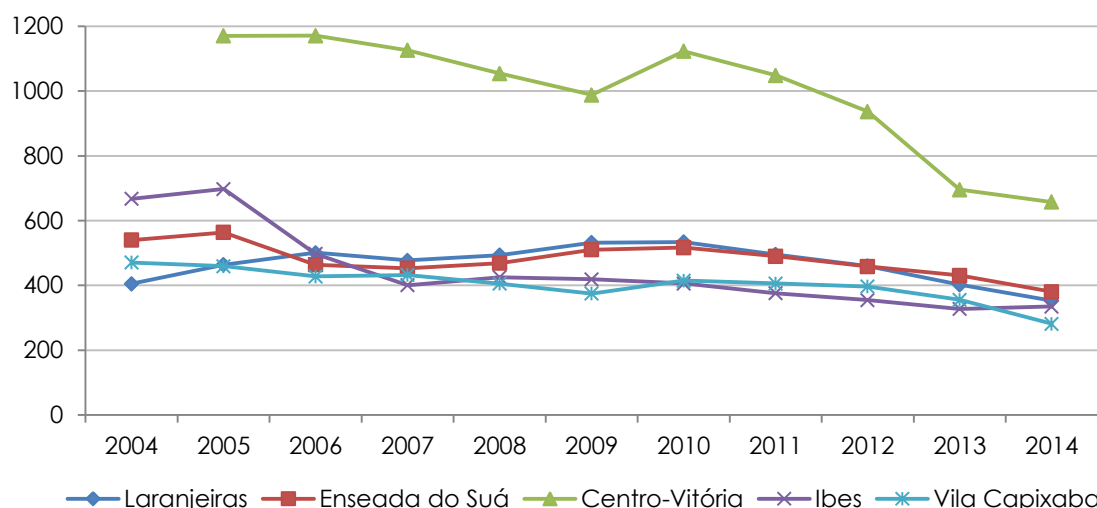


Gráfico 6.36 - Séries temporais das concentrações médias anuais de CO nas estações da RAMQAr.

6.6. Hidrocarbonetos não metano (HCNM)

Não existem diretrizes ou padrões conhecidos de hidrocarbonetos totais, hidrocarbonetos não-metano (HCNM) ou metano usados como valores de referência para proteção à saúde. Os valores encontrados na literatura são estabelecidos para determinados HCNM ou grupos de HCNM para os quais são conhecidos os efeitos à saúde. O metano contribui principalmente para o efeito estufa. O monitoramento de HCNM deve-se, principalmente, ao seu papel como precursor da formação de ozônio, mesmo não havendo um padrão associado a esse poluente.

O valor máximo da média diária e da média aritmética anual de concentração de HCNM foi obtido na estação Centro-Vitória, o qual apresentou 91,04% de dados válidos no ano (Tabela 6.12 e Gráfico 6.37). As estações Enseada do Suá e Ibes não realizaram o monitoramento de HCNM no ano de 2014, pois o analisador estava em manutenção.

Tabela 6.12 - Valores das máximas diárias e da média anual de concentração de HCNM (ppm).

Valor Médio Anual	Enseada do Suá	Centro Vitória	Ibes
1ª Max. (24h)	0,0	0,6	0,0
2ª Max. (24h)	-	0,5	-
Média Aritmética Anual	-	0,3	-

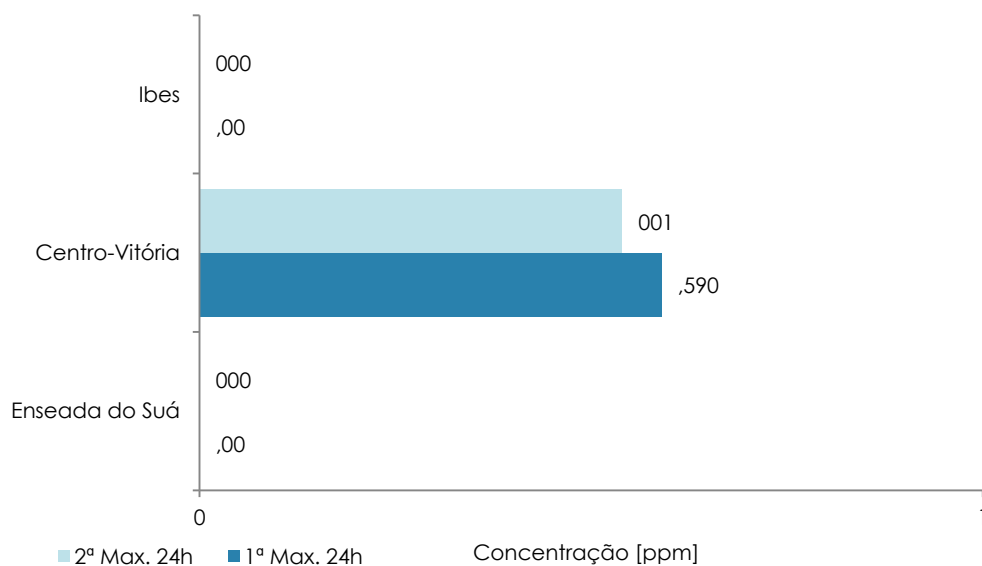


Gráfico 6.37 - Concentração diária máxima de HCNM nas estações da RAMQAr.

Não foi possível calcular a rosa de poluentes para o HCNM, pois as estações que possuem monitoramento do vento, não apresentaram dados de monitoramento do poluente naquele ano.

Nos últimos 10 anos, conforme visto no Gráfico 6.38, o monitoramento do poluente HCNM na RMGV revelou que as estações Centro-Vitória e Enseada do Suá apresentam uma tendência de decréscimo na concentração das médias anuais. A estação Ibes não houve o monitoramento da concentração do HCNM entre os anos de 2012 a 2014. É importante salientar que entre os anos de 2013 e 2014 houve um acentuado declive na concentração do HCNM na estação Centro-Vitória.

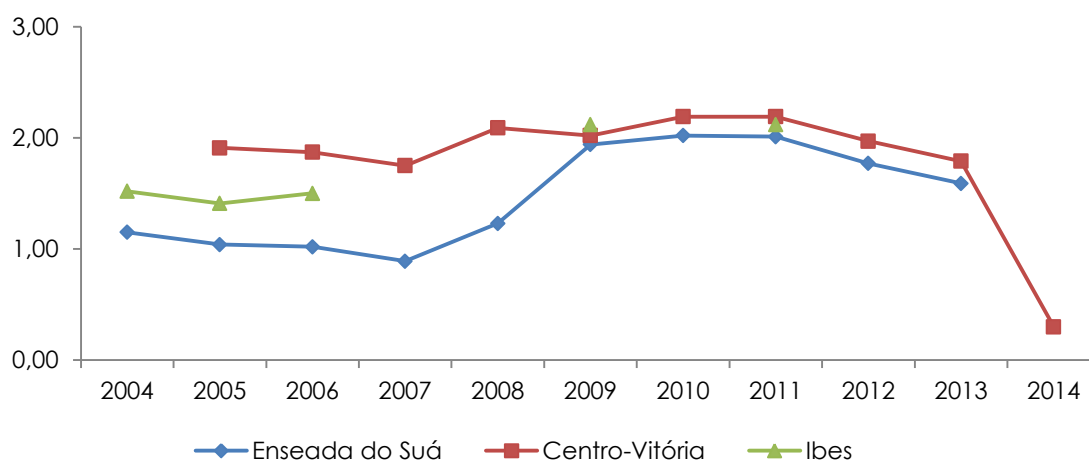


Gráfico 6.38 - Séries temporais das concentrações médias anuais de HCNM nas estações da RAMQAr.

7. Considerações Finais

Este capítulo inclui os comentários e considerações finais sobre os resultados do monitoramento da qualidade do ar na RMGV em 2014, incluindo a operação da Rede Automática de Monitoramento da Qualidade do Ar (RAMQAr) e a representatividade dos dados, ultrapassagem das metas, padrões e diretrizes, tendência da média anual da concentração dos poluentes e fontes de emissão de poluentes.

O número de dados válidos/ disponíveis de qualidade do ar e meteorológicos é muito importante para garantir a representatividade das médias calculadas, principalmente, no que tange a comparação das concentrações médias calculadas com os padrões, metas e diretrizes da qualidade do ar. Portanto, é necessário extrema prudência para assegurar a operação e manutenção preventiva dos equipamentos de monitoramento nas estações da RAMQAr e da Rede Manual de Monitoramento de Partículas Sedimentadas.

É importante ressaltar a necessidade de se realizar um estudo para a revisão do número e posicionamento das estações da RAMQAr, atualizando a localização das estações com base nas mudanças das emissões e da mancha urbana desde sua implantação em 2001.

O monitoramento do poluente $PM_{2.5}$ foi incluído em duas estações que fazem parte da RAMQAr, nos meses de junho e julho de 2014, a fim de permitir a verificação da qualidade do ar com relação a legislação vigente e às diretrizes da OMS. No entanto, como o monitoramento iniciou-se na metade do ano a quantidade de dados não foram suficientes para que os cálculos da média de longa exposição fossem representativos.

Em 2014, não houve ultrapassagem do padrão CONAMA nº 03/1990 em nenhuma das estações para nenhum poluente, exceto para o poluente PTS na estação Enseada do Suá que houve ultrapassagem do PQAr secundário (12 ultrapassagens) para curta exposição (médias móveis de 24 horas).

Para a meta intermediária MII (atual valor legal de referência), houve ultrapassagem nas estações Laranjeiras para os poluentes PM_{10} (8 ultrapassagens) e SO_2 (5 ultrapassagens) e Centro-Vitória para o poluente SO_2 ocorreram 44 ultrapassagens da MII para curta exposição (média móvel de 24h). Também houve ultrapassagem da MII para partículas sedimentadas ($14 \text{ g/m}^2/30$ dias) nas estações Laranjeiras no mês de novembro ($14,9 \text{ g/m}^2/30$ dias) e Enseada do Suá nos meses de agosto, setembro,

novembro e dezembro (17,0 15,3, 15,2 e 14,2 g/m²/30 dias). É importante salientar que a taxa de deposição foi superior ou próxima a 5 g/m²/30 dias em quase todos os meses e estações, exceto na estação Carapina em janeiro (1,5 g/m²/30 dias) e na estação Hotel Senac nos meses de março e maio (2,9 e 2,2 g/m²/30 dias).

Apesar da meta intermediária I (MI1) ser o atual valor legal de referência, é importante acompanhar o atendimento das diretrizes OMS, pois estas constituem-se nos padrões finais que são objetivados pela legislação estadual. Dessa forma, é importante conhecer o quanto distante do atendimento destas diretrizes está a RMGV e quais são os principais poluentes e estações de atenção prioritária.

Houve ultrapassagem da diretriz OMS e PF para efeitos agudos à saúde devido a curta exposição ao PM₁₀ em 06 estações: Laranjeiras (1.124 médias móveis de 24 horas), Vila Capixaba (465 médias móveis de 24 horas), Enseada do Suá (111 médias móveis de 24 horas), Ibes (91 médias móveis de 24 horas), Centro-Vitória (32 médias móveis de 24 horas) e Jardim Camburi (13 médias móveis de 24 horas). Como dito anteriormente, houve ultrapassagem do padrão nacional de curta exposição para o poluente PTS na Enseada do Suá, logo, também foram ultrapassados os valores do PF para curta exposição (12 médias móveis de 24 horas). Para o poluente SO₂, houve ultrapassagem da diretriz OMS e do padrão estadual PF (curta exposição) em quase todas as estações, com exceção das estações Centro-Vila Velha e Vila Capixaba, sendo as estações que ultrapassaram: Centro-Vitória (1.153 médias móveis de 24 horas), Laranjeiras (564 médias móveis de 24 horas), Enseada do Suá (450 médias móveis de 24 horas), Ibes (174 médias móveis de 24 horas) e Jardim Camburi (21 médias móveis de 24 horas).

Portanto, é necessário que se haja um controle maior nas fontes de emissões para os poluentes PTS na Enseada do Suá e para os poluentes PM₁₀ e SO₂ em toda a RMGV a fim de atender os valores referenciais atuais e, principalmente, como preparação para as metas e padrões posteriores que são mais restritivos e deverão ser atingidos.

Nos últimos 10 anos, a concentração média anual de PM₁₀ teve pequena variação nas estações Centro-Vila Velha, Ibes, Enseada do Suá, indicativo de tendência de decréscimo nas estações Centro-Vitória, Jardim Camburi e Carapina e de crescimento nas estações Vila Capixaba e Laranjeiras. Ainda nos últimos 10 anos, houve um indicativo de tendência de decréscimo na concentração média anual de PTS nas estações Vila Capixaba e Laranjeiras e uma tendência de estabilidade no valor da concentração nas demais estações.

O monitoramento do poluente SO₂ na RMGV indica que houve um indicativo de aumento da concentração média anual em todas as estações até o ano de 2011.

Entretanto, foi observada uma queda dos valores médios anuais a partir de 2012 em quase todas as estações, com exceção da estação Centro-Vitória.

O monitoramento do poluente NO₂ na RMGV revelou que houve uma tendência geral de decréscimo da concentração média anual de NO₂ nas estações Enseada do Suá e Vila Capixaba. E uma tendência geral de crescimento nas estações Laranjeiras e Jardim Camburi, no entanto, 2014 em relação a 2013 houve uma acentuada queda na concentração média anual em Jardim Camburi. As demais estações mantiveram os valores médios anuais aproximadamente estáveis.

Desde 2009, as partículas sedimentadas ultrapassaram a meta MI1 onze vezes na estação Enseada do Suá, dez vezes na estação Laranjeiras, sendo superior a 10 g/m²/30 dias nessas estações durante quase todo o período investigado. Nas estações Vila Capixaba a meta MI1 foi ultrapassada quatro vezes, duas vezes na estação Hotel Senac e uma vez nas estações Clube Ítalo, Centro-Vitória, Centro-Vila Velha e Ibes. Entre todas as estações para todo o período desde 2009, somente a estação Carapina foi inferior a 5 g/m²/30 dias na maior parte dos meses monitorados.

As concentrações médias anuais de PM₁₀ e PTS cresceram na estação Vila Capixaba, nos últimos dez anos, no entanto, entre 2013 e 2014 houve uma acentuada queda na concentração média anual do poluente PTS. Na estação Enseada do Suá houve a ultrapassagem das metas e padrões para curta exposição do poluente PTS em 2014, no entanto, houve uma queda na concentração média anual (longa exposição) entre 2013 e 2014. Além disso, a concentração média anual do PTS nos últimos dez anos vem se mantendo em equilíbrio na estação Enseada do Suá. Embora tenha havido uma leve tendência de decréscimo de SO₂ em quase todas as estações, com exceção da estação Centro-Vitória, deve se considerar que a meta intermediária I (MI1), e as futuras metas, foram ultrapassadas em 2014.

As partículas sedimentadas também devem ser cuidadosamente monitoradas, pois a análise de tendência da taxa de deposição desde 2009 mostrou que, mesmo tendo valor elevado, a meta atual foi ultrapassada nesse período. Além disso, é possível observar que não há tendência de queda em nenhum dos pontos de monitoramento.

Muito se discute sobre o material particulado na RMGV, entretanto, os resultados deste relatório mostram dados relevantes também quanto SO₂, com concentrações significativas em determinadas direções do vento em algumas estações. Esse deve ser um fator de estudo e planejamento para o futuro próximo, principalmente com vistas a atender as metas intermediárias e padrões finais previstos na legislação estadual.

8. Referências

American Society For Testing Materials. ASTM D-1739: Standard Test Method for Collection and Measurement of Dustfall (Settleable Particulate Matter), 1998 (re-aprovada em 2004).

Cavalcanti, I. F. A.; Ferreira, N. J. ; Dias, M. A. F.; Justi, M. G. A. Tempo e Clima no Brasil. São Paulo, Oficina de Textos, 2009.

Centro de Previsão do Tempo e Estudos Climáticos do Instituto Nacional de Pesquisas Espaciais (CPTEC - INPE). Síntese Sinótica de Outubro de 2014. Disponível em: <http://www.cptec.inpe.br/~rupload/arquivo/sintese_mensal_1014.pdf>. Acesso em: 13 set. 2017.

Companhia de Tecnologia de Saneamento Ambiental (CETESB). Qualidade do ar no Estado de São Paulo, São Paulo, 2013.

Companhia Espírito Santense de Saneamento (CESAN). Disponível em: <<https://www.cesan.com.br/noticias/cesan-debate-sobre-meio-ambiente-em-comissao-na-assembleia/>>. Acesso em: 22 out. 2017.

Conselho Estadual de Proteção Ambiental. Deliberação Normativa Nº 01 de 26 de maio de 1981. Minas Gerais, Brasil, 1981.

Conti, M.M., Menegussi, L.R., Reis, N.C., Santos, J.M., Silva, F.J., Scandian, C. Chemical and morphological characterization of dustfall (dry deposition) in Vitória-ES, Brazil. European Aerosol Conference, Karlsruhe, 2009.

Department of Environmental Conservation of New York (DECNY). Disponível em: <<http://www.dec.ny.gov/regs/2492.html>>. New York, 2009.

Department of Environmental Quality Montana (DEQM). Disponível em: <<http://www.deq.mt.gov/dir/legal/Chapters/Ch08-toc.mcp>>. Montana, USA, 2007.

Farfel, M. R., Orlova, A.O., Lees, P.S.J., Rohde C., Ashley, P.J., Chilsom, J.J., A study of urban housing demolition as a source of lead in ambient dust on sidewalks, streets, and alleys. Environmental Research 99, 204-213, 2005.

Governo do Estado do Espírito Santo. Decreto nº 3463-R, de 16 de dezembro de 2013. Estabelece novos padrões de qualidade do ar e dá providências correlatas, Estado do Espírito Santo, 2013.

Hu, T. et al. Morphology and elemental composition of dustfall particles inside emperor Qin's terra-cotta warriors and horses museum. China Partic. Vol. 4, Nº 6, 346-351, 2006.

Instituto Estadual de Meio Ambiente e Recursos Hídricos (IEMA). Relatório da qualidade do ar na região da grande vitória, Vitória, ES, 2007.

Instituto Estadual de Meio Ambiente e Recursos Hídricos (IEMA). Relatório Anual de Qualidade do Ar RMGV – Ano 2013. Vitória, ES, 2013 (Elaborado pela UFES).

Instituto Brasileiro de Geografia e Estatística (IBGE). Disponível em: <<https://www.ibge.gov.br/>>. Acesso em: 02 out. 2017.

Instituto Estadual do Ambiente (INEA). Relatório de qualidade do ar do Estado do Rio de Janeiro ano base 2010 e 2011. Rio de Janeiro, 2013.

Instituto Jones dos Santos Neves (IJSN). Atlas de Desenvolvimento Humano, Região Metropolitana da Grande Vitória, ES, 2010.

Instituto Jones dos Santos Neves (IJSN). Mapeamento das Áreas Periurbanas do Espírito Santo. Vitória, ES, 2011.

Instituto Jones dos Santos Neves (IJSN). Perfil Regional, Região Metropolitana da Grande Vitória, Vitória, ES, 2008.

Instituto Jones dos Santos Neves (IJSN). Produto Interno Bruto (PIB) dos Municípios do Espírito Santo - 2013. Vitória, ES, 2015.

Instituto Nacional de Meteorologia (INMET). Dados Climatológicos. Disponível em: <<http://www.inmet.gov.br/portal/index.php?r=clima/normaisClimatologicas>>. Acesso em: set. 2017.

Lei Complementar Estadual nº 58, de 21 de fevereiro de 1995. Dispõe sobre a criação da Região Metropolitana da Grande Vitória, Vitória – ES, 1995.

Lei nº 948/98 - PMM Dispõe sobre a Lei de Proteção, Controle, Conservação e Melhoria do Meio Ambiente do Município de Macapá, Macapá – AP, 1998.

Mendonça, F., Danni-Oliveria, I. M. Climatologia: noções básicas e climas do Brasil. São Paulo. Editora Oficina de Texto. 206p. 2007.

Minuzzi, R.B.; Sediyaama, G. C.; Costa, J. M. N.; Vianello, R. L. Influência da La Niña na estação chuvosa da Região Sudeste, Revista Brasileira de Meteorologia, São José dos Campos, v.22, n. 3 p.345-353, 2007.

Morengo, J.A. et al. A seca e a crise hídrica de 2014-2015 em São Paulo. São Paulo, 2015. Disponível em: <<file:///D:/downloads/110101-197690-1-SM.pdf>> . Acesso em: 12 set. 2017.

Organização Mundial da Saúde (OMS). OMS divulga estimativas nacionais sobre exposição à poluição do ar e impacto a saúde. Disponível em:<http://www.paho.org/bra/index.php?option=com_content&view=article&id=5249:oms-divulga-estimativas-nacionais-sobre-exposicao-a-poluicao-do-ar-e-impacto-na-saude&Itemid=839>. Acesso em: 02 out. 2017.

Resolução CONAMA nº 3 de 28 de junho de 1990. Dispõe sobre os padrões de qualidade do ar. Brasília, 1990.

Resolução CONAMA nº 5, de 15 de junho de 1989. Dispõe sobre o Programa Nacional de Controle da Poluição do Ar (PRONAR). Brasília, 1989.

Sant'anna Neto, J. L. Decálogo da climatologia do Sudeste Brasileiro. Rev. Bras. Climat., v. 1, n. 1, p. 41-60, 2005.

Seinfeld J. H.; Pandis S. N.; Atmospheric Chemistry and Physics: From air pollution to climate change. 2ª Ed. John Wiley and Sons Inc. 2006.

Vallack H. W., Shillito, D. E. Suggested guidelines for deposited ambient dust. Atmospheric Environment, vol. 32(16), p. 2737-2744, 1998.

Varejão-Silva, M. A. Meteorologia e climatologia. 2. ed. Recife, 449 p., 2006.

Vianello, R. L., Alves, A. R. Meteorologia Básica e Aplicações. Universidade Federal de Viçosa, Minas Gerais, 1991.

World Health Organization (WHO). Air quality guidelines global update 2005. Geneva, 2006.

World Meteorological Organization (WMO). Technical Regulations, Vol. I. WMO Publication N° 49. Geneva, Switzerland, 1984.

SEAMA - SECRETARIA DE ESTADO DE MEIO AMBIENTE E RECURSOS HÍDRICOS

Rodovia BR 262, Km 0, s/nº, Jardim América - CEP: 29140-130
Cariacica, Espírito Santo
Tel.: (27) 3636-2600
E-mail: gabinete@seama.es.gov.br
www.seama.es.gov.br

IEMA - INSTITUTO ESTADUAL DE MEIO AMBIENTE E RECURSOS HÍDRICOS

Rodovia BR 262, Km 0, s/nº, Jardim América - CEP: 29140-130
Cariacica, Espírito Santo
Tel.: (27) 3636-2500
E-mail: atendimento@iema.es.gov.br
www.iema.es.gov.br

**CQAI - COORDENAÇÃO DE QUALIDADE DO AR, ÁREAS CONTAMINADAS E
INFORMAÇÕES AMBIENTAIS**

Local: Instituto Estadual de Meio Ambiente e Recursos Hídricos - IEMA/Prédio 2
Tel.: (27) 3636-2615/3636-2590/3636-2546

